

ВІСНИК
ЛЬВІВСЬКОГО
ДЕРЖАВНОГО УНІВЕРСИТЕТУ
ім. ІВ. ФРАНКА

СЕРІЯ МЕХАНІКО-МАТЕМАТИЧНА
ВИПУСК 11

ТЕОРЕТИЧНА
ТА ПРИКЛАДНА
МАТЕМАТИКА

1976

МІНІСТЕРСТВО ВИЩОЇ І СЕРЕДНЬОЇ
СПЕЦІАЛЬНОЇ ОСВІТИ УРСР

ВІСНИК
ЛЬВІВСЬКОГО ОРДЕНА ЛЕНІНА
ДЕРЖАВНОГО УНІВЕРСИТЕТУ
ім. ІВАНА ФРАНКА

СЕРІЯ МЕХАНІКО-МАТЕМАТИЧНА
ВИПУСК II

ТЕОРЕТИЧНА
ТА ПРИКЛАДНА
МАТЕМАТИКА

ВИДАВНИЧЕ ОБ'ЄДНАННЯ «ВИЩА ШКОЛА»
ВИДАВНИЦТВО ПРИ ЛЬВІВСЬКОМУ
ДЕРЖАВНОМУ УНІВЕРСИТЕТІ
Львів — 1976

518
—
л89

УДК 513

У збірнику вміщені статті з теорії функцій, теорії ймовірностей, диференціальних та інтегральних рівнянь, функціонального аналізу, геометрії і теорії пружності. Роботи призначені для наукових працівників, аспірантів і студентів старших курсів.

Редакційна колегія:

Д.В. Грилічевський /відповідальний редактор/, В.Г. Костенко, О.М. Коствоський, В.Е. Лянце, Т.Л. Мартинович, Є.М. Парасюк /відповідальний секретар/, В.Ф. Рогаченко, І.Г. Соколов.

20203-027
В -----
М225/04/-76

© Львівський державний університет, 1976

МАТЕМАТИКА

УДК 517.512

В.О.ГУЖЕВИЧ

ПРО ОДНЕ УЗАГАЛЬНЕННЯ ТЕОРЕМІ ПЕЛІ

Нехай $\{\varphi_n\}$ – система маже ортогональних на $[a, b]$ в сенсі Белмана функцій, тобто

$$\int_a^b \varphi_n^2(x) dx = 1 \quad n=1,2,\dots$$

$$1 \quad \sum_{i=1}^{\infty} \sum_{j=1}^{\infty} a_{ij}^2 = A < \infty, \quad /1/$$

де $a_{ij} = \begin{cases} \int_a^b \varphi_i(t) \varphi_j(t) dt, & i \neq j, \\ 0, & i = j. \end{cases}$

Відома теорема Пелі для ортонормованих систем [2] переноситься в деяким послабленням на системи м.о.з.Б., тобто справедлива наступна теорема.

Теорема. Нехай $\{\varphi_n\}$ – система м.о. з.Б. на $[a, b]$ функцій, для яких

$$|\varphi_n(t)| \leq M$$

маже всюди.

Якщо $f(t) \in L_p(a, b)$ $1 < p \leq 2,$

то справедлива нерівність

$$\sum_{k=1}^{\infty} |c_k|^p k^2 \leq A_p(A) \int_a^b |f(t)|^p dt, \quad /2/$$

де

$$c_k = \int_a^b f(t) \varphi_k(t) dt \quad k=1,2,\dots$$

При цьому числа $\{C_k\}$ занумеровано так, що вони утворють неспадну за абсолютною величиною послідовність, число $\alpha < \rho - 2$ і стала $A_p(\alpha)$ не залежать від функції $f(t)$.

Доведення. Оскільки, як відомо, $\sum_{n=1}^{\infty} \alpha_n \beta_n$, де $\alpha_n \geq 0$ і $\beta_n \geq 0$, є найбільшою, коли обидві послідовності $\{\alpha_n\}$ і $\{\beta_n\}$ або рівночасно неспадні, або рівночасно незростаючі, то можна вважати, що числа C_k утворють монотонно спадну за абсолютною величиною послідовність.

Нехай $1 < \rho < 2$, застосуємо до суми $\sum_{K=1}^{\infty} |C_K|^{\rho} K^{\alpha}$ нерівність Гельдера

$$\sum_{K=1}^{\infty} |C_K|^{\rho} K^{\alpha} \leq \left\{ \sum_{K=1}^{\infty} (|a_K|^p)^q \right\}^{\frac{1}{q}} \cdot \left\{ \sum_{K=1}^{\infty} (K^{\alpha})^{q'} \right\}^{\frac{1}{q'}},$$

де $q = \frac{p'}{p}$ і $\frac{1}{p} + \frac{1}{q} = 1$.

Одержано

$$\sum_{K=1}^{\infty} |C_K|^{\rho} K^{\alpha} \leq \left(\sum_{K=1}^{\infty} |a_K|^p \right)^{\frac{p}{p'}} \left(\sum_{K=1}^{\infty} K^{\frac{\alpha}{p'-p}} \right)^{p'-p}.$$

Коли $\alpha < \rho - 2$, то ряд $\sum_{K=1}^{\infty} K^{\frac{\alpha}{p'-p}}$ збіжний і тому, позначаючи $B = \left[\sum_{K=1}^{\infty} K^{\frac{\alpha}{p'-p}} \right]^{p'-p}$, дістамо

$$\sum_{K=1}^{\infty} |a_K|^{\rho} K^{\alpha} \leq \left(\sum_{K=1}^{\infty} |a_K|^p \right)^{\frac{p}{p'}} \cdot B. \quad /3/$$

Беручи до уваги /1/ і застосовуючи до виразу в правій частині нерівності /3/ теорему Фішера-Рісса для и.о.з.Б. системи [1], одержуємо

$$\begin{aligned} \sum_{K=1}^{\infty} |C_K|^{\rho} K^{\alpha} &\leq B \cdot M^{2-p} (1 + \sqrt{A})^{p-1} \int_a^B |f(t)|^p dt = \\ &= A_p(\alpha) \int_a^B |f(t)|^p dt. \end{aligned}$$

Таким чином, твердження теореми для $1 < p < 2$ доведено.

Що стосується граничного випадку $p=2$, то він тривіальний і відразу випливає з теореми Фішера-Рісса для м.о.з.б. систем, якщо взяти до уваги, що для $p=2$, $p'=2$ і

$$\sum_{k=1}^{\infty} |c_k|^2 k^2 < \sum_{k=1}^{\infty} |c_k|^2 , \text{ оскільки } \lambda < 0 .$$

ЛІТЕРАТУРА

1. Гукевич В.И., Соколов И.Г. Обобщение одной теоремы Фишера-Рисса. - "Теория функций, функциональный анализ и их приложение", Х.1968, вып. 7.
2. Качмаж С., Штейнгауз Г. Теория ортогональных рядов. М., Физматгиз, 1958.

УДК 517.946

І.М.КОЛОДІЙ

ТЕОРЕМА ПРО УСУВНУ ОСОБЛИВІСТЬ ДЛЯ УЗАГАЛЬНЕНІХ РОЗВ'ЯЗКІВ ЕЛІПТИЧНИХ РІВНЯНЬ

У цій роботі розглядаються еліптичні рівняння з виродженням виду

$$\begin{aligned} \operatorname{div} A(x, u, u_x) &= B(x, u, u_x), \\ x = (x_1, \dots, x_n), \quad u_x &= \left(\frac{\partial u}{\partial x_1}, \dots, \frac{\partial u}{\partial x_n} \right) = (u_{x_1}, \dots, u_{x_n}), \\ A(x, u, u_x) &= (A_1(x, u, u_x), \dots, A_n(x, u, u_x)), \end{aligned} \quad /1/$$

в обмеженій області Ω n -мірного евклідового простору E^n .
Доведено теорему про усувну особливість узагальнених розв'язків.
Результат нашої роботи анонсовано в [1].

Нехай K_2 - куб ($x: |x_i| < 2, i=1, \dots, n$); $\bar{\lambda} = \bar{\lambda}(x) = (\lambda_1(x), \dots, \lambda_n(x))$, $\lambda_i(x)$ - невід'ємні функції в Ω ; $W_\beta^1(\bar{\lambda}, \Omega)$,

$W_\beta^1(\bar{\lambda}, \Omega)$ - повні нормовані простори /означення див. у [2] /.

Припустимо, що функції $A(x, u, \bar{p})$, $B(x, u, \bar{p})$, де $\bar{p} = (p_1, \dots, p_n)$ задовільняють умови

$$\begin{aligned} A(x, u, \bar{p}) &\geq a_1 \sum_{i=1}^n \lambda_i(x) |p_i|^{\beta} - d(x) |u|^{\beta} - g(x), \\ |A_i(x, u, \bar{p})| &\leq a_2 \lambda_i(x) |p_i|^{\beta-1} + b(x) |u|^{\beta-1} + e(x), \\ |B(x, u, \bar{p})| &\leq \sum_{i=1}^n c_i(x) |p_i|^{\beta-1} + \omega(x) |u|^{\beta-1} + f(x), \end{aligned} \quad /2/$$

де a_1, a_2 - додатні константи; $\lambda_i(x)$, $d(x)$, $g(x)$, $b(x)$, $e(x)$, $c_i(x)$, $\omega(x)$, $f(x)$ - невід'ємні функції; $\lambda_i^{-1}(x) \in L_{t_i}(K_2)$, $t_i \geq 1$; $\lambda_i(x)$, $d(x)$, $g(x)$, $B^{\frac{\beta}{\beta-1}}(x)$, $\lambda_i^{\frac{\beta}{\beta-1}}(x)$, $e^{\frac{\beta}{\beta-1}}(x)$, $\lambda_i^{\frac{\beta}{\beta-1}}(x)$, $c_i^{\frac{\beta}{\beta-1}}(x) \lambda_i^{-1}(x)$, $\omega(x)$, $f(x)$ належать $L_g(\Omega)$, $s \geq 1$, причому числа β , t_i , s задовільняють нерівності

$$\frac{1}{s} + \frac{1}{n} \sum_{i=1}^n \frac{1}{t_i} < \frac{\beta}{n}, \quad 1 < \beta < n + \sum_{i=1}^n \frac{1}{t_i}, \quad 1 \leq t_i(\beta-1).$$

Позначимо через D_ε множину точок таких, що їх відстань до компактної множини D менша ε , $\varepsilon > 0$.

Означення. Функція $U(x) \in W_\beta^1(\bar{\lambda}, K_{2r} \setminus D)$ називається узагальненим розв'язком рівняння /1/ в $K_{2r} \setminus D$ за умов /2/, якщо для довільної функції $\Psi(x) \in W_\beta^1(\bar{\lambda}, K_{2r})$, що дорівнює нулю в деякому околі компактної множини D , справедлива інтегральна тотожність

$$\int_{K_{2r}} (AU_x + BV) dx = 0.$$

Теорема. Нехай D - компактна множина $(\bar{\lambda}, \bar{\lambda})$ -сингості нуль; $1 < \beta \leq \bar{\lambda}^* \leq \Delta = n(1 + \max_i T_i^{-1})$, де T_i - верхня межа чисел t_i таких, що $\lambda_i^{-1}(x) \in L_{t_i}(K_{2r})$. Якщо $U(x)$ - узагальнений розв'язок в сенсі нового означення в $K_{2r} \setminus D$ і для деякого $\delta > 0$

$$U(x) \in L_{\mu}(1+\delta)(K_{2r} \setminus D), \quad \mu = (\beta-1)(1 - \frac{\beta}{\bar{\lambda}^*})^{-1} \left(1 - \frac{\beta}{\Delta}\right)^{-1},$$

то $U(x)$ - узагальнений розв'язок рівняння /1/ в кубі K_2 в сенсі роботи [2].

З ауваження. Обмеження на числа α^* і β пов'язано з двома обставинами: 1/ при $\alpha^* > \Delta$ не існує компактної множини $(\alpha^*, \bar{\lambda})$ - ємності нуль; 2/ можна навести приклад, який показує, що при β більших відповідного Δ особливість неподільна навіть у класі обмежених функцій.

Приклад. Розглянемо рівняння

$$\operatorname{div}(\varphi^\epsilon U_x/U_x)^{\beta-2})=0, \quad \beta = \left(\sum_{i=1}^n x_i^2\right)^{\frac{1}{2}},$$

в кубі K_{22} . У цьому випадку $\lambda_1(x)=\dots=\lambda_n(x)=\rho^\epsilon, \epsilon>0, \lambda_i^{-1}(x) \in L_{t_i}(K_{22})$ при $t_i < \frac{n}{\epsilon}, T_i=\dots=T_n=\frac{n}{\epsilon}, \Delta=n+\epsilon$. Функція $U(x)=\rho^{\frac{\beta-n-\epsilon}{\beta-1}}$ при $\beta > \Delta = n + \epsilon$ є обмеженим розв'язком нашого рівняння в $K_{22} \setminus O$. Покажемо, що розв'язок у точці нуль має неподільну особливість, тобто якби не доозначили $U(x)$ у точці нуль,

$$\int_{K_2} \varphi_x \rho^\epsilon |U_x/U_x|^{\beta-2} dx \neq 0$$

для деякої функції $\varphi(x) \in \dot{W}_\beta^{1,1}(\bar{\lambda}, K_2)$. Справді, для $\varphi(x) \in C^\infty(K_2), \varphi(0) \neq 0, K_2 = \{x: |x| < 2\}$

$$\int_{K_2} \varphi_x \rho^\epsilon |U_x/U_x|^{\beta-2} dx = \int_{K_2} \varphi_x \rho^\epsilon |U_x/U_x|^{\beta-2} dx = (\frac{\beta-n-\epsilon}{\beta-1})^{\beta-1} \omega_n \varphi(0) \neq 0$$

де ω_n - поверхня одиничної сфери.

Доведення теореми. Нехай $\eta(x)$ і $\tilde{\eta}(x)$ - неподільні функції, що задовольняють умову Ліпшица в K_{22} ; $\eta(x)$ - фінітна в K_{22} , $\tilde{\eta}(x)$ - обертається в нуль в деякому околі компактної множини D . Приймемо $q_0 = \frac{\beta-1}{\beta}(1+\delta)$, де $\delta > 0$ як завгодно мале число; $\tilde{U}=|\tilde{\eta}|+\delta+1$, де $\delta=K(22)$ - те саме, що і в роботі [2].

Для $q \geq q_0$ і $\ell > \mathcal{X}$ визначимо функції

$$U = F(\bar{u}) = \begin{cases} \bar{u}^q & \\ q_0^{-1} [q\ell^{q-q_0}\bar{u}^{q_0} + (q_0 - q)\ell^q], & \text{якщо } \bar{u} < \ell \\ , & \text{коли } \ell \leq \bar{u} \end{cases}$$

$$G(u) = [F(\bar{u})(F'(\bar{u}))^{\beta-1} + q^{\beta-1} \bar{x}^{\beta q - \beta + 1}] \operatorname{sign} u, \quad -\infty < u < +\infty.$$

Ці функції задовольняють нерівності:

$$F(\bar{u}) \leq \frac{q}{q_0} \ell^{q-q_0} \bar{u}^{q_0}; \quad \bar{u} F'(\bar{u}) \leq q F(\bar{u}); \quad |G(u)| \leq F(\bar{u})(F'(\bar{u}))^{\beta-1};$$

$$\beta \frac{\delta}{\beta + \delta} (F'(\bar{u}))^\beta \leq G'(u) \leq \beta (F'(\bar{u}))^\beta; \quad G'(u) = \begin{cases} = \frac{\beta q - \beta + 1}{q} (F'(\bar{u}))^\beta, & u < \ell - \bar{x} \\ \geq \frac{\beta q_0 - \beta + 1}{q} (F'(\bar{u}))^\beta, & u > \ell - \bar{x} \end{cases}$$

Приймемо, що $\Psi(x) = (\eta(x)\bar{\eta}(x))^\beta G(u)$. Тоді майже всюди в K_{22}

$$\begin{aligned} \Psi_x A + \Psi B &= (\eta\bar{\eta})^\beta G'(u) A u_x + \beta(\eta\bar{\eta})^{\beta-1} G(u) A (\eta\bar{\eta})_x + (\eta\bar{\eta})^\beta G(u) B \geq \\ &\geq (\eta\bar{\eta})^\beta G'(u) \left(\alpha_1 \sum_{i=1}^n \lambda_i(x) |u_{x_i}|^\beta - \bar{d}(x) \bar{u}^\beta \right) - \beta(\eta\bar{\eta})^{\beta-1} |G(u)| \sum_{i=1}^n (\eta\bar{\eta})_{x_i} \times \\ &\times \left(\alpha_2 \lambda_i(x) |u_{x_i}|^{\beta-1} + \bar{b}(x) \bar{u}^{\beta-1} \right) - (\eta\bar{\eta})^\beta |G(u)| \left(\sum_{i=1}^n C_i(x) |u_{x_i}|^\beta + \bar{\omega}(x) \bar{u}^{\beta-1} \right) \geq \\ &\geq \frac{\beta\delta}{\beta+\delta} \alpha_1 \sum_{i=1}^n \lambda_i(x) (F'(u))^\beta |\bar{u}_{x_i}|^\beta - \alpha_2 \beta \sum_{i=1}^n \lambda_i(x) |\bar{u}_{x_i}|^{\beta-1} (\eta\bar{\eta})^{\beta-1} \times \\ &\times |(\eta\bar{\eta})_{x_i}| |F'(\bar{u})|^{\beta-1} F(\bar{u}) - |(\eta\bar{\eta}) F(\bar{u})| \sum_{i=1}^n C_i(x) |(\eta\bar{\eta}) F'(\bar{u}) \bar{u}_{x_i}|^{\beta-1} - \\ &- \beta |(\eta\bar{\eta}) F'(\bar{u}) \bar{u}|^\beta \bar{d}(x) - \sum_{i=1}^n |(\eta\bar{\eta})_{x_i} F(\bar{u})| |(\eta\bar{\eta}) F'(\bar{u}) \bar{u}|^{\beta-1} \bar{b}(x) - \\ &- |(\eta\bar{\eta})^\beta F(\bar{u})| |(\eta\bar{\eta}) F'(\bar{u}) \bar{u}|^{\beta-1} \bar{\omega}(x) \geq \beta \alpha_1 \frac{\delta}{\beta+\delta} \sum_{i=1}^n \lambda_i(x) \times \\ &\times |(\eta\bar{\eta}) v_{x_i}|^\beta - \alpha_2 \beta \sum_{i=1}^n \lambda_i(x) |(\eta\bar{\eta}) v_{x_i}|^{\beta-1} |(\eta\bar{\eta})_{x_i} v| - \\ &- \beta q^\beta \bar{d}(x) |(\eta\bar{\eta}) v|^\beta - \sum_{i=1}^n C_i(x) |(\eta\bar{\eta}) v_{x_i}|^{\beta-1} |(\eta\bar{\eta}) v| - \\ &- q^{\beta-1} |(\eta\bar{\eta}) v|^\beta \bar{\omega}(x) - q^{\beta-1} \sum_{i=1}^n |(\eta\bar{\eta})_{x_i} v| |(\eta\bar{\eta}) v|^{\beta-1} \bar{b}(x). \end{aligned}$$

означення $\bar{b}(x)$, $\bar{d}(x)$, $\bar{\omega}(x)$ див. в [2]. /. Звідси, як і в роботі [2], одержуємо

$$\begin{aligned} \int_{K_{22}} \sum_{i=1}^n \lambda_i(x) |(\eta \bar{\eta}) v_{x_i}|^\beta dx &\leq C \left[\int_{K_{22}} \sum_{i=1}^n \lambda_i(x) |(\eta \bar{\eta}) v|^\beta dx + \int_{K_{22}} \sum_{i=1}^n \lambda_i(x) |\eta_{x_i} \bar{\eta} v|^\beta dx \right. \\ &+ q^\beta \int_{K_{22}} |(\eta \bar{\eta}) v|^\beta \left(\sum_{i=1}^n C_i(x) \lambda_i^{1-\beta}(x) + \sum_{i=1}^n \bar{\beta}^{\frac{\beta}{\beta-1}}(x) \lambda_i^{1-\beta}(x) + \bar{d}(x) + \bar{\omega}(x) \right) dx \left. \right] \end{aligned} \quad /3/$$

Зауважимо, що $v \leq \frac{q}{q_0} l^{q-q_0} \bar{u}^{q_0} \leq C(q, l) \bar{u}^{q_0}$. Тому при будь-яких фіксованих $q \neq l$

$$\int_{K_{22}} \sum_{i=1}^n \lambda_i(x) (\eta |\eta_{x_i}| v)^\beta dx \leq C(q, l) \int_{K_{22}} \sum_{i=1}^n \lambda_i(x) |\eta_{x_i}|^\beta \bar{u}^{\beta q_0} dx. \quad /4/$$

Враховуючи припущення нашої теореми та нерівність Гельдера, маємо

$$\begin{aligned} \int_{K_{22} \setminus D} \sum_{i=1}^n \lambda_i(x) |\eta_{x_i}|^\beta \bar{u}^{\beta q_0} dx &\leq \sum_{i=1}^n \left(\int_{K_{22} \setminus D} \lambda_i(x) |\eta_{x_i}|^\alpha dx \right)^{\frac{\beta q_0}{\alpha}} \left(\int_{K_{22} \setminus D} \lambda_i(x) \right. \\ &\times \bar{u}^{\frac{\alpha \beta q_0}{\alpha - \beta}} dx \left. \right)^{\frac{\alpha - \beta}{\alpha}} \leq \sum_{i=1}^n \left(\int_{K_{22}} \lambda_i(x) |\eta_{x_i}|^\alpha dx \right)^{\frac{\beta}{\alpha}} \left(\int_{K_{22}} \lambda_i^s(x) dx \right)^{\frac{1}{s}} \bar{u}^{\frac{\alpha \beta q_0}{\alpha - \beta}} \\ &\times \left(\int_{K_{22} \setminus D} \bar{u}^{\frac{\alpha \beta q_0}{\alpha - \beta} \frac{s}{s-1}} dx \right)^{\frac{s-1}{s}} \leq C \left(\int_{K_{22}} \sum_{i=1}^n \lambda_i(x) |\eta_{x_i}|^\alpha dx \right)^{\frac{\beta}{\alpha}}. \end{aligned} \quad /5/$$

Замінимо в /3/-/5/ $\bar{\eta}$ на $\bar{\eta}^{(N)}$, де $\bar{\eta}^{(N)}$ – функції із леми роботи [3], і спрямуємо N до ∞ . Тоді з /3/-/5/ і леми роботи [3] випливає /при кожному фіксованому $q \neq l$ / нерівність

$$\begin{aligned} \int_{K_{22} \setminus D} \sum_{i=1}^n \lambda_i(x) |\eta v_{x_i}|^\beta dx &\leq C q^\beta \left[\int_{K_{22} \setminus D} \sum_{i=1}^n \lambda_i(x) |\eta_{x_i} v|^\beta dx + \int_{K_{22} \setminus D} |\eta v|^\beta \right. \\ &\times \left. \left(\sum_{i=1}^n C_i^\beta(x) \lambda_i^{1-\beta}(x) + \sum_{i=1}^n \bar{\beta}^{\frac{\beta}{\beta-1}}(x) \lambda_i^{1-\beta}(x) + \bar{d}(x) + \bar{\omega}(x) \right) dx \right]. \end{aligned} \quad /6/$$

З огляду на наслідок роботи з [3] міра \mathfrak{D} дорівнює нулю. Із нерівності /6/ так само як у роботі [2] одержуємо

$$\left(\int_{K_p \setminus \mathfrak{D}} \bar{u}^{\frac{\beta m \rho}{m-p}} dx \right)^{\frac{1}{m-p}} \leq C \left(\frac{P}{S} \right)^{\frac{\beta}{\rho}} \left(1 + P_{(22)} M_{(22)} \right)^{\frac{S'}{p}} \left(\int_{K_p \setminus \mathfrak{D}} \bar{u}^{\frac{\beta p}{p}} dx \right)^{\frac{1}{p}},$$

$$\text{де } 2 < p - \beta + \delta \leq 22, \quad m = \frac{k}{q} > 1, \quad k \leq n \left(\beta - \beta + \sum_{i=1}^n \frac{1}{l_i} \right)^{-1}, \quad \rho = S' q,$$

$$S' = \frac{S}{S-1}, \quad q \geq q_0.$$

Приймемо $p = S' q_0 m^\nu$, $\nu = 0, 1, 2, \dots$, $\beta_\nu = p + \delta = (1 + 2^{-\nu}) \beta$, $\rho = \rho_{\nu+1}$ і проітеруємо цю нерівність. Тоді, враховуючи умови теореми, маємо

$$\begin{aligned} \text{vrai max}_{K_2 \setminus \mathfrak{D}} \bar{u} &\leq C \left(1 + M_{(22)} P_{(22)} \right)^{\frac{1}{\beta_0}} \left(\int_{K_{22} \setminus \mathfrak{D}} \bar{u}^{S' \beta q_0} dx \right)^{\frac{1}{S' \beta q_0}} = \\ &= C \left(\int_{K_{22} \setminus \mathfrak{D}} \bar{u}^{\frac{\beta-\delta}{1-\delta}(1+\delta)} dx \right)^{\frac{1-\delta}{(\beta-1)(1+\delta)}} \leq C \left(\int_{K_{22} \setminus \mathfrak{D}} \bar{u}^{\frac{(\beta-1)(q_0+\delta)}{(1-\delta)(1-\frac{\delta}{2})}} dx \right)^{\frac{(1-\delta)(1-\frac{\delta}{2})}{(\beta-1)(1+\delta)}}. \end{aligned} \quad /7/$$

Отже, $\text{vrai max}_{K_{22} \setminus \mathfrak{D}} \bar{u} \leq C$, тобто функції $u(x)$ і $\bar{u}(x)$ рівномірно обмежені в $K_2 \setminus \mathfrak{D}$.

Із нерівностей /6/, /7/ при $q = q_0$ записуємо

$$\int_{K_2 \setminus \mathfrak{D}} \sum_{i=1}^n \lambda_i(x) \bar{u}^{\beta(q_0-1)} |\bar{u}_{x_i}|^\beta dx \leq C \left(\int_{K_{22}} \bar{u}^{S' \beta q_0} dx \right)^{\frac{1}{S'}}.$$

Через те що функція $\bar{u}(x)$ обмежена в $K_2 \setminus \mathfrak{D}$ і $q_0 < 1$, то $\sum_{i=1}^n \lambda_i(x) |\bar{u}_{x_i}|^\beta \in L_1(K_2 \setminus \mathfrak{D})$, тобто функції $\bar{u}(x)$ і $u(x)$ належать $W_\beta'(\bar{\lambda}, K_2 \setminus \mathfrak{D})$. і через те що міра \mathfrak{D} дорівнює нулю, то $u(x) \in W_\beta'(\bar{\lambda}, K_2)$.

Підставимо в інтегральну тотожність функцію $\varphi(x) = \eta \bar{\eta}^{(\nu)}$, де $\eta \in W_\beta'(\bar{\lambda}, K_2)$, а $\bar{\eta}^{(\nu)}$ - функція із леми роботи [3].

Тоді

$$\int_{K_2} [(\eta \bar{\eta}^{(\nu)})_x A + (\eta \bar{\eta}^{(\nu)}) B] dx = 0.$$

Спряженувавши ν до ∞ , одержимо $\int_{\Omega} (\eta_x A + \eta_B) dx = 0$ для до-
вільної функції $\eta(x) \in W_p^1(\bar{\Omega}, K_\varepsilon)$, тобто $U(x)$ - узагальне-
ний розв'язок в K_ε .

ЛІТЕРАТУРА

1. Колодій І.М. О некоторых свойствах обобщенных решений вырождающихся эллиптических уравнений. - ДАН СССР, 1971, т.197, № 2.
2. Колодій І.М. Оцінка максимума модуля узагальнених розв'язків еліптических диференціальних рівнянь з виродженням. - "Вісник Львівського ун-ту, серія механіко-математична", 1974, вип. 9.
3. Колодій І.М. Про ємність множин. У цьому в віснику.

УДК 517.946

І.М.КОЛОДІЙ ПРО ЄМНІСТЬ МНОЖИН

У цій роботі введено поняття $(\mathcal{L}^*, \bar{\lambda})$ - ємності множини, що узагальнює поняття \mathcal{L} - ємності множини, сформульоване в роботі [4]. Це поняття використовується при доведенні теорем про усуви особливості, аналогічних відповідним теоремам для гармонічних функцій. Результат статті анонсовано в [1].

Нехай Ω - обмежена область в n -мірному евклідовому просторі E^n , $x=(x_1, \dots, x_n)$; $K_\varepsilon = \{x : |x_i| < \varepsilon, i=1, \dots, n\}$ - куб.

Означення 1. Нехай \mathcal{D} компактна множина в Ω . Тоді $(\mathcal{L}^*, \bar{\lambda})$ ємність множини \mathcal{D} називається число

$$\inf \iint_{i=1}^n |\lambda_i(x)| \Psi_{x_i}|^{\mathcal{L}^*} dx, \quad 1 < \mathcal{L}^* < +\infty, \quad \lambda_i(x) \geq 0, \lambda_i \in L_1,$$

де \inf береться по всіх неперервно-диференційованих, фінітних в Ω функціях, які не менші одиниці на \mathcal{D} .

Означення 2. /див. [4]/. Нехай Q обмежена множина в E^n . Тоді α - емність множини Q називається число

$$\inf \int_{E^n} |\phi_x|^d dx, \quad 1 \leq d < +\infty,$$

де \inf береться по всіх неперервно-диференційованих функціях, які не менші одиниці на Q і фінітні в E^n при $d < n$ або фінітні в деякому фіксованому кубі $K_{R_0} \supset Q$ при $d \geq n$.

Зauważення 1. Якщо Q - компактна множина в Ω і α - емність Q дорівнює нулю, то в означенні 2 можна обмежитись неперервно-диференційованими функціями, фінітними в Ω .

Щоб довести це твердження, достатньо показати, що існує послідовність неперервно-диференційованих функцій $\tilde{\Phi}_v(x)$, фінітних в Ω , така, що $\int_{\Omega} |\tilde{\Phi}_{vx}|^d dx \rightarrow 0$ при $v \rightarrow \infty$. Якщо α - емність Q дорівнює нулю, то існує послідовність неперервно-диференційованих функцій Φ_{vx} , фінітних в E^n , така, що $\int_{E^n} |\Phi_{vx}|^d dx \rightarrow 0$ при $v \rightarrow \infty$. Нехай $\eta = \eta(x)$ - гладка, фінітна в Ω , функція; побудуємо функцію $\tilde{\Phi}_v = \eta \Phi_v$. Тоді

$$\begin{aligned} \int_{\Omega} |\tilde{\Phi}_{vx}|^d dx &= \int_{\Omega} |(\eta \Phi_v)_x|^d dx \leq C(\alpha, n) \left[\int_{\Omega} \eta^d |\Phi_{vx}|^d dx + \int_{\Omega} |\eta_x|^d |\Phi_v|^d dx \right] \leq \\ &\leq C(\alpha, n) \left[\int_{E^n} |\Phi_{vx}|^d dx + \int_{E^n} |\eta_x|^d |\Phi_v|^d dx \right] = C(\alpha, n) (\mathcal{J}_{1,v} + \mathcal{J}_{2,v}). \end{aligned}$$

За умовою $\mathcal{J}_{1,v} \rightarrow 0$ при $v \rightarrow \infty$; оцінимо $\mathcal{J}_{2,v}$ при $d < n$, використовуючи нерівність Гельдера і теорему С.Л.Соболєва [3]

$$\mathcal{J}_{2,v} \leq C(\alpha, n, \Omega) \left(\int_{E^n} |\Phi_v|^{\frac{n}{n-d}} dx \right)^{n-d} \leq C(\alpha, n, \Omega) \int_{E^n} |\Phi_{vx}|^d dx,$$

причому зауважимо, що $C(\alpha, n, \Omega)$ не залежить від носіїв функції Φ_v , тобто не залежить від v і тому $\mathcal{J}_{2,v} \rightarrow 0$ при $d < n$.

Якщо ж $\alpha = n$, то $C(\alpha, n, \Omega)$ в останній нерівності залежить і від міри носіїв функції Φ_y , які містяться в фіксованому кубі $K_{R_0} \subset \Omega \subset Q$. Тому $J_{2,y} \rightarrow 0$ при $y \rightarrow \infty$ і в випадку $\alpha = n$.

Якщо розглядаємо інші множини α -смінності нуль, то тим самим накладаємо обмеження $\alpha \leq n$, тому що при $\alpha > n$ будь-яка обмежена множина має ненулеву α -смінність /справді, будь-яка обмежена множина містить точку і тому α -смінність цієї множини не менша α -смінності точки, а α -смінність точки при $\alpha > n$ не дорівнює нулю; див. [4] /.

Отже, ми довели, що існує послідовність функцій $\tilde{\Phi}_y(x)$, фінітних в Ω , на яких досягається \inf , тобто для множин нульової α -смінності достатньо розглядати функції $\Phi(x)$ фінітні лише в Ω . Якщо ж α -смінність дорівнює нулю по функціях, фінітних в Ω , то воно, очевидно, дорівнює нулю і по функціях, фінітних в E^n . Таким чином для множин нульової α -смінності \inf на гладких функціях, фінітних в E^n , дорівнює \inf по функціях, фінітних в Ω . Тому, оперуючи іншими α -смінності нуль, вважатимемо, що функції $\Phi(x)$ в означеній 2 фінітні в Ω .

Зауваження 2. Якщо α -смінність компактної множини Q дорівнює нуль і $\alpha^* = \frac{\alpha}{3}(S-1)$, $\lambda_i(x) \in L_S$, $S > 1$, то $(\alpha^*, \bar{\lambda})$ -смінність Q дорівнює нуль.

Справедливість цього твердження випливає з зауваження 1 і оцінки

$$\int_{\Omega} \sum_{i=1}^n \lambda_i(x) |\Psi_{x_i}|^{\alpha^*} dx \leq C \left(\int_{\Omega} |\Psi_x|^{\alpha} dx \right)^{\frac{\alpha^*}{\alpha}}.$$

Зауваження 3. Якщо $\alpha^* > n(1 + \max T_i^{-1})$, де T_i - верхня межа чисел t_i таких, що $\lambda_i^{-1}(x) \in L_{t_i}(\Omega)$, то $(\alpha^*, \bar{\lambda})$ -смінність компактної множини Q не дорівнює нуль.

Справді, коли $\alpha^* > n(1 + \max T_i^{-1})$, то існує таке $\alpha > n$, що $\alpha^* > \alpha(1 + \max T_i^{-1})$, або $(\alpha^* - \alpha)d^{-1} > \max T_i^{-1}$. Тобто

$\frac{\alpha^* - \alpha}{\alpha} > \frac{1}{T_i}$. Отже, існує таке число t_i , що $\frac{\alpha^* - \alpha}{\alpha} > \frac{1}{t_i}$, або $\frac{\alpha}{\alpha^* - \alpha} < T_i$. Тоді, використавши нерівність Гельдера маємо

$$\begin{aligned} \int_{\Omega} |\Psi_{x_i}|^{\alpha^*} dx &\leq C \sum_{i=1}^n \left(\int_{\Omega} \lambda_i(x) |\Psi_{x_i}|^{\alpha^*} dx \right)^{\frac{\alpha}{\alpha^*}} \left(\int_{\Omega} (\lambda_i^{-1}(x))^{\frac{\alpha}{\alpha^* - \alpha}} dx \right)^{\frac{\alpha^* - \alpha}{\alpha^*}} \leq \\ &\leq C \left(\sum_{i=1}^n \int_{\Omega} \lambda_i(x) |\Psi_{x_i}|^{\alpha^*} dx \right)^{\frac{\alpha}{\alpha^*}} \end{aligned}$$

Таким чином,

$$\int_{\Omega} \sum_{i=1}^n \lambda_i(x) |\Psi_{x_i}|^{\alpha^*} dx \geq C \left(\inf_{\Omega} \int_{\Omega} |\Psi_x|^{\alpha^*} dx \right)^{\frac{\alpha}{\alpha^*}}$$

Звідси випливає наше твердження.

Отже, можна зробити такий висновок, коли говоримо, що $(\alpha^*, \bar{\lambda})$ -емність компактної множини дорівнює нулю, то тим самим налаштовуємо обмеження $\alpha^* \leq n(1 + \max_i T_i^{-1})$.

Позначимо через $U(\mathcal{D})$ множину функцій $\tilde{\eta}(x)$, $0 \leq \tilde{\eta}(x) \leq 1$ що задовольняють умову Ліпшица і перетворюються в нуль в околі множини \mathcal{D} .

Л е м а 1. Нехай $\mathcal{D} \subset \Omega$ компактна множина $(\alpha^*, \bar{\lambda})$ -емності нуль, $1 \leq \alpha^* \leq n(1 + \max_i T_i^{-1})$. Тоді існує послідовність функцій $\tilde{\eta}^{(v)}(x) \in U(\mathcal{D})$ така, що $\tilde{\eta}^{(v)}(x) \rightarrow 1$ майже всюди і $\int_{\Omega} \sum_{i=1}^n \lambda_i(x) |\tilde{\eta}_x^{(v)}|^{d^*} dx \rightarrow 0$, де $\lambda_i(x) \in L_S$, $\lambda_i^{-1}(x) \in L_{t_i}$, причому числа S та t_i задовольняють умови роботи [2].

Д о в е д е н н я. За означенням існує послідовність $\Psi^{(v)}(x)$ неперевно-диференційованих, фінітних в Ω функцій, які не менші від одиниці в \mathcal{D} , а

$$\int_{\Omega} \sum_{i=1}^n \lambda_i(x) |\Psi_{x_i}^{(v)}|^{d^*} dx \leq 1$$

Функції $2\Psi^{(v)}(x) > 1$ в деякому околі \mathcal{D} . Розглянемо функцію

$$\tilde{\Psi}^{(v)}(x) = \begin{cases} 0, & \text{коли } \Psi^{(v)} < 0, \\ 2\Psi^{(v)}, & \text{коли } 0 < \Psi^{(v)} < 1, \\ 1, & \text{коли } \Psi^{(v)} > 1. \end{cases}$$

Очевидно, що $\bar{\Psi}^{(V)}(x)$ яка задовільняє умову Ліпшица, дорівнює одиниці в околі \mathcal{D} і задовільняє нерівність

$$\int_{\Omega} \sum_{i=1}^n \lambda_i(x) |\bar{\Psi}_{x_i}^{(V)}|^{d^*} dx \leq C \int_{\Omega} \sum_{i=1}^n \lambda_i(x) |\Psi_{x_i}^{(V)}|^{d^*} dx \leq \frac{C}{V}.$$

Функція $\bar{\Psi}^{(V)}(x)$ фінітна в Ω і тому за лемою роботи [4]

$$\left(\int_{\Omega} |\bar{\Psi}^{(V)}(x)|^{kd^*} dx \right)^{\frac{1}{k}} \leq f, \quad k > 1.$$

З останньої нерівності випливає, що існує підпослідовність, ми знову позначимо її $\bar{\Psi}^{(V)}(x)$, така що $\bar{\Psi}^{(V)}(x) \rightarrow 0$ майже всюди. Тому функція $\bar{\eta}^{(V)}(x) = 1 - \bar{\Psi}^{(V)}(x)$ задовільняє умови леми 1.

Наслідок. Якщо \mathcal{D} компактна множина (d^*, λ) -емності нуль $1 \leq d^* \leq n(1 + \max_i \Gamma_i^{-1})$, то міра \mathcal{D} дорівнює нулю.

Дійсно функція $\bar{\Psi}^{(V)}(x) = 1$ на \mathcal{D} для кожного V . З другого боку $\bar{\Psi}^{(V)} \rightarrow 0$ майже всюди. Отже, міра \mathcal{D} дорівнює нулю.

ЛІТЕРАТУРА

1. Колодий І.М. О некоторых свойствах обобщенных решений вырождающихся эллиптических уравнений. – ДАН СССР, 1971, т.197.
2. Колодій І.М. Оцінка максимуму модуля узагальнених розв'язків еліптичних диференціальних рівнянь з виродженням. – "Вісник Львівського ун-ту, серія механіко-математична", 1974, вип.9.
3. Соболев С.Л. Некоторые применения функционального анализа в математической физике. Изд-во Ленинградского ун-та, 1950.
4. J. Serrin. Local behavior of solutions of quasilinear equations – *Acta Math*, 1964, 111, № 3-4.

Г.П.БОЙКО

УЗАГАЛЬНЕНА ОСНОВНА КРАЙОВА ЗАДАЧА ДЛЯ
РІВНЯННЯ $\Delta^3 u = 0$

Нехай \mathcal{D} - обмежена область в R^3 з границею S класу C^∞ ;
 $v(y)$ - одиничний вектор внутрішньої нормалі до S у точці y .
 У [3] побудовано потенціали U_1 , U_2 , U_3 , за допомогою
 яких крайова задача

$$\begin{aligned} \Delta^3 u(x) &= 0, \quad x \in \mathcal{D}, & /1/ \\ u|_S &= f_1, \\ \frac{\partial u}{\partial v}|_S &= f_2, \\ \Delta u|_S &= f_3, \end{aligned}$$

де f_1, f_2, f_3 - досить гладкі функції на S , зводиться до системи інтегро-диференціальних рівнянь, еквівалентної системі інтегральних рівнянь Фредгольма другого роду. Ці потенціали мають вигляд

$$\begin{aligned} U_1(x, \mu_1) &= \frac{1}{\pi} \int_S \left\{ \mu_1(y) \Psi_{11}(x, y) + \left(\frac{\partial}{\partial \beta_1}\right)^2 \mu_1(y) \Psi_{12}(x, y) + \left(\frac{\partial}{\partial \beta_2}\right)^2 \mu_1(y) \Psi_{13}(x, y) \right\} dS_y, \\ U_2(x, \mu_2) &= \frac{1}{\pi} \int_S \left\{ \mu_2(y) \Psi_{21}(x, y) + \left(\frac{\partial}{\partial \beta_1}\right)^2 \mu_2(y) \Psi_{22}(x, y) + \left(\frac{\partial}{\partial \beta_2}\right)^2 \mu_2(y) \Psi_{23}(x, y) \right\} dS_y, \\ U_3(x, \mu_3) &= \frac{1}{\pi} \int_S \mu_3(y) \Psi_{31}(x, y) dS_y, \end{aligned}$$

де β_1, β_2 - головні напрями поверхні S в точці y , ядра $\Psi_{ii}(x, y)$, $\Psi_{12}(x, y), \dots, \Psi_{31}(x, y)$ виражуються лінійно через фундаментальні розв'язки рівняння /1/ та похідні від них.

Тут ми розглядаємо, використовуючи побудовані в [3] ядра по-тенціалів U_1 , U_2 , U_3 , узагальнену / в сенсі [1] / основну крайову задачу для рівняння /1/.

Позначимо через S_ϵ паралельну до S поверхню, розміщену на відстані ϵ , $0 < \epsilon \leq \epsilon_0$, по напрямку нормалі $\nu(y)$ від поверхні S /припускаємо існування такого додатного числа ϵ_0 , що для всіх $0 < \epsilon \leq \epsilon_0$ поверхні S_ϵ не мають точок самоперетину/. Нехай $\mathcal{D}(S)$ - простір нескінченно диференційованих на S /основних/ функцій, $\mathcal{D}'(S)$ - простір лінійних неперервних функціоналів над $\mathcal{D}(S)$ /простір узагальнених функцій/. Під $\langle \varphi, F \rangle$ розуміємо дію узагальненої функції F на основну φ . Якщо $F = \begin{pmatrix} F_1 \\ F_K \end{pmatrix}$, $\varphi = (\varphi_1, \dots, \varphi_K)$, то $\langle \varphi, F \rangle = \sum_{i=1}^K \langle \varphi_i, F_i \rangle$ [2].

Далі простір основних вектор-функцій розмірності K позначаємо через $[\mathcal{D}(S)]^K$, простір узагальнених вектор-функцій розмірності K - через $[\mathcal{D}'(S)]^K$. Функції $\varphi \in [\mathcal{D}(S)]^K$ продовжимо до функцій із $[\mathcal{D}(S_\epsilon)]^K$ таким чином: $\varphi(x_\epsilon) = \varphi(y)$, якщо $x_\epsilon = y + \epsilon \nu(y)$.

Постановка задачі. Нехай $F_1, F_2, F_3 \in \mathcal{D}'(S)$. В області \mathcal{D} знайти розв'язок рівняння /1/, що задовільняє умови

$$\lim_{\epsilon \rightarrow 0} \int_{S_\epsilon} \varphi(x_\epsilon) u(x_\epsilon) dS_\epsilon = \langle \varphi, F_1 \rangle, \quad /2/$$

$$\lim_{\epsilon \rightarrow 0} \int_{S_\epsilon} \varphi(x_\epsilon) \frac{\partial u(x_\epsilon)}{\partial \nu x_\epsilon} dS_\epsilon = \langle \varphi, F_2 \rangle, \quad /3/$$

$$\lim_{\epsilon \rightarrow 0} \int_{S_\epsilon} \varphi(x_\epsilon) \Delta u(x_\epsilon) dS_\epsilon = \langle \varphi, F_3 \rangle \quad /4/$$

для кожної $\varphi \in \mathcal{D}(S)$.

Нехай

$$\begin{vmatrix} \Psi_{11}(x,y) & \Psi_{12}(x,y) & \Psi_{13}(x,y) & \Psi_{21}(x,y) & \Psi_{22}(x,y) & \Psi_{23}(x,y) & \Psi_{31}(x,y) \\ \left(\frac{\partial}{\partial s_{1x}}\right)^2 \Psi_{11}(x,y) & & & & & \left(\frac{\partial}{\partial s_{1x}}\right)^2 \Psi_{31}(x,y) \\ \left(\frac{\partial}{\partial s_{2x}}\right)^2 \Psi_{11}(x,y) & & & & & \left(\frac{\partial}{\partial s_{2x}}\right)^2 \Psi_{31}(x,y) \\ \Psi_{11}(x,y) & \frac{\partial}{\partial x} \Psi_{11}(x,y) & & & & \frac{\partial}{\partial x} \Psi_{31}(x,y) \\ \left(\frac{\partial}{\partial s_{1x}}\right)^2 \frac{\partial}{\partial x} \Psi_{11}(x,y) & & & & & \left(\frac{\partial}{\partial s_{1x}}\right)^2 \frac{\partial}{\partial x} \Psi_{31}(x,y) \\ \left(\frac{\partial}{\partial s_{2x}}\right)^2 \frac{\partial}{\partial x} \Psi_{11}(x,y) & & & & & \left(\frac{\partial}{\partial s_{2x}}\right)^2 \frac{\partial}{\partial x} \Psi_{31}(x,y) \\ \Delta_x \Psi_{11}(x,y) & & & & & \Delta_x \Psi_{31}(x,y) \end{vmatrix}$$

$$C(y) = \begin{vmatrix} \frac{1}{5} & 0 & 0 & 0 & 0 & 0 & 0 \\ 0 & \frac{1}{5} & 0 & 0 & 0 & 0 & 0 \\ 0 & 0 & \frac{1}{5} & 0 & 0 & 0 & 0 \\ 0 & 0 & 0 & \frac{1}{3} & 0 & 0 & 0 \\ 0 & 0 & 0 & 0 & \frac{1}{3} & 0 & 0 \\ 0 & 0 & 0 & 0 & 0 & \frac{1}{5} & 0 \\ \lambda_1(y) & \lambda_2(y) & \lambda_3(y) & 0 & 0 & 0 & 2 \end{vmatrix}, F = \begin{vmatrix} F_1 \\ \left(\frac{\partial}{\partial s_{1x}}\right)^2 F_1 \\ \left(\frac{\partial}{\partial s_{2x}}\right)^2 F_1 \\ F_2 \\ \left(\frac{\partial}{\partial s_{1x}}\right)^2 F_2 \\ \left(\frac{\partial}{\partial s_{2x}}\right)^2 F_2 \\ F_3 \end{vmatrix}, A = \begin{vmatrix} A_{11} \\ A_{12} \\ A_{13} \\ A_{21} \\ A_{22} \\ A_{23} \\ A_{31} \end{vmatrix},$$

$\lambda_1(y), \lambda_2(y), \lambda_3(y)$ визначені в [3]. Тут під $\left(\frac{\partial}{\partial s_i}\right)^2 F_j$ розуміємо узагальнену функцію, визначену формулою

$\langle g, \left(\frac{\partial}{\partial s_i}\right)^2 F_j \rangle = \langle \left(\frac{\partial}{\partial s_i}\right)^2 g, F_j \rangle, \quad i, j = 1, 2$
 для кожної $g \in \mathcal{D}(S)$, де $\left(\frac{\partial}{\partial s_i}\right)^2$ / $i = 1, 2$ / - спряжений оператор до оператора $\left(\frac{\partial}{\partial s_i}\right)$, тобто такий, що

$$\int_S \left(\frac{\partial}{\partial s_i}\right)^2 u \cdot v dS = \int_S u \cdot \left(\frac{\partial}{\partial s_i}\right)^2 v dS$$

для довільних досить гладких U, V . Існування спряжених в такому сенсі операторів доведено, наприклад, в [1].

При наших припущеннях наявні такі справедливі твердження:

Л е м а 1. Оператор $(K\psi)(y) \equiv \int_S \psi(x) \Psi(x,y) dS_x$ діє в просторі $[\mathcal{D}(S)]^*$.

Л е м а 2. Перетворення $\langle g, A \rangle = \langle \Psi_g, F \rangle$, /5/
де $g = (g_1, \dots, g_r) \in [\mathcal{D}(S)]^*$, $\Psi_g = (\Psi_{g_1}, \dots, \Psi_{g_r})$ - розв'язок системи інтегральних рівнянь.

$$\Psi(y)C(y) + \frac{1}{\pi} \int_S \Psi(x) \Psi(x,y) dS_x = g(y), \quad /6/$$

встановлює ізоморфізм простору $[\mathcal{D}(S)]^*$ на себе. Формула обертання має вигляд

$$\langle \Psi, F \rangle = \langle \Psi(y)C(y) + \frac{1}{\pi} \int_S \Psi(x) \Psi(x,y) dS_x, A \rangle$$

для будь-якої $\Psi \in [\mathcal{D}(S)]^*$.

Твердження леми 2 випливає з єдності розв'язку системи /6/ як транспонованої до відповідної системи інтегральних рівнянь в [3] і леми 1.

Із вигляду матриць $\Psi(x,y)$ і $C(y)$ та властивостей розв'язків системи /6/ випливає, що

$$A_{12} = \left(\frac{\partial}{\partial S_1} \right)^2 A_{11}; \quad A_{13} = \left(\frac{\partial}{\partial S_2} \right)^2 A_{11}, \\ A_{22} = \left(\frac{\partial}{\partial S_1} \right)^2 A_{21}, \quad A_{23} = \left(\frac{\partial}{\partial S_2} \right)^2 A_{21}. \quad /7/$$

Т е о р е м а . Нехай $F_1, F_2, F_3 \in \mathcal{D}'(S)$, узагальнені функції A_{11}, A_{21}, A_{31} визначені згідно з /5/ і /6/, тоді функція

$$U(x) = \langle \Psi_{11}(x,y) + \left(\frac{\partial}{\partial S_1 y} \right)^2 \Psi_{12}(x,y) + \left(\frac{\partial}{\partial S_2 y} \right)^2 \Psi_{13}(x,y), A_{11} \rangle + \\ + \langle \Psi_{21}(x,y) + \left(\frac{\partial}{\partial S_1 y} \right)^2 \Psi_{22}(x,y) + \left(\frac{\partial}{\partial S_2 y} \right)^2 \Psi_{23}(x,y), A_{21} \rangle + \quad /8/$$

$$+ \langle \Psi_{31}(x,y), A_{31} \rangle, \quad x \in D, \quad y \in S$$

є розв'язком задачі /1/-/4/.

Д о в е д е н и я . Легко бачити, що коли функція $U(x)$ задовольняє умови /2/ і /3/, то вона також задовольняє умови

$$\lim_{\epsilon \rightarrow 0} \int_{S_\epsilon} \varphi(x_\epsilon) \left(\frac{\partial}{\partial s_{i,\epsilon}} \right)^2 U(x_\epsilon) ds_\epsilon = \left\langle \left(\frac{\partial}{\partial s_i} \right)^2 \varphi, F_1 \right\rangle, \quad /2'/$$

$$\lim_{\epsilon \rightarrow 0} \int_{S_\epsilon} \varphi(x_\epsilon) \left(\frac{\partial}{\partial s_{i,\epsilon}} \right)^2 \frac{\partial}{\partial x_i} U(x_\epsilon) ds_\epsilon = \left\langle \left(\frac{\partial}{\partial s_i} \right)^2 \varphi, F_2 \right\rangle, \quad /3'/$$

для кожної $\varphi \in \mathcal{D}(S)$. Бізначимо узагальнені функції A_{12} ,

A_{13}, A_{22}, A_{23} за формулами /7/, тоді функцію /8/ можна зобразити у вигляді

$$U(x) = \left\langle \Psi_1(x,y), A_{11} \right\rangle + \left\langle \Psi_{12}(x,y), A_{12} \right\rangle + \left\langle \Psi_{13}(x,y), A_{13} \right\rangle + \quad /9/ \\ + \left\langle \Psi_{21}(x,y), A_{21} \right\rangle + \left\langle \Psi_{22}(x,y), A_{22} \right\rangle + \left\langle \Psi_{23}(x,y), A_{23} \right\rangle + \left\langle \Psi_{31}(x,y), A_{31} \right\rangle, \\ x \in \mathfrak{D}, y \in S.$$

Представляємо /9/ послідовно в умови /2/, /2'/, /3/, /3'/, /4/ з основними функціями $\varphi_1, \varphi_2, \dots, \varphi_7$, а потім додаємо одержані рівності. Використовуючи аналог теореми Фубіні [1], формули стрибків відповідних потенціалів [3], /7/ і лему 2, переконуємося, що функція /9/ задовольняє умови /2/–/4/. Оскільки функції $\Psi_{ij}(x,y)$ / $i, j = 1, 2, 3$ / виражаються лінійно через фундаментальні розв'язки рівняння /1/ і похідні від них, то за властивостями узагальнених функцій /8/ задовольняє також рівняння /1/ в області \mathfrak{D} .

Л I Т Е Р А Т У Р А

- Гупало А. – В.С. Обобщенные граничные задачи для дифференциальных уравнений второго порядка эллиптического типа. Автореф. канд. дис., Львов, 1958.

2. Гельфанд И.М., Шилов Г.Е. Некоторые вопросы теории дифференциальных уравнений. М., Физматгиз, 1959.

3. Лободзинская И.Г. Решение краевых задач для полигармонических уравнений в n -мерном пространстве методом потенциалов. Автореф. канд. дис., Львов, 1961.

УДК 517.946

Г.-В.С.ГУПАЛО

ЗАДАЧА ДІРІХЛЕ ДЛЯ РІВНЯННЯ ПУАССОНА

Розглядаємо задачу Діріхле для рівняння Пуссона, коли граничні значення і права частина рівняння є узагальненими функціями.

1. Нехай Ω - обмежена область в n -вимірному евклідовому просторі E^n, S - ії $n-1$ -вимірна бемежно гладка границя. Введемо такі позначення: через $\nu(x)$ позначимо орт внутрішньої нормалі n_x до поверхні S у точці x ; через $\mathcal{D}(\bar{\Omega})$ - простір бемежно диференційовних /основних/ функцій $\Psi(x)$ в $\bar{\Omega} = \Omega \cup S$; $\mathcal{D}'(\bar{\Omega})$ - простір лінійних неперервних функціоналів /узагальнених функцій/ на $\mathcal{D}(\bar{\Omega})$; $\mathcal{D}_0(\bar{\Omega})$ - простір бемежно диференційовних функцій з компактними носіями в $\bar{\Omega}$; $\mathcal{D}'_0(\bar{\Omega})$ - простір лінійних неперервних функціоналів на $\mathcal{D}_0(\bar{\Omega})$, очевидно, що $\mathcal{D}'(\bar{\Omega}) \subset \mathcal{D}'_0(\bar{\Omega})$; $\mathcal{D}(S)$ - простір бемежно диференційовних /основних/ функцій $\Upsilon(x)$ на поверхні S ; $\mathcal{D}'(S)$ - простір лінійних неперервних функціоналів /узагальнених функцій/ на $\mathcal{D}(S)$. Дію узагальненої функції $F \in \mathcal{D}'(\bar{\Omega})$ / $F \in \mathcal{D}'(\bar{\Omega})$ / на основну функцію $\Psi \in \mathcal{D}_0(\bar{\Omega})$ / $\Psi \in \mathcal{D}(\bar{\Omega})$ / позначаємо так: (F, Ψ) , а дію узагальненої функції $A \in \mathcal{D}'(S)$ на основну функцію $\Upsilon \in \mathcal{D}(S)$ - так: $\langle A, \Upsilon \rangle$.

2. Постановка задачі. Нехай $F \in \mathcal{D}'(\bar{\Omega})$ і $G \in \mathcal{D}'(S)$, треба знайти розв'язок рівняння

$$\Delta U = F$$

/1/

в обмеженій області $\Omega \subset E^n$, який задовольняє граничну умову

$$U = G \quad /2/$$

на поверхні S .

Будемо вважати, що $U \in \mathcal{D}'(\bar{\Omega})$ є розв'язком задачі /1/-/2/, якщо для будь-якої функції $\Psi \in \mathcal{D}_0(\bar{\Omega})$ виконується рівність

$$(U, \Delta \Psi) - (F, \Psi) = - \langle G, \frac{\partial \Psi}{\partial n} \rangle. \quad /3/$$

Л е м а 1. Розв'язок задачі /1/-/2/ в розумінні /3/ єдиний.

Справді, нехай існують два розв'язки U_1 і U_2 задачі /1/-/2/. Різниця їх позначимо через U , тоді з /3/ одержимо, що $(U, \Delta \Psi) = 0$ для будь-якої функції $\Psi \in \mathcal{D}_0(\bar{\Omega})$. Отже, $U = 0$ в розумінні $\mathcal{D}'(\bar{\Omega})$.

Нехай $G \in \mathcal{D}'(S)$, вважатимемо [3], [1], що функція $U(x)$ визначена в обмеженій області $\Omega \subset E^n$ набуває на S узагальні граничні значення G , коли

$$\lim_{\epsilon \rightarrow 0} \int_{S_\epsilon} U(x_\epsilon) \Psi(x_\epsilon) dS_\epsilon = \langle G, \Psi \rangle \quad \text{для кожної } \Psi \in \mathcal{D}(S), \quad /4/$$

де S_ϵ – поверхня паралельна до поверхні S , $\Psi(x_\epsilon) = \Psi(x)$, коли $x_\epsilon = x + \epsilon \nu(x)$, $x_\epsilon \in S_\epsilon$, $x \in S$.

Л е м а 2. Нехай $F = 0$. Якщо $U = G \in \mathcal{D}'(S)$ на поверхні S в розумінні /4/, то U є розв'язком задачі /1/-/2/ в розумінні /3/.

Д о в е д е н и я. Коли $F = 0$ і $U = G$ на поверхні S в розумінні /4/, то маємо узагальнену задачу Діріхле для рівняння Лапласа, яка розглянута в [1]. Її розв'язок, згідно теореми 2 з [1] можна зобразити у вигляді

$$U(x) = \langle A, \frac{\partial \omega(x, y)}{\partial n_y} \rangle, \quad x \in \Omega. \quad /5/$$

де $\langle A, g \rangle = \langle G, \Psi_g \rangle$; Ψ_g - розв'язок інтегрального рівняння

$$g(y) = \rho \Psi(y) + \int_S \frac{\partial \omega(x,y)}{\partial n_y} \Psi(x) d_x S, \quad y \in S; \quad /6/$$

$\rho = \frac{\omega_n}{z}$, ω_n - площа поверхні одиничної сфери в E^n ; $\omega(x,y)$ - фундаментальний розв'язок рівняння Лапласа в E^n .

Для доведення леми досить показати, що

$$\begin{aligned} \int_{\Omega} \left\langle A, \frac{\partial \omega(x,y)}{\partial n_y} \right\rangle \Delta \Psi(x) dx = \\ = - \left\langle A, \rho \frac{d\Psi}{dn} + \int_S \frac{\partial \omega(x,y)}{\partial n_y} \frac{d\Psi}{dn} d_x S \right\rangle \quad \text{для кожної } \Psi \in \mathcal{D}_0(\bar{\Omega}). \quad /7/ \end{aligned}$$

Дійсно,

$$\int_{\Omega} \left\langle A, \frac{\partial \omega(x,y)}{\partial n_y} \right\rangle \Delta \Psi(x) dx = \left\langle A, \int_{\Omega} \frac{\partial \omega(x,y)}{\partial n_y} \Delta \Psi(x) dx \right\rangle. \quad /8/$$

Розглянемо $\int_{\Omega} \omega(x,z) \Delta \Psi(x) dx = \lim_{\epsilon \rightarrow 0} \int_{\Omega \setminus K_\epsilon} \omega(x,z) \Delta \Psi(x) dx$,

де K_ϵ - паралієлограм з центром у точці z і поверхнею Σ_ϵ . Застосувавши формулу Гріна до області $\Omega \setminus K_\epsilon$ і зробивши граничний перехід при $\epsilon \rightarrow 0$, та врахувавши, що $\Psi \in \mathcal{D}_0(\bar{\Omega})$, одержимо

$$\int_{\Omega} \omega(x,z) \Delta \Psi(x) dx = - \int_S \omega(x,z) \frac{d\Psi}{dn} d_x S - \omega_n \Psi(z). \quad /9/$$

Згідно з /9/ і формулами стрибка нормальної похідної потенціалу простого шару [2]

$$\int_{\Omega} \frac{\partial \omega(x,y)}{\partial n_y} \Delta \Psi(x) dx = - \int_S \frac{\partial \omega(x,y)}{\partial n_y} \frac{d\Psi}{dn} d_x S - \frac{\omega_n}{z} \frac{d\Psi}{dn}. \quad /10/$$

Підставивши /10/ в /8/, остаточно маємо

$$\begin{aligned} \int_{\Omega} \left\langle A, \frac{\partial \omega(x,y)}{\partial n_y} \right\rangle \Delta \Psi(x) dx = \\ = - \left\langle A, \rho \frac{d\Psi}{dn} + \int_S \frac{\partial \omega(x,y)}{\partial n_y} \frac{d\Psi}{dn} \right\rangle \quad \text{для кожної } \Psi \in \mathcal{D}_0(\bar{\Omega}). \end{aligned}$$

Лема доведена.

Нехай $\Gamma(x,y)$ - функція Гріна задачі Діріхле для області Ω .

Визначимо узагальнену функцію U_G за правилом

$$(U_G, \Psi) = \left\langle G, \frac{\partial}{\partial n_y} \int_{\Omega} \Gamma(x,y) \Psi(y) dy \right\rangle \quad \text{для кожної } \Psi \in \mathcal{D}(\bar{\Omega}) \quad /11/$$

а узагальнену функцію U_F за правилом

$$(U_F, \Psi) = \left\langle F, \int_{\Omega} \Gamma(x,y) \Psi(y) dy \right\rangle \quad \text{для кожної } \Psi \in \mathcal{D}(\bar{\Omega}) \quad /12/$$

Легко показати, що U_G, U_F - елементи простору $\mathcal{D}'(\Omega)$. Має місце наступна лема, яка дає представлення розв'язку задачі /11-/12/.

Л е м а 3. Узагальнена функція

$$U = U_G + U_F \quad /13/$$

є розв'язком задачі /11-/12/ в розумінні /3/.

Д о в е д е н н я . Треба показати, що має місце рівність

$$(U_G, \Delta \Psi) + (U_F, \Delta \Psi) - (F, \Psi) = - \left\langle G, \frac{\partial \Psi}{\partial n} \right\rangle \quad \text{для кожної } \Psi \in \mathcal{D}_0(\bar{\Omega}) \quad /14/$$

Згідно /11/ і /12/ маємо

$$(U_G, \Delta \Psi) = - \left\langle G, \frac{\partial \Psi}{\partial n} \right\rangle, \quad \Psi \in \mathcal{D}_0(\bar{\Omega}) \quad /15/$$

$$(U_F, \Delta \Psi) = (F, \Psi), \quad \Psi \in \mathcal{D}_0(\bar{\Omega}). \quad /16/$$

Підставивши /15/ і /16/ в /14/, переконуємось, що лема доведена.

ЛІТЕРАТУРА

1. Гупало Г.С. Про узагальнену задачу Діріхле. -ДАН УРСР, 1966, 843-846.
2. Курант Р. Уравнения с частными производными. М., "Мир", 1964.
3. Szmydt Z. Sui problemi di Dirichlet e di Neumann con dati al contorno generalizzat. -*Atti della Accadem.* Naz. dei Lincei, 32, 867 (1962).

УДК 513.011.3

I.С.КРУК

ТОЧНІСТЬ ОБЧИСЛЕННЯ ЗА НОМОГРАМАМИ ТА СПОСОБИ ЇЇ ЗАБЕЗПЕЧЕННЯ

Поряд з електронно-обчислювальною технікою ще довго для поглиблення праці будуть використовуватись різні обчислювальні прилади і в першу чергу номограмами, виготовлені на звичайному креслярському палері.

Звичайно, обчислення за номограмами носить наближений характер. Відповідь, що знаходиться за номограмою, містить в собі деяку помилку. Оцінка цієї помилки при будь-якому обчисленні, звичайно, бажана, а в деяких випадках просто необхідна.

У цій роботі ставимо за мету вказати: 1/ джерела виникнення помилок при обчисленні за номограмами; 2/ способи оцінки точності обчислення за допомогою номограм, коли розглядати номограми як певний рисунок, накреслений у графічній площині.

Розглядаємо номограму, накреслену в графічній площині, де графічні точки розглядаються як кола достатньо малого радіуса ω , а графічні прямі, як смужки шириной 2ω . [2].

На основі лабораторних досліджень Д.І.Каргін [1] виявив, що величина ω перебуває в межах між 0,08 і 0,13 мм. Помилка відповіді буде визначатися в основному помилками операцій на номограмі при її знаходженні.

Під час побудови номограм, як і при їх читанні, маємо справу з помилками, які вносяться в результат з огляду на розміри реальних /графічних/ точок і прямих, якими операємо при цьому. Одним з істотних джерел виникнення помилок в обчисленні є існування у графічній площині графічно-інцидентних елементів /точок і прямих/.

Дві графічні точки $A(A')$ і $B(B')$ називаються графічно-інцидентними, якщо відстань між відповідними їм евклідовими точками менша або рівна 2ω , тобто, коли $A'B \leq 2\omega$.

Якщо ж $\omega = 0$, тобто $A' \equiv B'$, то такі точки звуться абсолютно інцидентними /рис.1/.

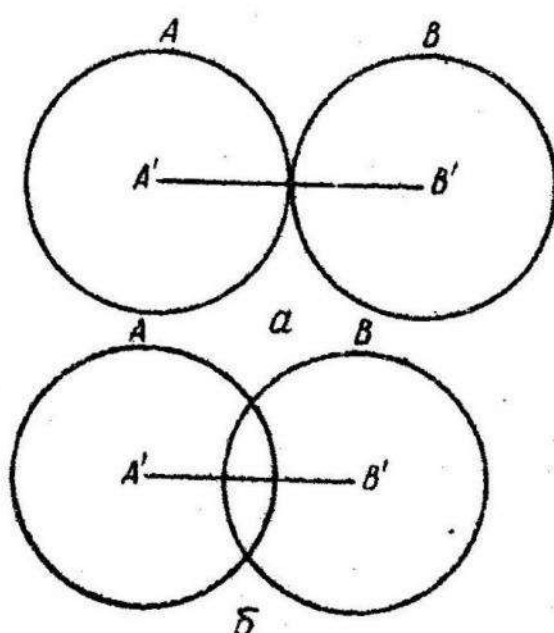


Рис. 1.

Дві графічно-інцидентні точки визначають коло радіуса 2ω з центром в середині евклідового відрізка $A'B'$. Це коло можна назвати первинною помилкою інцидентності двох графічних точок.

Графічна точка $A(A')$ і пряма $\alpha(\alpha')$ називається графічно інцидентними, якщо відстань від евклідової точки A' до евклідової прямої α' не перевищує 2ω , тобто $A'O' \leq 2\omega$. Коли $A' \equiv O'$, то точка A і пряма α звуться абсолютно інцидентними.

Те ж саме можна сказати і про дві графічні прямі або про графічну точку і графічне коло.

Дві графічні прямі $\alpha(\alpha')$ і $\beta(\beta')$ вважаються графічно інцидентними, якщо $\alpha' \parallel \beta'$ і відстань між ними не перевищує 2ω , тобто $O'_1O'_2 \leq 2\omega$. Коли $O'_1 \equiv O'_2$, то прямі звуться абсолютно інцидентними.

Графічне коло $K(K')$ і точка $A(A')$ графічно інцидентні, якщо $A'O' \leq 2\omega$ (рис. 2).

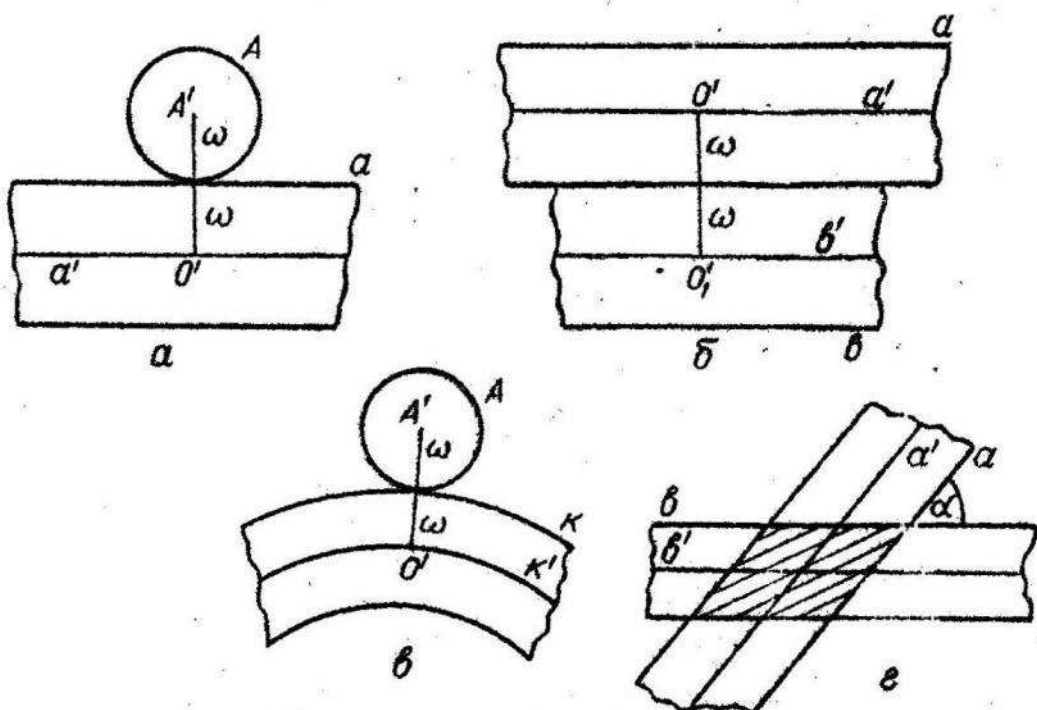


Рис. 2.

При побудовах і користуванні номограмами зустрічається не тільки з первинними помилками, що виникають внаслідок графічної інцидентності елементів, але і з такими, які виникають внаслідок перетину двох графічних прямих, графічної прямої і графічного кола, двох графічних кіл і т.д.

Якщо дві графічні прямі перетинаються, то вони визначають точку, точність позначення якої характеризується площею помилок, форма і величина якої залежить в основному від кута \angle , під яким перетинаються ці прямі /рис.2/.

Якщо позначити площу помилок через S , то

$$S = \frac{4\omega^2}{\sin \angle}.$$

Користуючись даними попереднього розділу, можемо тепер перейти до розгляду питання про точність обчислень за номограмами.

Розглянемо номограму квадратного рівняння $x^2 + px + q = 0$, що складається з трьох шкал, рівняння яких мають вигляд:

$$x_1 = 0, \quad y_1 = mp \quad - \text{рівняння шкали } p,$$

$$x_2 = H, \quad y_2 = nq \quad - \text{рівняння шкали } q,$$

$$x_3 = \frac{H}{1+nx}, \quad y_3 = \frac{-nx^2}{1+nx} \quad - \text{рівняння шкали } x,$$

де m і n - масштабні множники; H - відстань між шкалами.

Перші дві шкали прямолінійні, третя - криволінійна. Схематично ця номограма зображена на рис. 3.

Процес знаходження коренів квадратного рівняння за цією номограмою можна розбити на такі етапи: 1/ за даними значеннями p і q на відповідних шкалах позначити точки; 2/ через ці точки провести пряму; 3/ визначити точку перетину цієї прямої з шкалою x ; 4/ прочитати помітки знайдених точок перетину, які й будуть коренями квадратного рівняння.

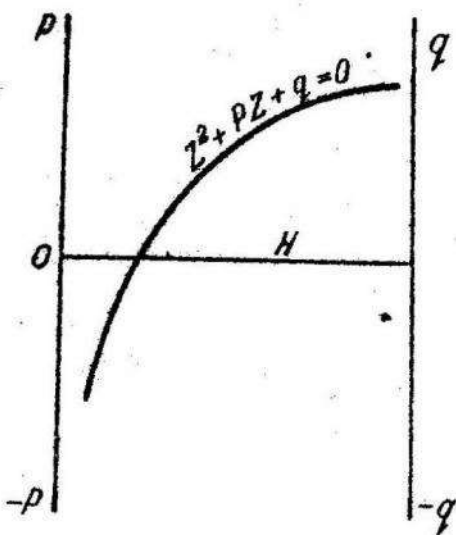


Рис. 3.

Очевидно, що ні один з цих етапів не можна виконати точно. Всі вони виконуються з певними похибками /наблизено/.

Розглянемо кожну з цих операцій окремо і проаналізуємо, як впливає кожна з її похибок на похибку відповіді. На першому етапі виникають такі похибки. При знаходженні точок на шкалах P і q за їх позначками доводиться проводити графічну інтерполяцію. Це треба робити особливо тоді, коли необхідно знайти корені загального квадратного рівняння вигляду $\alpha z^2 + \beta z + c = 0$. Щоб скористатися побудованоюномограмою для знаходження його коренів, його необхідно звести до виду:

$$z^2 + \frac{\beta}{\alpha} z + \frac{c}{\alpha} = 0,$$

тобто $\frac{\beta}{\alpha}$ і $\frac{c}{\alpha}$ здебільшого дробові числа. Розбиття на око поділок між двома штрихами на два, три і так далі частин приводить до геометричної похибки в нанесенні точок поділу, яка дорівнює $(0.2 \pm \omega)/mm$ /рис. 4/. Ця помилка має напрям відповідь шкали. Наявна також помилка в напрямку нормалі до шкали I . Взагалі у графічній пло-

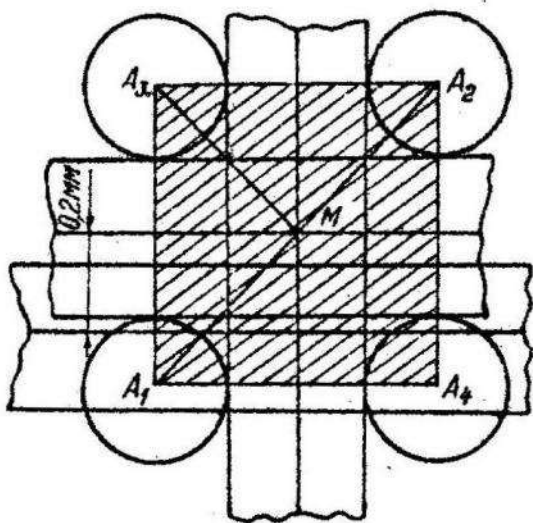


Рис. 4.

щині точність визначення точки на шкалі визначається площею помилок, величина якої дорівнює $2(0,2 \pm \omega) \cdot 4\omega = 8\omega(0,2 \pm \omega)$. Якщо врахувати, що ω змінюється від 0,8 до 0,13 мм, то максимальне значення цієї площини - 0,3 мм.

Розглянемо другий етап нашої задачі - проведення прямої через дві точки. Ця операція тісно пов'язана з попередньою. Від того, як точно вибрана точка на шкалі, залежить точність проведення прямої. Взагалі, всі можливі прямі, які можна одержати тут, розмістяться у смугі ширини $A'_1 A'_2 + 6\omega$ і довжиною AB , де $A'_1 A'_2$ - сума проекцій помилок Δ_1 і Δ_2 , відповідно відстань прямої і відповідної нормалі на діагональ прямокутника з площею помилок, який ми розглядали в першому етапі; AB - відстань між точками. Розглянемо рис. 5. На ньому показані крайні можливі положення прямої відповідей залежно від похибки, яку ми допустили в першому етапі. У $\Delta C_1 D_1 D_2$ висота h є проекцією всіх помилок, допущених у перших двох етапах, на напрямок, перпендикулярний до одного з положень прямої AB . З рис. 5 видно, що

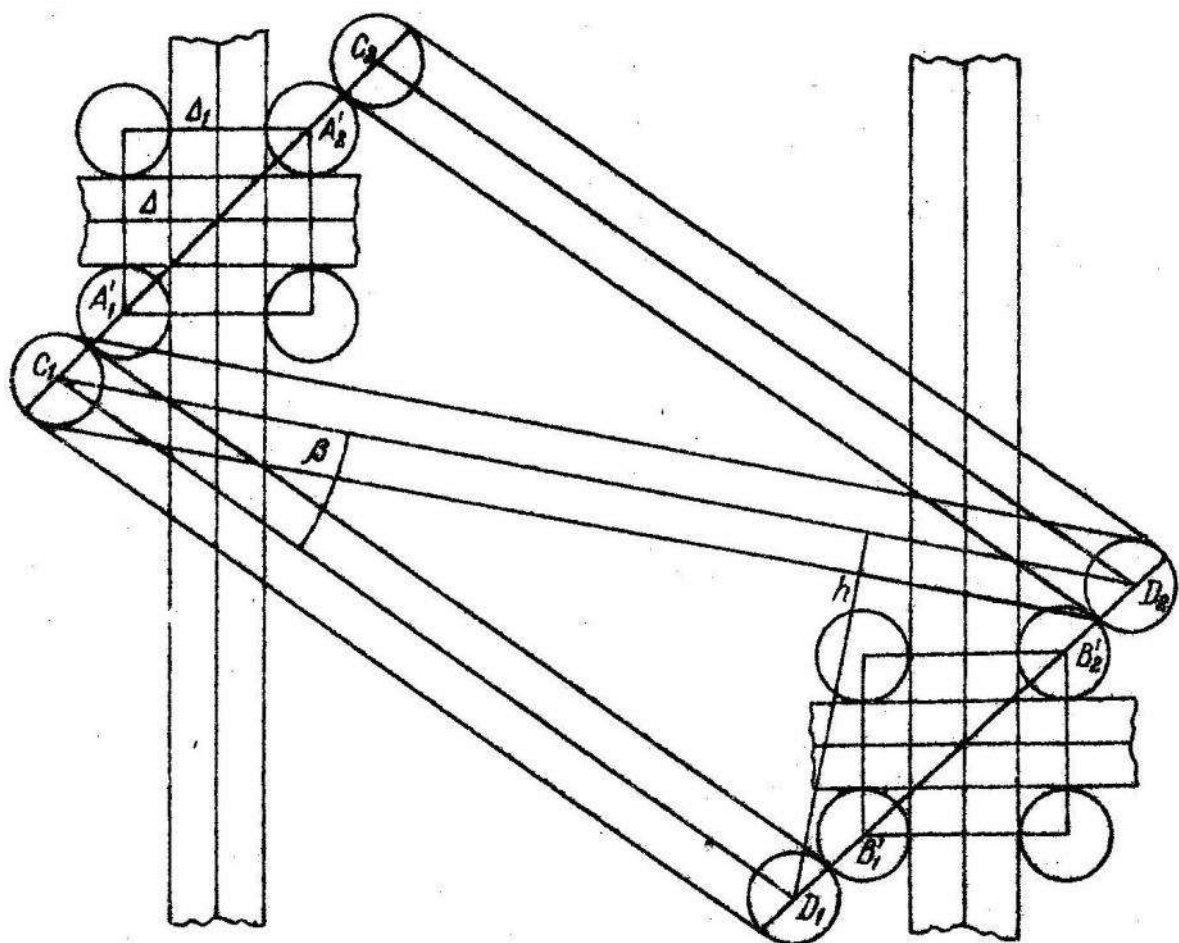


Рис. 5.

$$f = \sin \beta \quad \text{або} \quad h = \ell \sin \beta.$$

Звідси висновок: помилка проведення прямої через дві точки прямо пропорціональна відстані між точками, тобто відстані між шкалами номограми. Чим менша величина h , тим менший кут β , тобто тим більша точність проведення прямої через дві точки.

Розглянемо третій етап - знаходження перетину прямої відповідей з шкалою відповідей. Тут розглядається перетин прямої з кривою. Перетинаючись, вони утворюють фігуру, обмежену двома паралель-

ними прямолінійними відрізками і двома криволінійними. Оскільки це перетин у безмежно малому проміжку, то цю фігуру можемо розглядати як звичайний паралелограм, площа якого

$$S = \frac{4w^2}{3\pi d},$$

де d - кут між прямою і прямолінійною шкалами. Точність визначення точки перетину прямої відповідей з шкалами відповідей визначатиметься цією площею. З формули видно, що коли пряма нормальна до шкали відповідей, то точність визначення точки перетину найбільша, оскільки S має мінімальнє значення. Чим менший кут α , тим точність визначення точки перетину менша. Отже, точність побудови точки перетину прямої відповідей з шкалою відповідей передуває в обернено пропорціональній залежності з кутом їх перетину.

І, нарешті, останній етап - похибка прочитання відповіді на шкалі відповідей приблизно того ж порядку, що й похибка нанесення точки за її поміткою на шкалі, тобто ця похибка, як було доведено вище, приблизно дорівнює 0,3 мм.

Кінцева похибка, яку можна прийняти за суму всіх похибок, що були допущені в процесі відшукання відповіді, дорівнює довжині поділки між дійсною точкою перетину прямої з шкалою відповідей і знайденою точкою. Ціна цієї поділки дає нам похибку відповіді, що одержана за номограмами. Величина такої похибки залежатиме від виду номограми, виду шкал, і для однієї і тієї ж номограми в різних місцях вона може набирати різних значень.

ЛІТЕРАТУРА

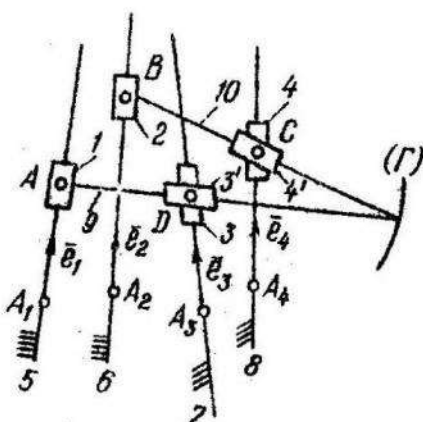
1. Буймолова Г.Л. Дослідження первинних помилок геометрических побудов.- Ученые записки Львовского госуниверситета им. Ив. Франко, серия механико-математическая, 1954, т. XXIX, вып. 1/6/.
2. Пентковский И.В. Номография. М.-Л., Гехиздат, 1949.

УДК 513

С.В.ДЕНІСКО

МЕХАНІЗМИ ДЛЯ УТВОРЕННЯ ПАРАБОЛ

Зображеній на рисунку плоский механізм має таку будову. Повзуни 1, 2, 3, 4 переміщаються відповідно відрізкам 5, 6, 7, 8 так, що $\overline{A_1B} = \lambda \bar{e}_1$, $\overline{A_2C} = \kappa_2 \lambda \bar{e}_2$, $\overline{A_3D} = \kappa_3 \lambda \bar{e}_3$, $\overline{A_4C} = \kappa_4 \lambda \bar{e}_4$. A_1, A_2, A_3, A_4 - зафіксовані точки; $\kappa_2, \kappa_3, \kappa_4$ - сталі; λ - змінна; $\bar{e}_1, \bar{e}_2, \bar{e}_3, \bar{e}_4$ - віртуті. Таке переміщення повзунів 1, 2, 3, 4 можна здійснити за допомогою складного зубчастого механізму [1], у якого вказані повзуни є



зубчастими рейками. Повзуни 3, 3' утворюють обертальну пару \mathcal{D} , а повзуни 4, 4' - обертальну пару \mathcal{C} . Кривошип 9 є напрямною для повзуна 3, а кривошип 10 - повзуна 4. Г очка перетину прямих AD , BC описує криву Γ .

Крива Γ належить параболі тоді і тільки тоді, коли розглянутий механізм задовільняє умови

$$\begin{aligned} \mathcal{G}_2 &= 0, \quad \mathcal{G}, \mathcal{F} = 0, \quad \mathcal{F}_2^2 - 2\rho(\mathcal{F}\mathcal{F}_1 + \mathcal{G}, \mathcal{E}) = 0, \\ \mathcal{E}_2^2 + 2\mathcal{D}_2\mathcal{F}_2 - 2\rho(\mathcal{E}\mathcal{E}_1 + \mathcal{F}_1\mathcal{D} + \mathcal{D}_1\mathcal{F}) &= 0, \\ \mathcal{E}_2\mathcal{F}_2 - \rho(\mathcal{G}, \mathcal{D} + \mathcal{F}_1\mathcal{E} + \mathcal{E}_1\mathcal{F}) &= 0, \quad \mathcal{D}_2\mathcal{E}_2 - \rho(\mathcal{D}_1\mathcal{E} + \mathcal{E}_1\mathcal{D}) = 0, \\ \mathcal{D}_2^2 - 2\rho\mathcal{D}_1\mathcal{D} &= 0. \end{aligned} \quad /1/$$

у рівностях /1/

$$\begin{aligned} \mathcal{D} &= (x_3' - x_1')(x_4^2 - x_2^2) - (x_3^2 - x_1^2)(x_4' - x_2'), \\ \mathcal{D}_1 &= (x_1^2 x_3' - x_1' x_3^2)(x_4' - x_2') - (x_2^2 x_4' - x_2' x_4^2)(x_3' - x_1'), \\ \mathcal{D}_2 &= (x_1^2 x_3' - x_1' x_3^2)(x_4^2 - x_2^2) - (x_2^2 x_4' - x_2' x_4^2)(x_3' - x_1'), \\ \mathcal{E} &= (K_3 e_3^1 - e_1^1)(x_4^2 - x_2^2) + (K_4 e_4^2 - K_2 e_2^2)(x_3' - x_1') - \\ &\quad - (K_3 e_3^2 - e_1^2)(x_4' - x_2') - (K_4 e_4^1 - K_2 e_2^1)(x_3^2 - x_1^2), \\ \mathcal{E}_1 &= (x_3' e_1^2 + x_1^2 K_3 e_3^1 - x_3^2 e_1^1 - x_1' K_3 e_3^2)(x_4' - x_2') + \\ &\quad + (x_1^2 x_3' - x_1' x_3^2)(K_4 e_4^1 - K_2 e_2^1) - (x_4' K_2 e_2^2 + \\ &\quad + x_2^2 K_4 e_4^1 - x_4^2 K_2 e_2^1 - x_2' K_4 e_4^2)(x_3' - x_1') - (x_2^2 x_4' - \\ &\quad - x_2' x_4^2)(K_3 e_3^1 - e_1^1), \quad \mathcal{E}_2 = -(x_4' K_2 e_2^2 + x_2^2 K_4 e_4^1 - x_4^2 K_2 e_2^1 - \\ &\quad - x_2' K_4 e_4^2)(x_3^2 - x_1^2) - (x_2^2 x_4' - x_2' x_4^2)(K_3 e_3^2 - e_1^2) + (x_3' e_1^2 + \\ &\quad + x_1^2 K_3 e_3^1 - x_3^2 e_1^1 - x_1' K_3 e_3^2)(x_4^2 - x_2^2) + (x_1^2 x_3' - x_1' x_3^2)(K_4 e_4^2 - \\ &\quad - K_2 e_2^2), \quad \mathcal{F} = (K_4 e_4^2 - K_2 e_2^2)(K_3 e_3^1 - e_1^1) - (K_3 e_3^2 - e_1^2)(K_4 e_4^1 - \\ &\quad - K_2 e_2^1), \quad \mathcal{F}_1 = K_3(e_1^2 e_3^1 - e_1^1 e_3^2)(x_4' - x_2') + (x_3' e_1^2 + x_1^2 K_3 e_3^1 - \end{aligned}$$

$$\begin{aligned}
& -x_3^2 e_1' - x_1' \kappa_3 e_3^2) (\kappa_4 e_4' - \kappa_2 e_2') - \kappa_2 \kappa_4 (e_2^2 e_4' - \\
& - e_2' e_4^2) (x_3' - x_1') - (x_4' \kappa_2 e_2^2 + x_2^2 \kappa_4 e_4' - x_4^2 \kappa_2 e_2' - \\
& - x_2' \kappa_4 e_4^2) (\kappa_3 e_3' - e_1'), \quad F_2 = (x_3' e_3^2 + x_1' \kappa_3 e_3' - \\
& - x_3^2 e_1' - x_1' \kappa_3 e_3^2) (\kappa_4 e_4^2 - \kappa_2 e_2^2) + \kappa_3 (e_2^2 e_3' - \\
& - e_1' e_3^2) (x_4^2 - x_2^2) - (x_4' \kappa_2 e_2^2 + x_2^2 \kappa_4 e_4' - \\
& - x_4^2 \kappa_2 e_2' - x_2' \kappa_4 e_4^2) (\kappa_3 e_3^2 - e_1^2) - \\
& - \kappa_2 \kappa_4 (e_2^2 e_4' - e_2' e_4^2) (x_3^2 - x_1^2), \\
G_1 &= \kappa_3 (e_2^2 e_3' - e_1' e_3^2) (\kappa_4 e_4' - \kappa_2 e_2') - \\
& - \kappa_2 \kappa_4 (e_2^2 e_4' - e_2' e_4^2) (\kappa_3 e_3' - e_1'), \\
G_2 &= \kappa_3 (e_2^2 e_3' - e_1' e_3^2) (\kappa_4 e_4^2 - \kappa_2 e_2^2) - \\
& - \kappa_2 \kappa_4 (e_2^2 e_4' - e_2' e_4^2) (\kappa_3 e_3^2 - e_1^2),
\end{aligned}$$

причому x_m^i – координати точки A_m , а e_m^i – координати вектора \vec{e}_m відносно прямокутної декартової системи координат x' , x^2 , яка вибрана так, що рівняння параболи у цій системі координат має зиггляд $(x^2)^2 = 2px'$.

З умов /1/ випливають такі твердження.

1. Якщо точка A_1 суміщається з точкою A_3 , а точка A_2 з точкою A_4 , то крива Γ не належить параболі.

Д о в е д е н н я. Нехай крива Γ належить параболі. Тоді з перших двох рівностей системи /1/ матимемо

$$\kappa_3 (e_2^2 e_3' - e_1' e_3^2) (\kappa_4 e_4^2 - \kappa_2 e_2^2) - \kappa_2 \kappa_4 (e_2^2 e_3' - e_2' e_4^2) (\kappa_3 e_3^2 - e_1^2) = 0,$$

$$\kappa_3 (e_2^2 e_3' - e_1' e_3^2) (\kappa_4 e_4' - \kappa_2 e_2') - \kappa_2 \kappa_4 (e_2^2 e_4' - e_2' e_4^2) (\kappa_3 e_3' - e_1') = 0$$

або

$$\kappa_3 (e_2^2 e_3' - e_1' e_3^2) (\kappa_4 e_4^2 - \kappa_2 e_2^2) - \kappa_2 \kappa_4 (e_2^2 e_4' -$$

$$-e_2' e_4^2) (\kappa_3 e_3^2 - e_1^2) = 0, (\kappa_4 e_4^2 - \kappa_2 e_2^2) (\kappa_3 e_3^2 - e_1^2) -$$

$$- (\kappa_3 e_3^2 - e_1^2) (\kappa_4 e_4^2 - \kappa_2 e_2^2) = 0.$$

Згідно з умовами твердження $e_1^2 e_3^2 - e_1' e_3' \neq 0, e_2^2 e_4^2 - e_2' e_4' \neq 0$.

Тому в першому випадку приходимо до висновку, що вектори $\kappa_3 \bar{e}_3 - \bar{e}_1, \kappa_4 \bar{e}_4 - \kappa_2 \bar{e}_2$ колінеарні. Очевидно, це буде і в другому випадку. Отже, в обох випадках для будь-яких значень λ вектори $A\bar{D} = \lambda(\kappa_3 \bar{e}_3 - \bar{e}_1), B\bar{C} = \lambda(\kappa_4 \bar{e}_4 - \kappa_2 \bar{e}_2)$ колінеарні. Це неможливо, так як прямі AD, BC перетинаються.

Суперечність доводить наше твердження.

2. Якщо $\kappa_3 = \kappa_4, \kappa_2 = 1$, а напрямні 7, 8 паралельні напрямній 5, що збігається з напрямною 6, то крива Γ не належить параболі.

Доведення. Нехай крива Γ належить параболі. Тоді згідно з умовами твердження з третьої рівності системи /1/ матимемо $e_1^2 = 0$ або $(x_4^2 - x_3^2)e_1' + (x_3' - x_4')e_1^2 = 0$ і тільки ці випадки.

У першому випадку з п'ятої рівності системи /1/ випливає, що $x_3^2 = x_4^2$. Тому шоста рівність системи /1/ зважаючи на сьому рівність цієї системи набуває вигляду $x_4' - x_3' = \kappa_3(x_2' - x_1')$. А це означає, що механізм відтворює одну і тільки одну точку.

У другому випадку четверта рівність системи /1/ матиме вигляд $x_4' - x_3' = \kappa_3(x_2' - x_1')$. Отже, знову механізм відтворює всього лише одну точку.

Таким чином, кожен з можливих випадків приводить до суперечності, що і доводить наше твердження.

3. Нехай $\kappa_2 = 1, \kappa_3 = \kappa_4$. Нехай напрямна 5, якій паралельні напрямні 6, 7, 8 збігається з віссю параболи $(x^2)^2 = 2\rho x'$, а

точки A_1 , A_2 , A_3 , A_4 - на дотичній до цієї парabolи в її вершині. Крива збігатиметься з вказаною параболою тоді і тільки тоді, коли $x_3' = -\frac{(k-1)(x_2^2)}{2\rho}$, $x_3^2 = (k-1)x_2^2$, $x_4^2 = kx_2^2$.

Доведення. Зважаючи на умови твердження, перша, друга, третя і сьома рівності системи /1/ є тотожності.

З шостої та п'ятої рівностей системи /1/ маємо відповідно $x_4^2 = kx_2^2$, $x_3^2 = (k-1)x_2^2$. Враховуючи це з четвертої рівності системи /1/ знаходимо $x_3' = -\frac{(k-1)(x_2^2)}{2\rho}$.

Твердження доведено.

ЛІТЕРАТУРА

1. Артоболевский И.И. Теория механизмов. М., "Наука", 1967.

УДК 517.946

Л.С.ПАРАСЮК, С.М.ПАРАСЮК

ОДНА КРАЙОВА ЗАДАЧА ДЛЯ ЗМІШАНОГО РІВНЯННЯ З ПАРАМЕТРОМ

Розглядаємо еліптичне диференціальне рівняння другого порядку з виродженням в циліндричних координатах (r, z) з деяким параметром $\mu (0 < \mu < 1)$ вигляду:

$$\frac{\partial^2 u}{\partial r^2} + \frac{1}{z} \frac{\partial u}{\partial z} + z \frac{\partial^2 u}{\partial z^2} + \mu \frac{\partial u}{\partial z} = 0 \quad /1/$$

при крайових умовах на площині виродження $z = 0$

$$\lim_{z \rightarrow 0} u(r, z) = 0, \quad r > a, \quad /2/$$

$$\lim_{z \rightarrow 0} z^\mu \frac{\partial u}{\partial z} = -f(r) \quad r < a. \quad /3/$$

Покажемо, що аналогічно як в [3] задача /1/, /2/, /3/ за допомогою перетворення Ханкеля зводиться до розв'язування парних інтегральних рівнянь.

Позначимо через

$$\tilde{U}(\lambda, z) = \int_z^\infty r U(r, z) J_0(\lambda r) dr$$

трансформанту Ханкеля нульового порядку шуканого розв'язку задачі /1/, /2/, /3/. Тоді функція $\tilde{U}(\lambda, z)$ повинна бути розв'язком рівняння

$$z \frac{d^2 \tilde{U}}{dz^2} + \mu \frac{d\tilde{U}}{dz} - \lambda^2 \tilde{U} = 0. \quad /4/$$

Необхідний розв'язок рівняння /4/ можна зобразити у вигляді

$$\tilde{U}(\lambda, z) = C(\lambda) z^{\nu/2} K_\nu(2\lambda \sqrt{z}),$$

де $K_\nu(2\lambda \sqrt{z})$ – модифікована циліндрична функція або так звана функція Макдональда порядку $\nu = 1-\mu$; $C(\lambda)$ – довільна стала, яка визначається за допомогою краївих умов /2/, /3/.

На основі оберненого перетворення Ханкеля розв'язок задачі /1/, /2/, /3/ можна записати у вигляді

$$U(z, z) = \int_0^\infty \lambda C(\lambda) z^{\frac{1-\mu}{2}} K_{\nu-\mu}(2\lambda \sqrt{z}) J_0(\lambda z) d\lambda. \quad /5/$$

При цьому матимемо

$$z^\mu \frac{\partial U}{\partial z} = - \int_0^\infty \lambda^2 C(\lambda) z^{\frac{\nu-1}{2}} K_{\nu-\mu}(2\lambda \sqrt{z}) J_0(\lambda z) d\lambda. \quad /6/$$

Використовуючи /5/, /6/, а також відому асимптотику функції $K_\nu(x)$

$$K_\nu(x) \approx \frac{x^{\nu-1} \Gamma(\nu)}{x^\nu}, \quad \nu > 0, x \rightarrow 0 \quad /7/$$

для визначення $C(\lambda)$ із умов /2/, /3/ одержуємо такі парні інтегральні рівняння:

$$\int_0^\infty u^{\mu} A(u) J_0(uz) du = 0, \quad \rho > 1, \quad /8/$$

$$\int_0^\infty u^{\mu} A(u) J_0(uz) du = g(\rho), \quad 0 < \rho < 1, \quad /9/$$

де $A(u) = uC\left(\frac{u}{\alpha}\right)$, $\rho = \frac{z}{\alpha}$, $g(\rho) = \frac{2\alpha^{3-\mu} f(z)}{\Gamma(\mu)}$. $\alpha = \mu - 1$; $\beta = 1 - \mu$.

Розв'язавши рівняння /8/, /9/, одержимо значення $C(\lambda)$ у вигляді

$$C(\lambda) = \frac{2^{\mu+1} \alpha^{3-\mu}}{\Gamma(1-\mu) \Gamma(\mu)} \int_0^1 t^{2-\mu} J_{1-\mu}(a\lambda t) dt \int_0^1 f(at) \frac{t dt}{(t-t^2)^{\mu}}. \quad /10/$$

У випадку, якщо $f(z) = C$, де $C = \text{const}$, стала $C(\lambda)$ знаходитьться в явному вигляді

$$C(\lambda) = \frac{2^{\mu} \alpha^{2-\mu} C}{\Gamma(2-\mu) \Gamma(\mu)} J_{2-\mu}(a\lambda), \quad /11/$$

де $J_{2-\mu}(a\lambda)$ — функція Бесселя 1-го роду.

Підставивши /11/ в /5/, одержуємо розв'язок задачі /1/, /2/, /3/ в даному частинному випадку у вигляді

$$U(z, z) = \frac{2^{\mu} \alpha^{2-\mu} z^{\frac{1-\mu}{2}} C}{\Gamma(2-\mu) \Gamma(\mu)} \int_0^\infty K_{1-\mu}(2\lambda \sqrt{z}) J_{2-\mu}(a\lambda) J(a\lambda) d\lambda. \quad /12/$$

Як і в загальному випадку легко показати, що функція /12/ задовільняє рівняння /1/ і крайові умови /2/, /3/ при $f(z) \equiv C$.

ЛІТЕРАТУРА

1. Кратцер А., Френиц В. Трансцендентные функции. М., ИЛ, 1963.
2. Лебедев Н.Н. Специальные функции и их приложение, М.-Л., Физматгиз, 1963.
3. Парасюк Л.С. Об одной граничной задаче для кругового отверстия, дифференциальное уравнение которой вырождается на границе области $Z = 0$. - "Математическая физика", вып. 13, 1973.
4. Парасюк Л.С. О некоторых краевых задачах в полуплоскости для вырождающихся эллиптических уравнений с параметром. - "Математическая физика", вып. 18, 1975.
5. Синедрон И. Преобразование Фурье. М. ИЛ, 1955.

УДК 517.917

Б.В.КОВАЛЬЧУК, Л.М.ЛІСЕВИЧ

ТЕОРЕМИ ЄДИНОСТІ Й АПРОКСИМАЦІЇ ДЛЯ S^2 -МАЙЖЕ
ПЕРІОДИЧНИХ МАТРИЦЬ

1. Поняття згортки і рівність Парсеваля для S^2 -майже періодичних матриць.

Відомо [1], якщо $f(x) \in S^2$ - майже періодична функція, то рівномірно по $x \in (-\infty, +\infty)$ існує функція

$$\varphi(x) = M_t \left\{ f(x+t) \bar{f}(t) \right\} = \lim_{T \rightarrow \infty} \frac{1}{T} \int_0^T f(x+t) \bar{f}(t) dt,$$

яка називається згорткою функції $f(x)$.

Означення. Згорткою S^2 -майже періодичної матриці $F(x) = [f_{jk}(x)]$ назовемо матрицю

$$\Phi(x) = [\varphi_{jk}(x)] = [M_t \{ f_{jk}(x+t) \bar{f}_{jk}(t) \}]. \quad /1.1/$$

Теорема 1.1. Для всякої S^2 -майже періодичної матриці $F(x) = [f_{jk}(x)]$ її згортка $\Phi(x) = [\varphi_{jk}(x)]$ є майже періодичною матрицею бора, причому

$$M \{ \Phi(x) \} = [|M \{ f_{jk}(x) \}|]^2. \quad /1.2/$$

Доведення. Те, що згортка /1.1/ є майже періодичною матрицею Бора, випливає з того, що всі функції

$$\varphi_{jk}(x) = M_t \{ f_{jk}(x+t) \overline{f_{jk}(t)} \}$$

є майже періодичними функціями Бора [1].

Далі, тому що функції $\varphi_{jk}(x)$ існують рівномірно відносно x , то можлива перестановка їх середніх значень по x і по t . А тому на основі властивостей середнього значення одержимо

$$\begin{aligned} M_x \{ \Phi(x) \} &= [M_x \{ \varphi_{jk}(x) \}] = [M_x \{ M_t \{ f_{jk}(x+t) \overline{f_{jk}(t)} \} \}] = \\ &= [M_t \{ \overline{f_{jk}(t)} \cdot M_x \{ f_{jk}(x+t) \} \}] = [M_t \{ \overline{f_{jk}(t)} M_x \{ f_{jk}(x) \} \}] = \\ &= [M_x \{ f_{jk}(x) \} \cdot \overline{M_t \{ f_{jk}(t) \}}] = [|M_x \{ f_{jk}(x) \}|^2]. \end{aligned}$$

На слідок. Якщо $A(\lambda) = [\alpha_{jk}(\lambda)]$ є матричні коефіцієнти Фур"є S^2 - майже періодичної матриці $F(x)$, то для її згортки $\Phi(x)$ матричні коефіцієнти Фур"є мають вигляд $A^*(\lambda) = [|\alpha_{jk}(\lambda)|^2]$.

Теорема 1.2. Для будь-якої S^2 - майже періодичної матриці $(x) = [f_{jk}(x)]$ в рядом Фур"є

$$F(x) \sim \sum_n A_n e^{i \lambda_n x}$$

наявна рівність Парсевала

$$\sum_n \|A_n\|^2 = \|F\|^2. \quad /1.3/$$

Доведення. Тому що ряд із квадратів норм матричних коефіцієнтів Фур"є $A_n = [\alpha_{jk}(\lambda_n)]$ збіжний [2] і для кожної S^2 - майже періодичної функції $f_{jk}(x)$ наявна рівність Парсевала

$$\sum_n |\alpha_{jk}(\lambda_n)|^2 = \|f_{jk}\|^2,$$

то

$$\sum_n \|A_n\|^2 = \sum_n \left(\sum_{j,k} |\alpha_{jk}(\lambda_n)|^2 \right) = \\ = \sum_{j,k} \left(\sum_n |\alpha_{jk}(\lambda_n)|^2 \right) = \sum_{j,k} \|f_{jk}\|^2 = \|F\|^2.$$

2. Теорема єдності для S^P - майже періодичних матриць.

Теорема 2.1. Якщо для S^P - майже періодичної матриці $F(x) = [f_{jk}(x)]$ II матричні коефіцієнти Фур'є $A(\lambda) = [\alpha_{jk}(\lambda)]$ дорівнюють нулю, то така матриця дорівнює нулю майже всюди.

Доведення. Матричні коефіцієнти Фур'є S^P - майже періодичної матриці $F(x)$ мають вигляд

$$A(\lambda) = M \{ F(x) e^{-i\lambda x} \} = [M \{ f_{jk}(x) e^{-i\lambda x} \}].$$

З умови $A(\lambda) = 0$ випливає

$$\alpha_{jk}(\lambda) = M \{ f_{jk}(x) e^{-i\lambda x} \} = 0 \quad (-\infty < \lambda < +\infty).$$

Тоді на основі теореми єдності для S^P - майже періодичних функцій [3] одержимо, що $f_{jk}(x) = 0$ майже всюди для всіх j, k . А це означає, що $F(x) = 0$ майже всюди.

Наслідок. Якщо дві S^P - майже періодичні матриці $F_1(x)$ і $F_2(x)$ мають одинакові ряди Фур'є, то вони співпадають майже всюди.

Теорема 2.2. Якщо для S^P - майже періодичної матриці $F(x)$ II ряд Фур'є

$$F(x) \sim \sum_n A_n e^{i\lambda_n x}$$

/2.1/

збігається рівномірно за S^P - нормою, то його сума дорівнює матриці $F(x)$ майже всюди, тобто

$$F(x) = \sum_n A_n e^{i\lambda_n x} \quad /2.2/$$

Доведення. Рівномірно збіжний за S^P - нормою тригонометричний ряд /2.1/ є рядом Фур'є своєї суми

$$S(x) = \sum_n A_n e^{i\lambda_n x},$$

причому $S(x) \in S^P$ - майже періодичною матрицею [2]. Таким чином, дві S^P - майже періодичні матриці $F(x)$ і $S(x)$ мають однакові ряди Фур'є. А тому на основі теореми єдності вони співпадають майже всюди. Отже, рівність /2.2/ справедлива.

Каслі док. Якщо матричні коефіцієнти ряду Фур'є /2.1/ задовільняють умову

$$\sum_n \|A_n\|_{S^P} < \infty, \quad /2.3/$$

то наявна рівність /2.2/.

3. Теорема апроксимації для S^P - майже періодичних матриць.

Теорема 3.1. Якщо $F(x) \in S^P$ - майже періодична матриця, то для кожного $\epsilon > 0$ можна вказати скінчений тригонометричний многочлен $P_\epsilon(x) = \sum_{n=1}^{N(\epsilon)} C_n e^{i\lambda_n x}$, де $C_n = [C_{jk}^{(n)}]$, що виконується нерівність

$$\|F(x) - P_\epsilon(x)\|_{S^P} < \epsilon. \quad /3.1/$$

Доведення. Нехай $F(x) = [f_{jk}(x)]$ і $P_\epsilon(x) = [P_{jk}^\epsilon(x)]$, де $P_{jk}^\epsilon(x) = \sum_{n=1}^{N(\epsilon)} C_{jk}^{(n)} e^{i\lambda_n x}$, є матрицями виміру $2 \times l$. Відомо [1], що за заданим $\epsilon > 0$ для сукупності S^P - майже періодичних функцій $f_{jk}(x)$ є відносно щільною множиною \mathcal{E} , S^P - майже періодів можна вказати такий скінчений тригонометричний многочлен $P_{jk}^\epsilon(x)$, що

$$\|f_{jk}^{\rho}(x) - P_{jk}^{\epsilon}(x)\|_{S^{\rho}} < \frac{\epsilon}{2\ell}$$

для всіх j, k .

А тому

$$\|F(x) - P_{\epsilon}(x)\|_{S^{\rho}} \leq \sum_{j, k} \|f_{jk}^{\rho}(x) - P_{jk}^{\epsilon}(x)\|_{S^{\rho}} < \epsilon.$$

Нерівність /3.1/ виконана.

З ау в аж е н н я . Апроксимуючий многочлен $P_{\epsilon}(x)$, в загалі кажучи, може містити показники, відмінні від показників Фур"є матриці $F(x)$. Однак, як випливає з [1], за λ_n можна брати показники Фур"є матриці $F(x)$.

Т е о р е м а 3.2. Якщо $F(x) = [f_{jk}^{\rho}(x)]$ є S^{ρ} – майже періодична матриця, то існує послідовність узагальнених тригонометричних многочленів Боннера-Фейєра $B_{B_n}^F(x) = [\widehat{b}_{B_n}^{f_{jk}}(x)]$, де $\widehat{b}_{B_n}^{f_{jk}}(x)$ послідовність тригонометричних многочленів Боннера-Фейєра для кожної функції $f_{jk}^{\rho}(x)$, що

$$\lim_{n \rightarrow \infty} \|F(x) - B_{B_n}^F(x)\|_{S^{\rho}} = 0. \quad /3.2/$$

Це твердження доводиться також на основі аналогічної теореми для S^{ρ} – майже періодичної функції [1].

ЛІ ТЕРА ТУРА

1. Девітан Б.М. Почти периодические функции. М., ГИТГ, 1953.
2. Йтсевич Л.М., Ковалъчук Б.В. Середнє значення і поняття ряду Фур"є для S^{ρ} – майже періодичних матриць. – Вісник Львівського ун-ту, серія механіко-математична, вип. 10, Теоретична та прикладна математика, 1975.
3. A. Besicovitch. Almost periodic functions
Cambridge, 1932.

К.С. КОСТЕНКО

АСИМПТОТИЧНА ПОВЕДІНКА РОЗВ'ЯЗКІВ ЛІНІЙНИХ
ЗВИЧАЙНИХ ДИФЕРЕНЦІАЛЬНИХ РІВНЯНЬ ЧЕТВЕРТОГО ПОРЯДКУ

Для рівняння

$$y''' + P_1(x)y'' + (P_2(x) + \gamma(x))y' + P_3(x)y = 0 \quad /1/$$

наявна така теорема.

Теорема. Нехай у рівнянні /1/ $P_3(x)$ неперервна, а $\gamma(x)$, $P_2(x)$ і $P_1(x) = \lambda \tilde{g}^{-3}(x) \neq 0$ неперервно диференційовні функції відповідно один, два і три рази на інтервалі $x_0 \leq x < \infty$. Нехай також

$$A(x) = \tilde{g}^2(x)(\mu - 5\tilde{g}''(x)\tilde{g}'(x) + \frac{5}{2}\tilde{g}'^2(x)), \quad B(x) = \lambda \tilde{g}^{-3}(x) + A'(x),$$

$$C(x) = (\gamma - \frac{3}{2}\lambda \tilde{g}'(x))\tilde{g}^{-4}(x) + 0,3 A''(x) + (0,3 A(x))^2,$$

$\pm \beta_1$ — дійсні корені рівняння $\beta^6 + 2\mu\beta^4 + (\mu^2 - 4\nu)\beta^2 - \lambda^2 = 0$, де
 μ, λ, ν — довільні сталі, причому $-\alpha_1^2 = \frac{1}{2}(\frac{\beta_1^2}{2} + \mu + \frac{\lambda}{\beta_1}) < 0$, $\alpha_2^2 = \frac{1}{2}(\frac{\beta_1^2}{2} + \mu - \frac{\lambda}{\beta_1}) > 0$.

Тоді за умови

$$\tilde{g}(x) > 0, \lim_{x \rightarrow \infty} \Psi(x, x_0) = \lim_{x \rightarrow \infty} \int_{x_0}^x \tilde{g}^{-1}(t) dt = \infty, \int_{x_0}^{\infty} B(t) dt < \infty, \lim_{x \rightarrow \infty} \Phi_i(x) \tilde{g}^2(x) = 0 \quad (i=2,3,4)$$

$$\text{або } \tilde{g}(x) < 0, \lim_{x \rightarrow \infty} \Psi(x, x_0) = -\infty, \int_{x_0}^{\infty} B(t) dt < 0, \lim_{x \rightarrow \infty} \Phi_i(x) \tilde{g}^2(x) = 0 \quad (i=1,2),$$

$$\begin{aligned} \Phi_1(x, \alpha_1, \alpha_2) &= \Phi_2(x, -\alpha_1, -\alpha_2) = -\alpha_2 \left[(\beta_1 - \alpha_1)^2 + \alpha_2^2 \right] \left[\left(\frac{3}{2} \tilde{g}'' \tilde{g} + \frac{3}{4} \tilde{g}'^2 - (\beta_1 + 2\alpha_1) \tilde{g}' + \left(\frac{\beta_1}{2} + \alpha_1 \right)^2 \right) (A(x) - \right. \\ &\quad \left. - P_1(x)) + \tilde{g} \left(3\tilde{g}' - \beta_1 - 2\alpha_1 \right) \left(\frac{A'(x) + \gamma(x)}{2} - P_1'(x) \right) + \tilde{g}^2 (C(x) + \gamma'(x) - P_3(x) - P_3''(x)) \right] W^{-1}; \end{aligned}$$

$$\begin{aligned} \Phi_3(x) &= -2\alpha_1 \left\{ \left[\frac{3}{2} \left(\beta_1^2 + \frac{\lambda}{\beta_1} \right) \left(\tilde{g}'' \tilde{g} + \frac{1}{2} \tilde{g}'^2 \right) + \beta_1 (2\beta_1^2 + 2\mu - \frac{\lambda}{\beta_1}) \tilde{g}' + \frac{1}{2} \left(\beta_1^4 + \mu \beta_1^2 - \lambda \beta_1 - \frac{\lambda \mu}{\beta_1} + \frac{\lambda^2}{\beta_1^2} \right) \right] (A(x) - \right. \\ &\quad \left. - f_1(x)) + \frac{3}{2} \left(\beta_1^2 + \frac{\lambda}{\beta_1} \right) \tilde{g}' + \beta_1 (2\beta_1^2 + 2\mu - \frac{\lambda}{\beta_1}) \right\} \left[\frac{A'(x) + \gamma(x)}{2} - P_1'(x) + \left(\beta_1^2 + \frac{\lambda}{\beta_1} \right) \tilde{g}^2 (C(x) + \gamma'(x) - \right. \\ &\quad \left. - P_3(x) - P_3''(x)) \right] W^{-1}; \quad \Phi_4(x) = -2\alpha_1 \alpha_2 \left\{ \left[3\beta_1 \left(\tilde{g}'' \tilde{g} + \frac{1}{2} \tilde{g}'^2 \right) - \frac{2\lambda}{\beta_1} \tilde{g}' - \beta_1 (\beta_1^2 + \mu) \right] (A(x) - P_1(x)) + \right. \\ &\quad \left. + 2\tilde{g} \left(3\beta_1 \tilde{g}' - \frac{\lambda}{\beta_1} \right) \left(\frac{A'(x) + \gamma(x)}{2} - P_1'(x) \right) + 2\beta_1 \tilde{g}^2 (C(x) + \gamma'(x) - P_3(x) - P_3''(x)) \right\} W^{-1}; \end{aligned}$$

$$\beta(x) = 4/|\varphi(x)| \max_x [|\Phi_1(x)|, |\Phi_2(x)|, |\Phi_3(x)|, |\Phi_4(x)|], W = 2\alpha_1\alpha_2(2\beta_1^4 + 2\beta_1^2A^2 + \frac{\lambda^2}{\beta_1^2}),$$

рівняння /1/ має фундаментальну систему розв'язків, асимптотичне зображення яких за $x \rightarrow \infty$ дають формулі

$$y_1(x, x_0) = \vartheta^{\frac{3}{2}}(x) \exp\left[\left(\frac{\beta_1}{2} + \alpha_1\right)\Psi(x, x_0)\right] (1 + o(1)), \quad x \rightarrow \infty; \quad /2/$$

$$y_2(x, x_0) = \vartheta^{\frac{3}{2}}(x) \exp\left[\left(\frac{\beta_1}{2} - \alpha_1\right)\Psi(x, x_0)\right] (1 + o(1)), \quad x \rightarrow \infty; \quad /3/$$

$$y_3(x, x_0) = \vartheta^{\frac{3}{2}}(x) \exp\left[-\frac{\beta_1}{2}\Psi(x, x_0)\right] (\cos \alpha_2 \Psi(x, x_0) + o(1)), \quad x \rightarrow \infty; \quad /4/$$

$$y_4(x, x_0) = \vartheta^{\frac{3}{2}}(x) \exp\left[-\frac{\beta_1}{2}\Psi(x, x_0)\right] (\sin \alpha_2 \Psi(x, x_0) + o(1)), \quad x \rightarrow \infty. \quad /5/$$

За тих же умов головні частини асимптотичних формул для перших похідних цієї фундаментальної системи розв'язків одержуються формальними диференціюваннями головних частин формул /2/ - /5/.

Те ж саме наявне для похідних другого і третього порядку цих розв'язків за додаткових умов

$$\lim_{x \rightarrow \infty} (A(x) - P_1(x)) \vartheta^{\frac{3}{2}}(x) = 0$$

$$\lim_{x \rightarrow \infty} (P_1'(x) - r(x)) \vartheta^{\frac{3}{2}}(x) = 0.$$

ЛІТЕРАТУРА

1. Костенко Е.С. Интегрирование в замкнутой форме и асимптотическое поведение решений линейных обыкновенных дифференциальных уравнений третьего порядка. - "Дифференциальные уравнения", 1974, т.10, № 10.

2. Павлов І.А. Асимптотичні властивості розв'язків неавтономних систем диференціальних рівнянь другого порядку. Вид-во КГУ, 1970.

Г.П.ГУВАНОВ, Б.В.КОВАЛЬЧУК

ОЦІНКА ЗАЛИШКУ ПРИ НАБЛИЖЕНИІ ПЕРІОДИЧНИХ ФУНКІЙ ДВОХ
ЗМІННИХ ЗРІЗАНИМИ СЕРЕДНІМИ ВІД ПОЛІНОМІВ, ЩО НАЙЛІПШІ
У ЗАДАНІЙ СИСТЕМІ ТОЧОК

Нехай $H_{\omega_1 \omega_2}$ є клас неперервних $2\mathcal{P}$ - періодичних відносно
кожної змінної x та y функцій $f(x,y)$, які задовольняють умову

$$|f(x_2, y_2) - f(x_1, y_1)| \leq \omega_1(|x_2 - x_1|) + \omega_2(|y_2 - y_1|),$$

де $\omega_1(t)$ і $\omega_2(z)$ - задані опуклі модулі неперервності.

Задається система рівновіддалених точок (x_k, y_ℓ) , де

$$x_k = \frac{k\pi}{m}, y_\ell = \frac{\ell\pi}{n}, k = 1, 2, \dots, m, \ell = 1, 2, \dots, n.$$

Кожній функції $f(x,y)$ з даного класу ставляється у відповідність
зрізані середні арифметичні $\tilde{G}_{mn}^{(pq)}(f; x, y)$ від тригонометричних полі-
номів степеня $(m-1)$ по x і степеня $(n-1)$ по y , які найліпше
наближають неперервну $2\mathcal{P}$ - періодичну відносно x та y функцію
в заданій системі точок.

Такі суми мають вигляд

$$\tilde{G}_{mn}^{(pq)}(f; x, y) = \frac{1}{4mn(p+1)(q+1)} \sum_{k=1}^{2m} \sum_{\ell=1}^{2n} f(x_k, y_\ell) \mathcal{Y}_m^{(p)}(x_k) \mathcal{Y}_n^{(q)}(y_\ell), \quad /1/$$

де

$$\mathcal{Y}_s^{(s)}(t, v) = \sin \frac{2\pi - s - 1}{2}(t_v - t) \sin \frac{s+1}{2}(t_v - t) \cosec^2 \frac{\pi}{2}(t_v - t).$$

Позначимо через $E_{mn}^{(pq)}(H_{\omega_1 \omega_2}; x, y)$ верхню межу відхилень функції
 $f(x,y)$ від поліномів /1/, поширену на весь клас $H_{\omega_1 \omega_2}$, тобто

$$E_{mn}^{(pq)}(H_{\omega_1 \omega_2}; x, y) = \sup_{f \in H_{\omega_1 \omega_2}} |f(x, y) - \tilde{G}_{mn}^{(pq)}(f; x, y)|.$$

Теорема. Для функцій $f(x, y)$ класу $H_{\omega_1 \omega_2}$ справедлива асимптотична рівність

$$\begin{aligned} E_{mn}^{(pq)}(H_{\omega_1 \omega_2}; x, y) &= \frac{2}{\pi^2} |\sin mx \sin ny| \ln \frac{m}{p+1} \ln \frac{n}{q+1} \times \\ &\times \min \left[\omega_1 \left(\frac{p}{m} \right), \omega_2 \left(\frac{q}{n} \right) \right] + \frac{1}{\pi} |\sin mx| \ln \frac{m}{p+1} \omega_1 \left(\frac{p}{m} \right) + \frac{1}{\pi} |\sin ny| \ln \frac{n}{q+1} \times \\ &\times \omega_2 \left(\frac{q}{n} \right) + O \left(|\sin mx| |\sin ny| \ln \frac{mn}{(p+1)(q+1)} \min \left[\omega_1 \left(\frac{p}{m} \right), \omega_2 \left(\frac{q}{n} \right) \right] \right) + \\ &+ O \left(|\sin mx| \omega_1 \left(\frac{p}{m} \right) + |\sin ny| \omega_2 \left(\frac{q}{n} \right) \right), \end{aligned} \quad (2)$$

де $x \neq x_k$, $y \neq y_\ell$.

При доведенні цієї теореми ми опираємося на деякі результати, одержані в роботах [2, 3].

Зauważення. У випадку $\omega_1(t) = Mt^\alpha$, $\omega_2(t) = Nz^\beta$ ($0 < \alpha, \beta \leq 1$) клас таких функцій позначаємо через $H_{MN}^{(\alpha, \beta)}$, де $M, N = \text{const.}$

На класі функцій $H_{MN}^{(\alpha, \beta)}$ справедлива асимптотична рівність

$$\begin{aligned} E_{mn}^{(pq)}(H_{MN}^{(\alpha, \beta)}; x, y) &= \frac{2}{\pi^2} |\sin mx \sin ny| \ln \frac{m}{p+1} \times \\ &\times \ln \frac{n}{q+1} \min \left[M \left(\frac{p}{m} \right)^\alpha, N \left(\frac{q}{n} \right)^\beta \right] + \frac{M}{\pi} |\sin mx| \ln \frac{m}{p+1} \left(\frac{p}{m} \right)^\alpha + \\ &+ \frac{N}{\pi} |\sin ny| \ln \frac{n}{q+1} \left(\frac{q}{n} \right)^\beta + O \left(|\sin mx| |\sin ny| \ln \frac{mn}{(p+1)(q+1)} \right) \times \\ &\times \min \left[\frac{1}{m^\alpha}, \frac{1}{n^\beta} \right] + O \left(\frac{|\sin mx|}{m^\alpha} + \frac{|\sin ny|}{n^\beta} \right), \end{aligned} \quad (3)$$

де $x \neq x_k$, $y \neq y_\ell$.

Аналогічна оцінка при $p=q=0$ для інтерполяційних тригонометричних поліномів з рівновіддаленими вузлами інтерполяції одержана в [1].

ЛІТЕРАТУРА

1. Гаврилюк В.Т. Про наближення функцій двох змінних інтерполяційними поліномами типу сум Фур'є. - ДАН УРСР, 1973, № 4.
2. Губанов Г.П., Ковал'чук Б.В. Оцінка залишку при наближенні періодичних функцій двох змінних поліномами, найкращими в заданій системі точок. - ДАН УРСР, 1966, № 1.
3. Губанов Г.П., Ковал'чук Б.В. Наближення функцій двох змінних середніми сумами від поліномів, найкращих в заданій системі точок. - "Вісник Львівського ун-ту, серія механіко-математична", 1965, вип. 2.

ПРИКЛАДНА МАТЕМАТИКА

УДК 517.55

Г.Г.ЦЕГЕЛИК

ВІДІЛЕННЯ БІСМУГ, ЯКІ НЕ МІСТЯТЬ НУЛІВ ПОДВІЙНИХ РЯДІВ ДІРІХЛЕ

Розглянемо збіжний у деякій повній трубчастій області T_B подвійний ряд Діріхле [1,5]

$$f(z, w) = \sum_{\mu, \nu=0}^{\infty} A_{\mu\nu} \exp(\alpha_{\mu} z + \beta_{\nu} w), \quad /1/$$

де

$$A_{00} \neq 0, 0 = \alpha_0 < \alpha_1 < \dots < \infty, 0 = \beta_0 < \beta_1 < \dots < \infty,$$

$$\lim_{\mu \rightarrow \infty} \frac{\ln \mu}{\alpha_{\mu}} = \lim_{\nu \rightarrow \infty} \frac{\ln \nu}{\beta_{\nu}} = 0.$$

Позначимо через M множину пар індексів (μ, ν) , для яких $A_{\mu\nu} \neq 0$; і зафіксуємо пару індексів $(k, l) \in M$.
 Нехай $|A_{\mu\nu}| = a_{\mu\nu}$, $(\mu, \nu) \in M$ і N - множина пар індексів (μ, l) , для яких $A_{\mu l} = 0$ і хоч би для одного індекса ν при фіксованому μ $A_{\mu\nu} \neq 0$ ($\nu \neq l, \mu \neq k$). Комній парі індексів $(\mu, l) \in N$ ставимо у відповідність довільні додатні числа $\alpha_{\mu l}$ і $\beta_{\mu l}$.

Виберемо довільну послідовність додатних чисел /параметрів/
 $\{\delta_{\mu\nu}\}$, яка задовільняє умову

$$\sum_{\substack{(\mu,\nu) \in M \\ (\mu,\nu) \neq (k,l)}} \delta_{\mu\nu} = \delta_{kl}. \quad /2/$$

Приймо
 $M \cup N = E$

$$C_{\mu l}(k,l) = \left(\frac{\delta_{kl}}{\delta_{\mu l}} \frac{c_{\mu l}}{c_{kl}} \right)^{\frac{1}{\alpha_k - \alpha_\mu}}, \quad (\mu, l) \in E,$$

$$d_{\mu\nu}(k,l) = \left(\frac{\delta_{kl}}{\delta_{\mu\nu}} \frac{c_{\mu\nu}}{c_{kl}} \right)^{\frac{1}{\beta_l - \beta_\nu}}, \quad (\mu, \nu) \in E.$$

Нехай

$$z_1 = \max_{\mu < k} C_{\mu l}(k, l), \quad R_1 = \inf_{\mu > k} C_{\mu l}(k, l),$$

$$z_2 = \max_{\nu < l} d_{\mu\nu}(k, l), \quad R_2 = \inf_{\nu > l} d_{\mu\nu}(k, l).$$

Теорема 1. Якщо при $k \cdot l \neq 0$ існує такий набір параметрів $\{\delta_{\mu\nu}\}$, $(\mu, \nu) \in M$, який задовільняє умову /2/, що $R_1 > z_1, R_2 > z_2$, то ряд Діріхле /1/ не перетворюється в нуль у бісмузі

$$\{ \ln z_1 \leq \operatorname{Re}(z) \leq \ln R_1, \ln z_2 \leq \operatorname{Re}(w) \leq \ln R_2 \}.$$

Теорема 2. Якщо $k = l = 0$, то завжди можна вказати такий набір параметрів $\{\delta_{\mu\nu}\}$, $(\mu, \nu) \in M$, який задовільняє умову /2/, при якому ряд Діріхле /1/ не перетворюється в нуль в області

$$\{ -\infty < \operatorname{Re}(z) < \ln R_1, -\infty < \operatorname{Re}(w) < \ln R_2 \}.$$

Методика доведення теорем аналогічна як у [2,3].

При $k=0, l \neq 0$ і $k \neq 0, l=0$ теорема 1 залишається справедливим, однак у першому випадку смуга $\ln z_1 \leq \operatorname{Re}(z) \leq \ln R_1$ заміниться півплощиною $-\infty < \operatorname{Re}(z) < \ln R_1$, а в другому випадку смуга $\ln z_2 \leq \operatorname{Re}(w) \leq \ln R_2$ заміниться півплощиною $-\infty < \operatorname{Re}(w) < \ln R_2$.

Слід зауважити, що вперше аналогічні теореми для подвійних рядів Діріхле розглядалися в [4]. Для їх знаходження використовували апарат мажорант і діаграм Ньютона.

Якщо розглядати поліном Діріхле від двох комплексних змінних, то теорема 1 для нього залишається справедливою. Однак у випадку поліному Діріхле завжди можна виділити від двох до восьми "максимальних" областей, в яких цей поліном не перетворюється в нуль.

Приклад 1. Нехай

$$f(z, w) = \sum_{\mu, \nu=0}^2 A_{\mu\nu} \exp(\alpha_\mu z + \beta_\nu w),$$

де $|A_{00}| = |A_{20}| = |A_{02}| = |A_{22}| = 0,5$, $|A_{10}| = |A_{01}| = |A_{21}| = |A_{12}| = 1$,

$$|A_{11}| = 16, \alpha_0 = \beta_0 = 0, \alpha_1 = \beta_1 = 0,5, \alpha_2 = \beta_2 = 1.$$

Покладемо $\kappa = l = 1$, $\gamma_{00} = \gamma_{10} = \gamma_{20} = \gamma_{01} = \gamma_{21} = \gamma_{02} = \gamma_{12} = \gamma_{22} = \frac{1}{8}$, $\gamma_{11} = 1$. Тоді на основі теореми 1 одержуємо, що $f(z, w)$ не перетворюється в нуль у бісмузі

$$\{-2\ln 2 \leq \operatorname{Re}(z) \leq 2\ln 2, -2\ln 2 \leq \operatorname{Re}(w) \leq 2\ln 2\}.$$

Приклад 2. Нехай

$$f(z, w) = \sum_{\mu, \nu=0}^1 A_{\mu\nu} \exp(\alpha_\mu z + \beta_\nu w),$$

де $|A_{\mu\nu}| = 1$, $(\mu, \nu = 0, 1)$, $\alpha_0 = \beta_0 = 0$, $\alpha_1 = \beta_1 = 1$.

Покладемо $\gamma_{kl} = 1$, $\gamma_{\mu\nu} = \frac{1}{3}$, $(\mu, \nu) \neq (k, l)$. Тоді при різних $\kappa = l$ одержуємо, що $f(z, w)$ не перетворюється в нуль в областях

$$\{-\infty < \operatorname{Re}(z) < -\ln 3, -\infty < \operatorname{Re}(w) < -\ln 3\},$$

$$\{\ln 3 < \operatorname{Re}(z) < \infty, -\infty < \operatorname{Re}(w) < -\ln 3\},$$

$$\{-\infty < \operatorname{Re}(z) < -\ln 3, \ln 3 < \operatorname{Re}(w) < \infty\},$$

$$\{\ln 3 < \operatorname{Re}(z) < \infty, \ln 3 < \operatorname{Re}(w) < \infty\}.$$

ЛІТЕРАТУРА

1. Громов В.П. Кратные ряды полиномов Дирихле. - "Сибирский математический журнал", 1969, X, № 3.
2. Костовский А.Н., Цеголик Г.Г. О локализации решений системы двух нелинейных уравнений с двумя неизвестными с помощью параметров. - "Вычислительная и прикладная математика", 1969, вып. 7.
3. Цеголик Г.Г. Виділення смуг, в яких поліноми і ряди Діріхле не перетворюються в нуль. - "Вісник Львівського ун-ту, сер. механіко-математична", 1972, вип. 7.
4. Чулак И.И. Асимптотические свойства мажоранты и диаграммы Ньютона функций двух комплексных переменных и их приложения. Автореф. канд. дисс. Львов, 1972.
5. Artemiades Nicolas. Sur les séries de Dirichlet à deux variables. - Bull. sci. math., 1953, 77, mars - avril.

УДК 519.21

І.Д.КВІТ

ПРИСКОРЕННА ЗМІНА ВІДБИТТА

1. Відбиття додатно значної випадкової змінної. Нехай додатно ззначна випадкова змінна
 ξ має функцію розподілу

$$F(t), t > 0; F(0) = 0; \int_0^\infty dF(t) = 1. \quad /1/$$

З обмеженості інтеграла /1/ випливає існування таких додатних стаціонарних інтегральних перетворень

$$\Psi(z) = \int t^{z-1} dF(t), \quad (z = x + iy, i = \sqrt{-1}), \quad /2/$$

абсолютно збігається в смузі

$$1 - \alpha < x < 1 + \beta, \quad (\alpha > 0, \beta > 0), \quad /3/$$

паралельний до осі ординат. Перетворення /2/ назовемо відбитт

таким додатнозначної випадкової змінної ξ з функцією розподілу /1/. Відбиття /2/ є аналітичною функцією принаймні в смузі /3/. Наведемо деякі приклади додатнозначних випадкових змінних та їх відбить:

| Додатнозначна випадкова змінна, ξ | Функція розподілу, $F(t)$ | Відбиття, $\varphi(z)$ |
|--|---|--|
| 1 | 2 | 3 |
| Мономна | $\begin{cases} 0, & t < 0, \\ t^d, & 0 \leq t < 1, d > 0, \\ 1, & t \geq 1 \end{cases}$ | $\frac{d}{z+d-1}, 1-d < \operatorname{Re} z \quad /4/$ |
| Модуль змінної Коті | $\begin{cases} 0, & t < 0, \\ \frac{2}{\pi} \arct g t, & t \geq 0 \end{cases}$ | $\sin \frac{\pi z}{2}, 0 < \operatorname{Re} z < 2 \quad /5/$ |
| Експонентна | $\begin{cases} 0, & t < 0, \\ 1 - e^{-t}, & t \geq 0 \end{cases}$ | $\Gamma(z), 0 < \operatorname{Re} z \quad /6/$ |
| Бета-один-/1, d/ | $\begin{cases} 0, & t < 0, \\ 1 - (1-t)^d, & 0 \leq t < 1, d > 0 \\ 1, & t \geq 1 \end{cases}$ | $dB(z, d), 0 < \operatorname{Re} z \quad /7/$ |
| Дискретний фактор бозонів | $\begin{cases} 0, & t < 0 \\ 1 - \sum_{j=1}^K \frac{1}{j^{d+1}} \xi(j+1), & d > 0, \\ \frac{1}{K+1} \leq t < \frac{1}{K}, & (K=1, 2, \dots) \\ 1, & t \geq 1 \end{cases}$ | $\frac{\xi(z+d)}{\xi(d+1)}, 1-d < \operatorname{Re} z \quad /8/$ |

2. Прискорено змінні функції. Нехай функція $f(x)$ буде задана та неперервна на інтервалі (a, b) . Для кожних двох точок x_1, x_2 цього інтервалу $a < x_1 < x_2 < b$ знайдемо добуток значень функції у цих точках $f(x_1)f(x_2)$ та квадрат функції в середньому з цих точок $f^2\left(\frac{x_1+x_2}{2}\right)$. Будемо вважати, що функція $f(x)$ прискорено змінюється на

(a, b) , якщо виконується функціональна нерівність

$$f^2\left(\frac{x_1+x_2}{2}\right) < f(x_1)f(x_2), \quad a < x_1 < x_2 < b. \quad /9/$$

Коли заходить протилежна нерівність, то $f(x)$ сповільнено змінюється ; при знакові рівності $f(x)$ рівномірно змінюється . Наприклад, функція $f(x)=x^{-d}$, ($d > 0$) , прискорено змінюється на додатній півосі $x > 0$; функція $f(x)=a^x$, ($a > 0$) рівномірно змінюється на всій осі $-\infty < x < \infty$; функція $f(x)=x^\alpha$, ($\alpha > 0$) сповільнено змінюється на додатній півосі $x > 0$.

З означення /9/ випливають наступні властивості:

1. Сума та добуток прискорено змінних функцій є прискорено змінна функція.

2. Прискорено змінна в деякому інтервалі функція після лінійного перетворення її аргументу залишається прискорено змінною у відповідному інтервалі.

3. Теорема . Для того щоб неперервна в смузі $1-\alpha < x < 1+\beta$, ($\alpha > 0, \beta > 0$) функція $\Psi(x)$ комплексної змінної $\xi = x + iy$, для якої $\Psi(1) = z$, була відбиттям додатнозначної випадкової змінної

ξ , необхідно та досить , щоб $\Psi(x)$ прискорено змінювалася на інтервалі $(1-\alpha, 1+\beta)$.

На обхідність . Нехай додатнозначна випадкова змінна ξ має функцію розподілу /1/ та відбиття /2/ в смузі /3/. Очевидно, що відбиття /2/ в смузі /3/ є неперервна функція та при $\xi=1$ приймає значення 1, $\Psi(1)=z$. Покажемо, що $\Psi(x)$ прискорено змінюється на інтервалі $(1-\alpha, 1+\beta)$.

Справді, при довільних дійсних U та V , які неодночасно дорівнюють нулю, для функції розподілу /1/ маємо строгу нерівність

$$\int_{-\infty}^{\infty} \{ut^{\frac{x_1-u}{2}} + vt^{\frac{x_2-u}{2}}\}^2 dF(t) > 0, \quad 1-\alpha < x_1 < x_2 < 1+\beta. \quad /10/$$

У термінах відбиття /2/ нерівність /10/ набуває вигляду

$$U^2\varphi(x_1) + 2UUV\left(\frac{x_1+x_2}{2}\right) + U^2\varphi(x_2) > 0, \quad 1-\alpha < x_1 < x_2 < 1+\beta. \quad /11/$$

Із додатної означеності останньої квадратичної форми випливає нерівність

$$\varphi\left(\frac{x_1+x_2}{2}\right) < \varphi(x_1)\varphi(x_2), \quad 1-\alpha < x_1 < x_2 < 1+\beta, \quad /12/$$

що за означенням /9/ характеризує прискорену зміну функції $\varphi(x)$ на інтервалі $(1-\alpha, 1+\beta)$.

Достатність. Нехай неперервна в смислі $1-\alpha < \operatorname{Re} z < 1+\beta$ функція $\varphi(z)$, для якої $\varphi(1) = 1$, задовільняє функціональну нерівність /12/. Тоді $\varphi(z)$ є відбиттям деякої додатнозначної випадкової змінної ξ .

Дійсно, нерівності /12/ відповідає додатно означенна квадратична форма /11/, де U та V - довільні дійсні числа, які неодночасно дорівнюють нулю. Хай у квадратичної формі /11/ $U=0, V=1, x_2=x$, де $1-\alpha < x < 1+\beta$. Тоді одержимо нерівність

$$\varphi(x) > 0.$$

Отже, функція $\varphi(x)$ неперервна та додатна на інтервалі $1-\alpha < x < 1+\beta$. Можемо вважати, що $\varphi(x)$ представляє момент маси порядку x^{-1} при кожному x в інтервалу $(1-\alpha, 1+\beta)$. Такий момент можна зобразити за допомогою інтеграла Стільт'єса у вигляді /порівн. [1] /

$$\varphi(x) = \int_0^\infty t^{x-1} dF(t),$$

де $F(t)$ - функція розподілу маси /неспадна функція, неперервна справа та $F(0) = 0$ /. Оскільки за умовою $\varphi(1) = 1$, то $\int_0^\infty dF(t) = 1$. Таким чином, $F(t)$ - функція розподілу імовірностей деякої додатнозначної випадкової змінної ξ і отже, $\varphi(z)$ її відбиття.

Доведена теорема свідчить про те, що множина відбить додатно-значних випадкових змінних еквівалентна класові функцій, що прискорено змінюються в околі одиниці та набувають значення один у точці один. Функціональна нерівність /12/ переходить для кожного відбиття /2/ у конкретну нерівність. Наприклад, відбиття /5/, /7/ і /8/ та функціональна нерівність /12/ дають змогу записати такі нерівності:

для функції синус

$$\sin \frac{x_1}{2} \sin \frac{x_2}{2} < \sin^2 \frac{x_1 + x_2}{4}, \quad 0 < x_1 < x_2 < 2;$$

для функції бета, як функції першого аргументу

$$B^2\left(\frac{x_1 + x_2}{2}, d\right) < B(x_1, d)B(x_2, d), \quad 0 < x_1 < x_2;$$

для дзета-функції Рімана

$$\zeta^2\left(\frac{x_1 + x_2}{2} + d\right) < \zeta(x_1 + d)\zeta(x_2 + d), \quad -d < x_1 < x_2.$$

Отже, всі ці функції прискорено змінюються на вказаних інтервалах.

4. Наслідки. 1/ Якщо додатно-значна випадкова змінна має початкові моменти

$$m_j = \int_0^\infty t^j dF(t), \quad (j=1, 2, \dots), \quad /13/$$

то вони задовільняють нерівність

$$m_1 < m_2^{\frac{1}{2}} < m_3^{\frac{1}{3}} < m_4^{\frac{1}{4}} < \dots \quad /14/$$

Справді, хай у нерівності /12/ $x_1 = j, x_2 = j+2$. Тоді дістаемо нерівність

$$\Upsilon^j(j+1) < \Upsilon^j(j)\Upsilon^j(j+2).$$

Піднесемо останню нерівність до j -го степеня,

$$\Upsilon^{2j}(j+1) < \Upsilon^j(j)\Upsilon^j(j+2),$$

і приймемо в результаті послідовно $j=1, 2, \dots, j$. Перемножимо стороною всі так одержані j нерівностей. Одержимо нерівність

$$\Upsilon^{2j}(j+1) < \Upsilon^{j-j}(j+1)\Upsilon^j(j+2),$$

або остаточно

$$\varphi^{\frac{f}{j}}(j+1) < \varphi^{\frac{f}{j+1}}(j+2), \quad (j=1,2,\dots).$$

/15/

Оскільки є порівняння /13/ і /2/ маємо

$$m_j = \varphi(j+1), \quad (j=1,2,\dots),$$

то нерівність /15/ переходить у нерівність

$$m_j^{\frac{f}{j}} < m_{j+1}^{\frac{f}{j+1}}, \quad (j=1,2,\dots),$$

/16/

тобто, в нерівність /14/. Наприклад, для експонентного розподілу /6/ властивість початкових моментів /16/ набуває вигляду

$$\sqrt{j!} < \sqrt[j+1]{(j+1)!}, \quad (j=1,2,\dots).$$

Із прискореної зміни /12/ відбиття /2/ на інтервалі /3/ випливає логарифмічна випуклість функції $\varphi(x)$ на інтервалі /3/.

Дійсно, хай у /12/ $x_1 = x, x_2 = x + 2\Delta, \Delta > 0$. Тоді одержуємо нерівність

$$\varphi^2(x+\Delta) < \varphi(x)\varphi(x+2\Delta).$$

Додамо до обидвох сторін останньої нерівності вираз

$$-2\varphi(x+\Delta)\varphi(x) + \varphi^2(x)$$

і результат поділимо на Δ^2 . Дістаємо нерівність

$$\left[\frac{\varphi(x+\Delta) - \varphi(x)}{\Delta} \right]^2 < \varphi(x) \frac{\varphi(x+2\Delta) - 2\varphi(x+\Delta) + \varphi(x)}{\Delta^2}.$$

Звідси при $\Delta \rightarrow 0$ формально маємо нерівність

$$[\varphi'(x)]^2 \leq \varphi(x)\varphi''(x),$$

/17/

яка разом з нерівністю $\varphi(x) > 0$ характеризує логарифмічну випуклість відбиття /2/ на інтервалі /3/. Існування похідних, що виступають у нерівності /17/, випливає з аналітичності відбиття /2/ в смузі /3/. Відбиття /6/, /7/ і /8/ та функціональна нерівність /17/ дають змогу записати відповідні нерівності для гама-, бета- і дзета- функції.

ЛІТЕРАТУРА

1. Квіт І.Д. Характеристичні функції. Вид-во Львів.ун-ту, 1972.

М.Я.БАРТИШ

ДЕЯКІ МЕТОДИ РОЗВ'ЯЗУВАННЯ НЕЛІНІЙНИХ
ОПЕРАТОРНИХ РІВНЯНЬ

Розглянемо рівняння

$$P(x) = 0,$$

/1/

де P ~ оператор, що діє в банахового простору X в простір Y того ж типу. Для розв'язування рівняння /1/ розглянемо однокроковий метод, коли послідовність $\{x_n\}$ визначена за формуловою

$$x_{n+1} = x_n - Q(x_n), \quad n=0,1,2,\dots, \quad /2/$$

/2/

де $Q(x)$ ~ деякий оператор, що діє в X в X .

Теорема 1. Нехай $x_0 \in X$, $S = \{x : \|x - x_0\| < r\}$ і на S виконуються умови

1. Оператор $P(x)$ диференційовний по Фреше;

2. Похідна $P'(x)$ задовільняє умову Гельдера

$$\|P'(x) - P'(y)\| \leq L \|x - y\|^{\alpha}, \quad \alpha \leq 1;$$

$$3. \|P(x) - P(y)\| \leq \gamma \|P(x)\|, \quad \gamma < 1;$$

$$4. \|Q(x)\| \leq \lambda \|P(x)\|;$$

$$5. \gamma + \frac{L\lambda^2}{1-\lambda} \|P(x_0)\|^{\alpha} < 1.$$

Тоді рівняння /1/ має в S ($r = (\sum_{i=1}^m \delta_i^{\alpha} + \delta^{\alpha} \frac{\sigma_i}{1-\sigma_i}) \lambda \|P(x_0)\|$) розв'язок x^* , до якого збігається послідовність $\{x_n\}$, визначена за /2/, причому для $K \leq m$, де m визначається в умові

$$\gamma \|P(x_m)\|^{\alpha} < \gamma \leq \gamma \|P(x_{m-1})\|^{\alpha},$$

$$6. \|x_k - x^*\| \leq (\sum_{i=k}^m \delta_i^{\alpha} + \delta^{\alpha} \frac{\sigma_i}{1-\sigma_i}) \lambda \|P(x_0)\|, \quad /3/$$

а для $K > m$

$$7. \|x_K - x^*\| \leq \lambda \frac{\sigma_i^{K-m}}{1-\sigma_i} \delta^{\alpha} \|P(x_0)\|, \quad /4/$$

де

$$\sigma_i = (\gamma + \frac{L\lambda^2}{1-\lambda}) \|P(x_0)\|^{\alpha}, \quad \sigma_i = \gamma + \frac{L\lambda^2}{1-\lambda} \|P(x_m)\|^{\alpha}.$$

Доведення. Використавши формулу [2]

$$P(x_{n+1}) = P(x_n) + \int P'(x_n + t(x_{n+1} - x_n))(x_{n+1} - x_n) dt$$

і умови теореми, одержимо

$$\|P(x_{n+1})\| \leq (\gamma + \frac{L\lambda^2}{1+\lambda}) \|P(x_n)\|^{\lambda} \|P(x_n)\| \quad /5/$$

або

$$\|P(x_{n+1})\| \leq \begin{cases} (\delta_1 + \frac{L\lambda^2}{1+\lambda}) \|P(x_n)\|^{\lambda+1} & n < m, \\ (\gamma + \frac{L\lambda^2}{1+\lambda}) \|P(x_n)\|^{\lambda} \|P(x_n)\| & n \geq m. \end{cases} \quad /6/$$

З /2/, використовуючи умову 4 теореми 1 і оцінку /6/, одержуємо

$$\|x_{n+1} - x_n\| \leq \begin{cases} \lambda \delta_1^{\frac{(1+\lambda)^{n-1}}{\lambda}} \|P(x_0)\| & n < m, \\ \lambda \delta_1^{\frac{(1+\lambda)^{m-1}}{\lambda}} \delta_1^{n-m} \|P(x_0)\| & n \geq m, \end{cases} \quad /7/$$

для $\rho > 0$, $n > m$ наявна оцінка

$$\|x_{n+p} - x_n\| \leq \lambda \delta_1^{\frac{(1+\lambda)^{n-1}}{\lambda}} \delta_1^{n-m} (1 - \delta_1^{-\rho}) \|P(x_0)\|.$$

Отже, послідовність $\{x_n\}$ фундаментальна, існує $x^* = \lim_{n \rightarrow \infty} x_n$, причому $P(x^*) = 0$. З /7/ можна показати справедливість оцінок /3/, /4/, а також умову, що всі $x_n \in S$ і $x^* \in S$.

Теорема доведена.

Введемо позначення $\sum_{i=n}^{\infty} \delta_i^{\frac{(1+\lambda)^{i-1}}{\lambda}} = H_n^{\lambda}(\delta)$.

Теорема 2. Нехай $x_0 \in X$, $S = \{x : \|x - x_0\| \leq \rho\}$ і на S виконуються умови:

1. умови 1-2 теореми 1;
2. $\|P(x) - P'(x) Q(x)\| \leq \gamma \|P(x)\|^{1+\lambda}$;
3. $\|Q(x)\| \leq \lambda \|P(x)\|$;
4. $\delta = (\gamma + \frac{L\lambda^2}{1+\lambda}) \|P(x_0)\|^{\lambda} < 1$.

Тоді рівняння /1/ має в S ($\rho = \lambda H_0^{\lambda}(\delta) \|P(x_0)\|$) розв'язок x^* , до якого збігається послідовність $\{x_n\}$, визначена за формулой /2/.

причому

$$\|x_n - x^*\| \leq \lambda H_n^\alpha(\delta) \|P(x_0)\|. \quad /8/$$

Доведення аналогічне доведенню теореми .

П р и м і т к а 1. Доведені теореми є підсиленням раніше відомих результатів про збіжність методів типу /2/, а також теорема 1 підсилює теорему 1 з [4] .

П р и м і т к а 2. Теореми 1,2 можна розглядати як твердження про стійкість методу /2/. Дані теореми дають можливість визначити допустиму похибку обчислення $Q(x)$ на кожному кроці ітерації при умові збереження максимально можливого порядку збіжності.

Розглянемо збурений аналог методу /2/, який запишемо так:

$$x_{n+1} = x_n - Q(x_n) - V(x_n) \quad n=0,1,2,\dots \quad /9/$$

Т е о р е м а 3. Нехай $x_0 \in X$, $S = \{x : \|x - x_0\| \leq \rho\}$ на S виконуються умови:

1. умови 1-3 теореми 2;
2. $\|V(x)\| \leq f_2 \|P(x)\|$, $\|P'(x) V(x)\| \leq f_1 \|P(x)\|^{1+\delta}$;
3. $\delta = (f_1 + f_2 + \frac{L(\lambda + \delta_0)^2}{1 + \delta}) \|P(x_0)\|^{\delta} < 1$.

Тоді рівняння /1/ має в S ($\rho = \lambda H_0^\alpha(\delta) \|P(x_0)\|$) розв'язок x^* , до якого збігається послідовність $\{x_n\}$, одержана за /9/, причому

$$\|x_n - x^*\| \leq \lambda H_n^\alpha(\delta) \|P(x_0)\|.$$

П р и м і т к а 3. Теорема 3 дає можливість розглядати методи типу Ньютона-Канторовича /різницевий аналог, Стефенсона, запропонований В.А.Курчатовим [3] і інші/ другого та нижчого порядку збіжності як збурення методу Ньютона - Канторовича [1].

П р и м і т к а 4. Аналогічні теореми мають місце при виконанні умов

$$\|P(x) - P'(x) Q(x)\| \leq f \|P(x)\|,$$

$$\delta = f_1 + f_2 + \frac{L(\lambda + \delta_0)^2}{1 + \delta} \|P(x_0)\|^{\delta} < 1.$$

При використанні методів /2/ можливі випадки, коли в точці x_0 умова 4 теореми 2 не виконується, тобто має місце нерівність $(f + \frac{\lambda}{1+\lambda}) \|P(x_0)\|^d \geq 1$, у таких випадках послідовність $\{x_n\}$ розбіжна.

Розглянемо модифікацію формули /2/, що саме

$$x_{n+1} = x_n - \nu_n Q(x_n) \quad n=0, 1, 2, \dots \quad /10/$$

і виберемо ν_n таким, щоб послідовність $\{x_n\}$, одержана за /10/, збігалася.

У нашому випадку ν_n залежить від номера ітерації і ми вибираємо його з умови

$$\nu_n = \begin{cases} \frac{1 - f \|P(x_n)\|^d}{2L\lambda^2 \|P(x_n)\|^d} (1+\lambda) & \text{при } \frac{L\lambda^2 \|P(x_n)\|^d}{1+\lambda} + f \|P(x_n)\|^d \geq 1 \\ 1 & \text{при } \frac{L\lambda^2 \|P(x_n)\|^d}{1+\lambda} + f \|P(x_n)\|^d < 1. \end{cases} \quad /11/$$

Теорема 4. Якщо $x_0 \in X$, $S = \{x : \|x - x_0\| \leq p\}$ і на

S виконуються умови 1-3 теореми 2, $f \|P(x_0)\|^d < 1$.

Тоді рівняння /1/ має в S ($\rho = (\sum_{i=0}^p \delta^i + \delta^p H_0^d(\delta_i)) \lambda \|P(x_0)\|$) розв'язок x^* , до якого збігається послідовність $\{x_n\}$, одержана за формулами /10/, /11/, причому для $K \leq p$

$$\|x_K - x^*\| \leq (\sum_{i=K}^p \delta^i + \delta^p H_0^d(\delta_i)) \lambda \|P(x_0)\|,$$

а для $K > p$

$$\|x_K - x^*\| \leq \delta^p H_{K-p}^d(\delta_i) \lambda \|P(x_0)\|,$$

де ρ визначається в умові

$$\delta_p < 1, \quad \nu_{p+i} = 1 \quad i > 0,$$

a

$$\delta^p = 1 - \frac{(1 - f \|P(x_0)\|^d)^2}{4L\lambda^2 \|P(x_0)\|^d} (1+\lambda), \quad \delta_i = (f + \frac{\lambda}{1+\lambda}) \|P(x_p)\|^d.$$

Приклад 5. Теорема 4 дає практичні рекомендації для знаходження розв'язку /1/ у випадку поганого початкового наближення.

ЛІТЕРАТУРА

1. Канторович Л.В. О методе Ньютона. - "Труды Института математики АН СССР", 1949, вып. 28.
2. Красносельский М.А. и др. Приближенное решение операторных уравнений. М., "Наука", 1969.
3. Курчатов В.А. Об одном методе линейной интерполяции решения функциональных уравнений. - ДАН СССР, 1971, 198, № 3.
4. Поляк Б.Т. Градиентные методы решения уравнений и неравенств. - "Журнал вычислительной математики и математической физики", 1964, 4, № 6.

УДК 517.9

Г.Т.ДУДИКЕВАЧ

РОЗРАХУНОК ОСЕСИМЕТРИЧНОГО ПОЛЯ СИСТЕМИ ЕЛЕКТРОДІВ БЛОЧНИМ МЕТОДОМ ВЕРХНЬОЇ РЕЛАКСАЦІЇ

Для розрахунку полів системи просторових електродів з осьовою симетрією чисельними методами знаходження розв'язку зводиться до системи лінійних алгебраїчних рівнянь високого порядку, що утруднює застосування точних методів. У цьому випадку використовуються наближені ітераційні методи, які ґрунтуються на повторному застосуванні простого алгоритму, і початкове наближення уточнюється на кожному наступному кроці.

1. Нехай потрібно знайти розв'язок рівняння Лапласа в циліндричній системі координат

$$\frac{\partial^2 U}{\partial z^2} + \frac{\partial^2 U}{\partial x^2} + \frac{1}{t} \frac{\partial U}{\partial t} = 0 \quad /1/$$

в осесиметричній області із заданими значеннями потенціалів на електродах електронно-оптичних систем.

На осі Oz /при $t = 0$ / рівняння /1/ набуває вигляду

$$2 \frac{\partial^2 U}{\partial z^2} + \frac{\partial^2 U}{\partial x^2} = 0. \quad /2/$$

Аproxимуючи рівняння /1/, /2/ кінцеворізницевими аналогами в точності $O(h^2)$, де h - крок сітки, одержуємо систему лінійних алгебраїчних рівнянь

$$\frac{1}{h^2} [U_{i+1,j} + U_{i-1,j} + (1 + \frac{h}{2\gamma_j}) U_{i,j+1} + (1 - \frac{h}{2\gamma_j}) U_{i,j-1} - 4U_{i,j}] = 0, \quad /3/$$

$$\frac{1}{h^2} [U_{i+1,1} + U_{i-1,1} + 4U_{i,2} - 6U_{i,1}] = 0. \quad /4/$$

2. Для розв'язування цієї системи рівнянь високого порядку застосовується метод верхньої релаксації по лініях. Спочатку на $/k+1/-й$ ітерації $/k=0,1,2,\dots/$ методом прогонки 2 визначають проміжні значення $U^{(k+1)}$ із системи

$$U_{i+1,j}^{(k+1)} - 4U_{i,j}^{(k+1)} + U_{i-1,j}^{(k+1)} + (1 + \frac{h}{2\gamma_j}) U_{i,j+1}^{(k)} + (1 - \frac{h}{2\gamma_j}) U_{i,j-1}^{(k)} = 0,$$

$$U_{i+1,1}^{(k+1)} - 6U_{i,1}^{(k+1)} + U_{i-1,1}^{(k+1)} + 4U_{i,2}^{(k)} = 0 \quad (i=1,2,\dots,M; j=1,2,\dots,N),$$

а потім обчислюють значення $U_{i,j}^{(k+1)}$ за формулой

$$U_{i,j}^{(k+1)} = U_{i,j}^{(k)} + w(U_{i,j}^{(k+1)} - U_{i,j}^{(k)}). \quad /5/$$

Причому цикл по вузлах ведеться послідовно відповідно відповідно від вузла зліва направо від нижньої стрічки до верхньої, а w - оптимальний параметр релаксації, який обчислюється за формулой

$$w_0 = 1 \quad \text{при } K \leq N_i,$$

$$w_{K+i} = \frac{2}{1 + \sqrt{1 - \frac{(\lambda_M + w_0 - 1)^2}{\lambda_{M_i} \cdot w_K^2}}}, \quad /6/$$

де λ_M - максимальне власне число матриці ітераційного процесу.

Для визначення λ_M спочатку перші ітерації проводяться зі значенням $w_0 = 1$, а потім обчислюються величини

$$\lambda_i^{(k)} = \frac{\sum_{i,j} |U_{i,j}^{(k+1)} - U_{i,j}^{(k)}|}{\sum_{i,j} |U_{i,j}^{(k)} - U_{i,j}^{(k-1)}|}$$

до задоволення нерівності

$$\left| \frac{\lambda_i^{(k)}}{\lambda_i^{(k-1)}} - 1 \right| < \epsilon_i,$$

де ϵ_i - мала задана величина /приблизно $10^{-2} - 10^{-3}$ /.

Приймаючи $\lambda_M = \lambda_i^{(k)}$, за /6/ визначається наближене значення оптимального параметра релаксації $\omega_k = \omega_{\text{опт}}$. Дано методика дає змогу визначити $\omega_{\text{опт}}$ із заданою точністю ϵ_i в 4-6 раз **видно**, ніж методом підбору.

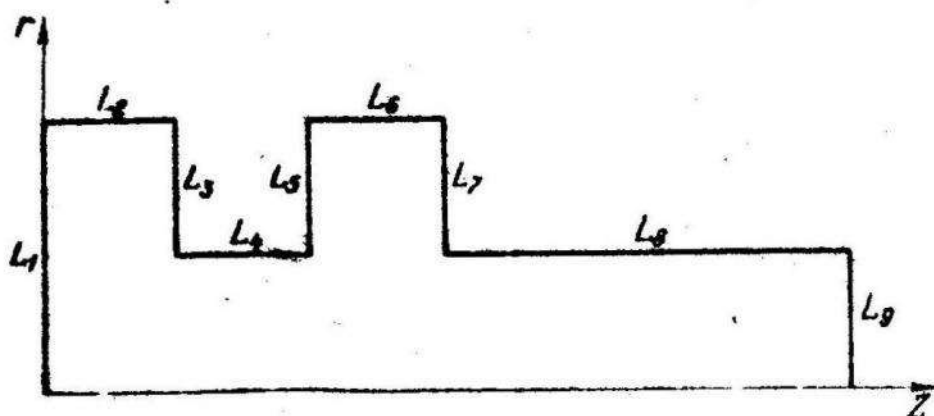
Далі за формулами /5/ обчислюються значення $U_{i,j}^{(k)}$ аж до задоволення нерівності

$$\frac{|U_{i,j}^{(k+1)} - U_{i,j}^{(k)}|}{\max\{|U_{i,j}^{(k+1)}|, |U_{i,j}^{(k)}|\}} < \epsilon,$$

де ϵ - мала задана величина порядку $10^{-7} - 10^{-8}$.

3. Даною методикою розв'язувались три контрольні задачі:

- 1/ прямокутник розмірами $8 \times 3,5$ з кроком $h = 0,5$ із граничними умовами: на лівій стороні потенціал дорівнює 1, на правій - 0, на верхній потенціал змінюється за лінійним законом від 1 до 0;
- 2/ ця ж область і граничні умови, тільки $h = 0,25$;
- 3/ трійд /див. рисунок/ із відповідними значеннями потенціалів



на границі:

на $L_1, L_2, L_3, L_4, L_5 = 0$,

на $L_7, L_8, L_9 = 1$, на L_6 - лінійний розподіл від 0 до 1.

У таблиці наведено результати розрахунків цих трьох задач блочним методом верхньої релаксації, методом верхньої релаксації по точках [1] і методом змінних напрямків [1], які підтверджують ефективність блочного методу.

Результати розрахунків контрольних задач.

| Задача | Метод | Кількість ітерацій | Час рахунку и ітерації, с | Загальний час рахунку, с |
|--------|-------------------------|--------------------|---------------------------|--------------------------|
| 1 | MBP по лініях | 18 | 0,8 | 15 |
| | MBP по точках | 53 | 0,4 | 21,2 |
| | Метод змінних напрямків | 57 | 1,5 | 85,5 |
| 2 | MBP по лініях | 40 | 2,5 | 100 |
| | MBP по точках | 78 | 1,6 | 124 |
| | Метод змінних напрямків | 31 | 6,2 | 192 |
| 3 | MBP по лініях | 29 | 8 | 232 |
| | MBP по точках | 134 | 5,5 | 737 |
| | Метод змінних напрямків | 230 | 8 | 1840 |

ЛІТЕРАТУРА

1. Ільїн В.П. Розностні методи розв'язання еліптических уравнень. Новосибірськ, 1970.
2. Шаманський В.Е. Методи численного розв'язання краєвих задач на ЕЦВМ. Ч. П., Київ, "Наукова думка", 1966.

УДК 518:517:948

О.М. ЩЕРБИНА

ЗБУРЕНИЙ АНАЛОГ МЕТОДУ ДОТИЧНИХ ГІПЕРБОЛ

При практичній реалізації чисельних методів аналізу [2] та теорії оптимального керування [6] нерідко зустрічається задача розв'язування системи нелінійних рівнянь

$$P(x) = 0, \quad /1/$$

де $P(x)$ – достатньо гладка вектор-функція векторного аргументу $x \in N$ компонентами $p_i(x) / i = 1, 2, \dots, N /$.

Для розв'язування задачі /1/ можна використати один із методів типу Ньютона [1, 3, 8], наприклад, метод дотичних гіпербол [8]. При дослідженні цих методів доведені теореми про умови збіжності і одержані оцінки швидкості збіжності. Останні, по суті, є оцінками похибки методів при умові, що всі необхідні обчислення виконуються точно.

Проте при вивченні вказаних алгоритмів недостатня увага приділялась обчислювальним аспектам. Зокрема, не враховувались похибки, які супроводжують на кожному кроці процес розв'язування однієї чи декількох лінійних систем [7], не розглядалось питання стійкості /в певному розумінні/ цих методів, а також не досліджувалась ефективність застосування алгоритмів типу Ньютона при грубих початкових наближеннях.

Метод дотичних гіпербол визначається послідовністю рекурентних співвідношень

$$x_{n+1} = x_n - [P'(x_n) - \frac{1}{2} P''(x_n) \Gamma_n P(x_n)]^{-1} P(x_n), \quad /2/$$

де $\Gamma_n = [P'(x_n)]^{-1}$, $n = 0, 1, 2, \dots$

Із розв'язуванні на ЕОМ лінійних систем, що випливають з /2/, одержуємо розв'язок з деякими похибками. Тому що наближений розв'язок лінійної системи є еквівалентним точному розв'язку цієї ж системи з деякою зміненою матрицею [7], процес /2/ можна записати у вигляді

$$x_{n+1} = x_n - \{P'(x_n) - \frac{1}{2} P''(x_n) [P'(x_n) - \\ - \tilde{V}_n]^{-1} P(x_n) - V_n\}^{-1} P(x_n), \quad /3/$$

де $\{\tilde{V}_n\}$ і $\{V_n\}$ – послідовності квадратних матриць порядку N з достатньо малою нормою.

Алгоритм /3/ називається збуреним аналогом методу дотичних гіпербол. Перейдемо до обґрунтування його збіжності. Теорему сформулюємо для випадку, коли P – двічі диференційовний за Фреше оператор, що діє із банахового простору X у банахів простір Y , а $\{\tilde{V}_n\}$ і $\{V_n\}$ – послідовності операторів, що належать простору $\mathcal{L}(X, Y)$, тобто розглянемо більш широкий клас задач.

Теорема. Нехай виконуються умови:

1/ для початкового наближення x_0 існує оператор $\Gamma_0 = [P'(x_0)]^{-1}$, причому $\|\Gamma_0\| \leq B_0$;

2/ $\|\Gamma_0 P(x_0)\| \leq \eta_0$;

3/ в області $\Omega_0 = \{x : \|x - x_0\| \leq \eta_0 / [(1 - q_0)(1 - s_0)^{1+\delta}]\}$

$\|P''(x)\| \leq M$ і $P''(x)$ задовільняє умову Гельдерса

$$\|P''(x') - P''(x')\| \leq L \|x'' - x'\|^{\alpha};$$

$$4/ h_0 = \gamma_0 \eta_0 < 1, \text{ тоді } \gamma_0^{1+t} = \max \left\{ 1, \frac{B_0^2 M^2}{(1-q_0)^2} \right\};$$

$$5/ q_0 = \frac{B_0 M}{2(1-B_0 C_0)} \eta_0 + B_0 C_0 < 1.$$

тоді $B_0 C_0 < 1$, $\tilde{C}_{n+1} \leq (1-h_n) C_n$, $C_{n+1} \leq (1-h_n) C_n$,

$$\|\tilde{V}_n\| \leq \tilde{C}_n, \|V_n\| \leq C_n, \quad n=0, 1, 2, \dots$$

$$6/ S_0^{1+t} = l_0^{1+t} h_0^{1+t} / (1-h_0)^2 < 1,$$

тоді $l_0^{1+t} = \max \{ 1, m_0 \}$,

$$\begin{aligned} r_{1,3} = & \frac{1}{(1-h_0)(1-q_0)} \left[\frac{L}{6B_0 M^2 (1-q_0)^{1+t}} + \frac{\tilde{K}}{2M(1-B_0 C_0)} + \right. \\ & \left. + \frac{K}{B_0 M^2} + \frac{1}{4(1-q_0)} \left(1 + \frac{B_0 R}{1-B_0 C_0} \eta_0^t + \frac{2K}{M} \eta_0 \right) \right], \end{aligned}$$

$$\tilde{K} \geq \|\tilde{V}_n\| \eta_0^{-\beta(n)}, \quad K \geq \|V_n\| \eta_0^{-1-\beta(n)},$$

$$0 < t \leq L, \beta(n), \gamma(n) \leq 1, \quad n=0, 1, 2, \dots$$

Тоді рівняння /1/ має в області Ω_0 розв'язок x^* , до якого збігається послідовність наближень процесу /3/, причому

$$\|x^* - x_n\| \leq (1-h_0)^{2n} S_0^{f(n)-1} \frac{\eta_0}{(1-q_0)(1-S_0^{1+t})},$$

$$\text{тоді } f(n) = \begin{cases} 1 \text{ при } n=0 \\ \prod_{i=0}^{n-1} (2 + \min \{ L, \beta(i), \gamma(i) \}) \text{ при } n \geq 1. \end{cases}$$

Доведення. здійснюється за схемою Л.В.Канторовича [8].

Відзначимо, що аналогічну теорему можна сформулювати і для інших методів типу Ньютона [1, 3, 8].

Метод дотичних гіпербол є стійким в тому розумінні, що похибки, якщо вони не дуже великі, не можуть порушити його збіжності. Вільше того, вони мають не зміняти порядку збіжності, якщо виконуються умови $\|\tilde{V}_n\| \leq \tilde{K} \eta_n$, $\|V_n\| \leq K \eta_n^2$.

При грубих початкових наближеннях декілька перших ітерацій дозволяє зробити за методом Ньютона, а потім перейти до алгоритму більш високого порядку збіжності, наприклад, до методу дотичних гіпербол.

Приємно у [3] $\tilde{V}_n = 0$, $V_n = fP'(x_n, x_{n-1})G_n P(x_n) - fP'(x_n)G_n P(x_n)$, де $P'(x, y)$ – перша поділкова різниця операція $P'(x)$ [5]. Тоді $\|V_n\| = O(\eta_n \eta_{n-1})$ і порядок збіжності одержаного алгоритму дорівнює $1 + \sqrt{2}$. При розв'язуванні одного не лінійного алгебраїчного або трансцендентного рівняння індекс ефективності [4] в цьому випадку дорівнює $1 + \sqrt{2}$, що вище, ніж у методів Ньютона ($\sqrt{2}$), дотичних гіпербол і Чебишова [8] ($\sqrt[4]{3}$).

ЛІТЕРАТУРА

1. Вартий М.Я. О некоторых итерационных методах решения функциональных уравнений. – "Сибирский математический журнал", 1969, т. 10, № 3.
2. Бахвалов Н.С. Численные методы. М., "Наука", 1973.
3. Канторович Л.В. О методе Ньютона. – "Труды Математического ин-та АН СССР", 1949, т. 28.
4. Островский А. Решение уравнений и систем уравнений. М., ИЛ, 1968.
5. Сергеев А.С. О методе хорд. – "Сибирский математический журнал", 1981, т. 2; № 2.

6. Ульян С.Р. О решении краевых задач, вытекающих из принципа максимума. - "Известия АН Эст.ССР, серия физика, математика", 1967, т. 16, № 1.

7. Форсайт Дж., Молер К. Численное решение систем линейных алгебраических уравнений. И., "Хир", 1969.

8. Бафисев Р.А. О некоторых итерационных процессах. - "Журнал вычислительной математики и математической физики", 1964, т. 4, № 1.

УДК 519.34 : 681.3.057

Г.А.ШИНКАРЕНКО

ІНТЕРПОЛЮВАННЯ НА ТРИКУТНИКАХ У МЕТОДІ СКІНЧЕННИХ ЕЛЕМЕНТІВ

У роботах [1-3] розглядалися питання інтерполювання функцій у триангульованих областях. Ми пропонуємо спосіб побудови інтерполюційних поліномів на трикутниках, що дає змогу одержувати їх у замкненому вигляді, та має певні переваги при чисельній реалізації методу скінчених елементів.

Нехай у триангульованій області Ω необхідно зінтерполювати функцію $u(x, y)$, яка володіє всіма частинними похідними до певного порядку. Довільний елемент триангуляції визначається своїми вершинами $P_i(x_i, y_i)$, $i=1, 2, 3$; позначимо його центр ваги через $P_0(x_0, y_0)$. На кожному такому трикутнику інтерполюційний поліном Ерміта H_n степеня n одноозначно визначається умовами

$$D^j H_n(P_i) = D^j u(P_i), \quad |j| \leq S, \quad i=0; \quad /1/$$

$$D^K H_n(P_0) = D^K u(P_0), \quad |K| \leq S + (-1)^n.$$

де S - ціла частина числа $(n-1)/2$;

$$D^{\ell} f = \frac{\partial^{\ell} f}{\partial x^{\ell} \partial y^m}, \quad |\ell| = \ell + m.$$

Не зупиняючись на оцінці похибки таких поліномів /з цього приводу див. [4]/, зауважимо, що визначена таким чином на кожному трикутнику кускова інтерполянта належить множині функцій $C(\Omega)$, і отже, її можна використати для розв'язування варіаційних задач першого порядку. Далі, розглядаючи поліноми H_{2n} і H_{2n+1} , бачимо, що при складанні системи рівнянь методу скінчених елементів, попередньо виключивши параметри з центрального вузла кожного трикутника [3], приходимо до одного і того ж порядку системи. Оскільки решта параметрів визначається лише на вершинах елементів, то мініма ненульових елементів матриці буде мінімальною, якщо нумерація вершин вибрана належним чином. Тому що ці обчислювальні аспекти налаштовують особливо жорсткі вимоги до сучасних ЕОМ, то в цьому відношенні запропоновані поліноми переважають своїх попередників.

Під час побудови вищезгаданих поліномів зручно користуватись природними координатами на трикутнику

$$L_i = (a_i + b_i x + c_i y) / \Delta, \quad i = 1, 2, 3,$$

де Δ — подвісна площа трикутника в вершинами $P_i(x_i, y_i)$, $i=1,2,3$.

$$a_i = x_3 y_2 - x_2 y_3, \quad b_i = y_2 - y_3, \quad c_i = x_3 - x_2 \quad /2/$$

і решта коефіцієнтів одержується циклічною перестановкою індексів 1, 2, 3.

Поліном, що задовільняє умови /1/, шукамо у вигляді

$$H_n = S_0 Q_0 \delta_0 + \sum_{i=1}^3 [S_i, S_0] [Q_i, Q]^T \delta_i. \quad /3/$$

Тут S_j , $j=0, 1, 2, 3$ — матриці-стрічки, кожен елемент яких має вигляд

$$L_1^{n_1} L_2^{n_2} L_3^{n_3}, \quad /4/$$

де показники степенів n_1, n_2, n_3 зв'язані співвідповідністю

$$n_1 + n_2 + n_3 = n;$$

$$0 \leq p_i \leq s$$

для S_0 ;

/5/

$$0 < p_j + p_k \leq p_i$$

для $S_i, i \neq 0$;

$\delta_i, i=0,1,2,3$ вектори виду

$$\delta_i = [u^i, u_x^i, u_y^i, u_{xy}^i, \dots]^T, \quad u_{xy}^{i,m} = \frac{\partial^{l+m} U(R)}{\partial x \partial y^m}. \quad /5/$$

Матриці Q, Q_i в формулі /3/ підлягають визначення таким чином, щоб забезпечити виконання умов /1/. Тому що іс співвідношень /5/ випливає

$$D^k S_0(P_i) = 0, \quad |k| \leq s, \quad l \neq 0;$$

$$D^k S_i(P_j) = 0, \quad |k| \leq s, \quad i \neq j, \quad i, j \neq 0,$$

і крім цього матриці $S_i, i \neq 0$ одержуються одна з іншої циклічної перестановкою індексів 1,2,3 у виразах виду /4/, то для визначення матриць Q, Q_i достатньо задовільнити умови

$$D^k S_0(P_0) Q_0 = E_0, \quad |k| \leq s + (-1)^n;$$

$$D^k S_i(P_i) Q_i^T = E_i, \quad |k| \leq s;$$

$$D^k S_0(P_i) Q^T = -D^k S_i(P_0) Q_i^T, \quad |k| \leq s + (-1)^n,$$

де E_j одиничні матриці відповідних розмірностей. Таким чином, задача зводиться до визначення матриць Q, Q_i , беручи до уваги відмічену циклічність матриць $S_i, i \neq 0$ і матриці Q_0 .

Подальше спрощення цієї задачі полягає в тому, що вигляд цих матриць знаходиться для трикутника з вершинами $R_1(0,0), R_2(1,0), R_3(0,1)$ в площині змінних α, β і тоді за допомогою заміни змінних

$$\begin{aligned} x &= x_i + c_3 d - c_2 \beta, \\ y &= y_i - b_3 d + b_2 \beta. \end{aligned}$$

/7/

здійснюється перехід до елемента з вершинами $R_i(x_i, y_i)$ у виразах /7/ кофіцієнти c_j, b_j визначаються формулами /2/. Це еквівалентно тому, що кожен вектор δ_i для трикутника з вершинами R_i замінюється у виразі /3/ добутком $T_i \delta_i$, де матриця T_i визначається перетворенням /7/, а вектори δ_i' мають вигляд /6/ [1].

Для застосувань практичний інтерес становлять поліноми $N_{2K+1}, K=0, 1, 2$. Наведемо їх вигляд для трикутника з вершинами $R_1(0, 0)$, $R_2(1, 0)$, $R_3(0, 1)$. Для $K=0$ вигляд поліному наведено в роботі [3]

$$K=1. \quad S_0 = [L_1 L_2 L_3], \quad \delta_0^* = [u^*],$$

$$S_1 = [L_1^3 L_1^2 L_2 L_1^2 L_3 L_2^2], \quad \delta_0^T = [u' u'_x u'_y],$$

$$Q_0 = [27], \quad Q^T = [-7, -1, -1], \quad Q_1^T = \begin{bmatrix} 1 & \cdot & \cdot \\ 3 & 1 & \cdot \\ 3 & \cdot & 1 \end{bmatrix}.$$

$$K=2. \quad S_0 = [L_1^2 L_2^2 L_3, L_1 L_2^2 L_3^2, L_1^2 L_2 L_3^2], \quad \delta_0^T = [u^*, u_x^*, u_y^*],$$

$$S_1 = [L_1^5, L_1^3 L_2, L_1^2 L_3, L_1^3 L_2^2, L_1^3 L_3^2, L_1^2 L_2 L_3, L_1^2 L_3^2],$$

$$\delta_1^T = [u', u'_x, u'_y, u'_{x^2}, u'_{xy}, u'_{y^2}],$$

$$Q = 27 \quad \begin{bmatrix} 3 & -1 & 2 \\ 3 & -1 & -1 \\ 3 & 2 & -1 \end{bmatrix} \quad Q^T = \begin{bmatrix} -57 & -14 & -5 & -1 & -1 & \cdot \\ 63 & 10 & 10 & 1/2 & 1 & 1/2 \\ -57 & -5 & -14 & \cdot & -1 & -1 \end{bmatrix},$$

$$Q_1^T = \begin{bmatrix} 1 & \cdot & \cdot & \cdot & \cdot & \cdot \\ 5 & 1 & \cdot & \cdot & \cdot & \cdot \\ .5 & \cdot & 1 & \cdot & \cdot & \cdot \\ 10 & 4 & \cdot & 1/2 & \cdot & \cdot \\ 20 & 4 & 4 & \cdot & 1 & \cdot \\ 10 & \cdot & 4 & \cdot & \cdot & 1/2 \end{bmatrix}.$$

$$K=3 \quad S_0 = [L_1^3 L_2^3 L_3, L_1 L_2^3 L_3^3, L_1^3 L_2 L_3^3, L_1^3 L_2^2 L_3^2, L_1^2 L_2^3 L_3^2, L_1^2 L_2^2 L_3^2],$$

$$\tilde{U}_0^T = [U_0^0, U_x^0, U_y^0, \dots, U_{y^2}^0],$$

$$S_1 = [L_1^6, L_1^6 L_2, L_1^6 L_3, L_1^6 L_2^2, L_1^6 L_2 L_3, L_1^6 L_3^2, L_1^9 L_2^3, L_1^9 L_2^2 L_3, L_1^9 L_2 L_3^2, L_1^9 L_3^3],$$

$$\tilde{U}_1^T = [U_1^0, U_x^1, U_y^1, U_{x^2}^1, \dots, U_{y^2}^1].$$

$$Q_0 = 27 \quad \begin{bmatrix} -22 & -8 & -8 & -2 & 5 & -2 \\ -27 & 16 & -9 & 1 & -1 & -2 \\ -27 & -9 & 18 & -2 & -1 & 1 \\ 54 & \cdot & \cdot & 1/2 & -2 & 2 \\ 54 & \cdot & \cdot & 1/2 & 1 & 1/2 \\ 54 & \cdot & \cdot & 2 & -2 & 1/2 \end{bmatrix},$$

$$Q^T = \begin{bmatrix} 127/3 & -138 & -138 & -13/2 & 24 & -13/2 & \cdot & -1 & -1 & \cdot \\ 2479/3 & 189 & 102 & 3/2 & 19 & 3/2 & 1/2 & 1 & 4/2 & \cdot \\ 2479/3 & 102 & 102 & 7/2 & 19 & 3/2 & \cdot & 4/2 & 1 & 4/2 \\ -1318/3 & -102 & -22 & -23/2 & -6 & \cdot & -1/2 & -1/2 & \cdot & \cdot \\ -1438/3 & -102 & -102 & -13/2 & -13 & -1/2 & -1/6 & -1/2 & -1/2 & -1/6 \\ -1318/3 & -22 & -102 & \cdot & -6 & -23/2 & \cdot & -1/2 & -1/2 & -1/2 \end{bmatrix},$$

$$Q_1^T = \begin{bmatrix} 1 & \cdot \\ 7 & 1 & \cdot \\ 7 & \cdot & 1 & \cdot \\ 21 & 6 & \cdot & 1/2 & \cdot & \cdot & \cdot & \cdot & \cdot & \cdot \\ 42 & 6 & 6 & \cdot & 1 & \cdot & \cdot & \cdot & \cdot & \cdot \\ 21 & \cdot & 6 & \cdot & \cdot & 1/2 & \cdot & \cdot & \cdot & \cdot \\ 35 & 15 & \cdot & 5/2 & \cdot & \cdot & 1/6 & \cdot & \cdot & \cdot \\ 105 & 30 & 15 & 5/2 & 5 & \cdot & \cdot & 1/2 & \cdot & \cdot \\ 105 & 15 & 30 & \cdot & 5 & 5/2 & \cdot & \cdot & 1/2 & \cdot \\ 35 & \cdot & 15 & \cdot & \cdot & 5/2 & \cdot & \cdot & \cdot & 1/6 \end{bmatrix}$$

Зауважимо, що коли варіаційна задача вимагає високої гладкості розв'язку, то цього можна досягнути деяким переозначенням матриць Q_0 , Q .

Зокрема, прийнявши ці матриці нульовими, одержуємо за допомогою поліномів H_n кусково-визначену апроксимацію розв'язку з класу функцій $C^s(\Omega)$.

Автор висловлює ширу вдячність професору Флайшману Н.П. і кандидату фізико-математичних наук Савулі Я.Г. за увагу до роботи.

ЛІТЕРАТУРА

1. Difesa L., Sodol J. & F. Finite elements with high degree of regularity. "Int. J. Numer. Meth. Eng." 1970, 2, N 4.
2. Zienitck A. Interpolation polynomials on the triangle. "Numer. Math." 1970, 15, N 4.
3. Lienkiewicz O.C. The Finite Element Method in Engineering Science. London, McGraw-Hill, 1971.
4. Strang G., Fix G. & J. An Analysis of the Finite Element Method. New-York, Prentice-Hall, Inc., 1973.

З.О. МЕЛЬЧИК, В.Г. КОСТЕНКО
 ПІДВИЩЕННЯ ПОРЯДКУ АПРОКСИМАЦІЇ РІВНИЦЕВИХ
 СХЕМ

Відомо [1], що коли країову задачу

$$Au = f \quad \text{в } \mathcal{D}, \quad /1/$$

$$\ell u = g \quad \text{на } \Gamma, \quad /2/$$

апроксимувати рівницевими системами рівнянь

$$A_{hp} U^{hp} = f^{hp} \quad \text{в } \mathcal{D}_{hp}, \quad /3/$$

$$\ell_{hp} U^{hp} = g^{hp} \quad \text{на } \Gamma_{hp} \quad /4/$$

з точністю $O(h)$ на послідовності n сіток з кроками h/p ($p=1, \dots, n$), то деяка лінійна комбінація /коректор/ розв'язків $/4/$ систем рівнянь $/3/, /4/$ у вузлах сітки з кроком h дає наближення розв'язок задачі $/1/, /2/$ в точністю $O(h^n)$, де A , ℓ - деякі лінійні диференціальні оператори; A_{hp} ; ℓ_{hp} - їх рівницеві аналоги; \mathcal{D} - область з границею Γ ; \mathcal{D}_{hp} - відповідна сітчаста область з границею Γ_{hp} . При цьому іонування єдиного неперервно диференційованого розв'язку задачі $/1/, /2/$ припускається.

Коли розглянути країову задачу виду $/1/, /2/$, яка може бути апроксимована системами рівнянь $/3/, /4/$ на тій же послідовності сіток з кроками h/p ($p=1, \dots, n$) в точністю $O(h^p)$, то так само, як і в [1], виявлено, що у вузлах з кроком h коректор розв'язків систем рівнянь $/3/, /4/$

$$U = \sum_{p=1}^n f_p U^{hp}, \quad /5/$$

до

$$f_p = (-1)^{n-p} \frac{2p^{2n}}{(n-p)!(n+p)!} \quad (p=1, \dots, n), \quad /6/$$

дає наближений розв'язок задачі /1/, /2/ в точністю $O(h^4)$.

При розв'язуванні задачі /1/, /2/ на ЕОМ в заданою точністю формули /5/, /6/ порівняно з викладеним в [1] дають економію машинного часу більше, ніж в два рази.

ЛІТЕРАТУРА

1. Марчук Г.І. Методи комп'ютерної математики. Новосибірськ, "Наука", 1973.

УДК 539.8

В.В. ЖАРПОВ

РОЗРАХУНОК ПЛОСКОГО ЕКРАНА КІНЕСКОПА*

Плоский екран кінескопа має форму пластинки зі скругленими кутами. Нижче розглядається задача згину такої пластинки та досліджується вплив скруглення кутів на величину прогинів і моментів. Наведений нижче розв'язок може бути також використаний як складовий елемент при розв'язуванні задачі про напруженодеформований стан пластинки, з'єднаної з циліндричною оболонкою.

1. Розглянемо пластинку, обмежену гладким контуром Γ .

$$\left(\frac{x}{a}\right)^4 + \left(\frac{y}{b}\right)^4 = 1. \quad /1.1/$$

Потрібно визначити функцію $W(x, y)$, яка в області Ω , що зайнята пластинкою, задовільняє рівняння

$$\Delta\Delta W = f, \quad /1.2/$$

а на контурі Γ - граничні умови

$$W|_{\Gamma} = 0, \quad \frac{\partial W}{\partial n}|_{\Gamma} = \varphi(s), \quad /1.3/$$

* Робота виконана під керівництвом доц. Д.Г. Хлебнікова.

де $W_1 = \frac{\rho}{\delta} W$ — прогин серединної площини пластинки;

ρ — інтенсивність зовнішнього навантаження; δ — циліндрична жорсткість; Ψ — задана на контурі Γ функція; $\Delta = \frac{\partial^2}{\partial x^2} + \frac{\partial^2}{\partial y^2}$ — оператор Лапласа, n — внутрішня нормаль до Γ , S — довжина дуги контура Γ .

2. За В.Л.Рвачовим [2] розв'язок граничної задачі /1.2/ — /1.3/ шукаємо у вигляді

$$W = \omega^2 \Phi_0 + \omega \Psi_0. \quad /2.1/$$

де Ψ_0 — продовження функції Ψ всередину області Ω ;

Φ_0 — довільна функція; ω — функція, яка задовільняє умови

$$\omega(x, y) > 0 \text{ в } \Omega, \quad \omega|_{\Gamma} = 0, \quad \frac{\partial \omega}{\partial n}|_{\Gamma} = 1. \quad /2.2/$$

Методика побудови такої функції описана в [2]. Для данної задачі функцію ω можна залити у вигляді

$$\omega = \frac{1 - \left(\frac{x}{a}\right)^2 - \left(\frac{y}{b}\right)^2}{\sqrt{\left[1 - \left(\frac{x}{a}\right)^2 - \left(\frac{y}{b}\right)^2\right]^2 + \frac{a^2 x^{2k-2}}{a^{2k}} + \frac{b^2 y^{2k-2}}{b^{2k}}}}. \quad /2.3/$$

Функція W у вигляді /2.1/ точно задовільняє граничні умови /1.3/. Довільність у виборі Φ_0 використовуємо для того, щоб наближено задовільнити рівняння /1.2/.

Як відомо [1], задачі розв'язку бігармонійного рівняння /1.2/ відповідає варіаційна задача про мінімум функціоналу, який, враховуючи незалежність граничної задачі /1.2/-/1.3/ від коефіцієнта Пуассона ν , має вигляд

$$\mathcal{J} = \iint_{\Omega} [(\Delta W)^2 - 2W] dx dy. \quad /2.4/$$

Для наблизленого знаходження мінімуму функціоналу використовуємо метод Рітца. Враховуючи симетрію задачі відносно осей координат, невідому функцію Φ_0 шукаємо у вигляді

$$\Phi_0(x, y) = \sum_{i,j=0}^M a_{ij} x^{2i} y^{2j}, \quad /2.5/$$

а невідомі коефіцієнти a_{ij} знаходимо в системи Рітца

$$\sum_{i,j=0}^M a_{ij} A_{ijkl} = B_{kl} \quad (k+l=0, 1, \dots, M), \quad /2.6/$$

де

$$A_{ijkl} = \iint \Delta W_{ij} \Delta W_{kl} dx dy,$$

$$B_{kl} = \iint [W_{kl} - \Delta W_{kl} \Delta (\omega \varphi)] dx dy; \quad /2.7/$$

$$W_{ij} = \omega^2 x^{2i} y^{2j}.$$

3. Розглянемо пластинку, жорстко затиснену вздовж контура Γ .

У цьому випадку $\Psi = 0$, і третя з умов /2.2/ можна замінити більш слабкою

$$\frac{\partial \omega}{\partial n} \Big|_{\Gamma} < +\infty. \quad /3.1/$$

Внаслідок цього функцію ω можна взяти в більш простому вигляді

$$\omega = 1 - \left(\frac{x}{a}\right)^{\alpha} - \left(\frac{y}{b}\right)^{\beta}. \quad /3.2/$$

У цьому випадку коефіцієнти системи /2.3/ явно виражаються через бета-функцію Ейлера $B(x, y)$.

4. Складено АЛГОР-програму формування та розв'язування системи /2.6/ для жорстко затисненої пластинки. Досліджено залежність моментів і максимального прогину від значень α і β , що характеризують скруглення кутів прямокутника. Значення максимального прогину /в частках $\frac{P_0 l^4}{E}$ / та згинальних моментів /в частках $P_0 l^2$ / для $\alpha = 1,2$, $\beta = 1,8$ і для $\nu = 0,3$ наведено в таблиці. Для прямокутної пластинки результати взято в [3].

З наведених результатів видно, що вже при $\alpha = \beta = 4$ для практичних розрахунків можна не враховувати скруглення кутів. Оскільки в екранах кінескопів, як правило, $\alpha > 4$, $\beta > 4$, то екран кінескопа можна розглядати як прямокутну пластинку.

Прогини та моменти для жорстко затисненої
рівномірно навантаженої пластинки

| $L = \beta$ | W_{max} | $M_x(x=a, y=0)$ | $M_y(x=0, y=b)$ | $M_x(x=0, y=0)$ | $M_y(x=0, y=0)$ |
|---------------------|-----------|-----------------|-----------------|-----------------|-----------------|
| $\frac{b}{a} = 1,2$ | | | | | |
| 2 | 0,0214 | -0,171 | -0,119 | 0,104 | 0,085 |
| 4 | 0,0269 | -0,250 | -0,215 | 0,119 | 0,091 |
| 6 | 0,0275 | -0,254 | -0,220 | 0,120 | 0,091 |
| 8 | 0,0276 | -0,254 | -0,220 | 0,120 | 0,091 |
| 10 | 0,0276 | -0,255 | -0,221 | 0,120 | 0,091 |
| ∞ | 0,02752 | -0,2558 | -0,2216 | 0,1196 | 0,0912 |
| $\frac{b}{a} = 1,8$ | | | | | |
| 2 | 0,0320 | -0,256 | -0,079 | 0,140 | 0,078 |
| 4 | 0,0385 | -0,320 | -0,210 | 0,158 | 0,071 |
| 6 | 0,0390 | -0,323 | -0,224 | 0,160 | 0,070 |
| 8 | 0,0391 | -0,323 | -0,225 | 0,160 | 0,070 |
| 10 | 0,0392 | -0,322 | -0,226 | 0,160 | 0,071 |
| ∞ | 0,03920 | -0,3248 | -0,2284 | 0,1604 | 0,0696 |

ЛІТЕРАТУРА

1. Канторович Л.В., Кривлов В.И. Приближенные методы высшего анализа. М.-Л., Физматгиз, 1962.
2. Рябчев В.Л. [и др.] Метод R - функций в задачах об изгибе и колебаниях пластин сложной формы. Киев, "Наукова думка", 1973.
3. Тимошенко С.П., Войновский - Кригер С. Пластиинки и оболочки. М., Физматгиз, 1963.

Л.І.ОШИПКО, К.С.ІВАНКІВ

ЗАСТОСУВАННЯ ГЕОМЕТРИЧНОГО ПРОГРАМУВАННЯ ДО ОПТИМІЗАЦІЇ
ПО ВАЗІ ТОНКОСТІННИХ КОНСТРУКЦІЙ

Задачі оптимального проектування тонкостінних конструкцій, що складаються з пластин і оболонок, зводяться до задач математичного програмування, загальні методи якого розроблені ще недостатньо [3]. Методи математичного програмування дають змогу знайти вектор регульованих параметрів $\vec{t}^*(t_1^*, t_2^*, \dots, t_m^*)$, який дає екстремум цільової функції

$$g_o(\vec{t}^*) = \max_{\vec{t} \in T} g_o(\vec{t}),$$

/1/

$$\vec{t} \in T = \{\vec{t} | g_k(\vec{t}) \geq 0\},$$

де T - множина допустимих розв'язків, яка утворюється функціями обмежень $g_k(\vec{t})$ ($k=1, 2, \dots, p$).

У цій роботі пропонується застосувати апарат геометричного програмування до розв'язування певного класу екстремальних задач. Для цього довільні, неперервні та диференційовані функції $g_k(\vec{t})$ зображаються поліномами виду [1]

$$g_k(\vec{t}) \approx C_k t_1^{a_{k1}} t_2^{a_{k2}} \dots t_m^{a_{km}},$$

/2/

де

$$a_{kj} = \left(\frac{\partial g_k}{\partial t_j} \right)_{\vec{t}^*}, C_k = g_k(\vec{t}^*) / \prod_{j=1}^m (t_j^{a_{kj}}),$$

\vec{t}^* - вихідна точка.

Тоді задача /1/ стає задачею геометричного програмування.

1. Розглянемо задачу пружної рівноваги конструкції, що складається з циліндричної оболонки /довжини ℓ , радіуса R і товщини $h = \text{const}$ /, з'єднаної з плоским дном /товщиною $h_2 = \text{const}$ /. Конструкція шарнірно оперта і перебуває під рівномірним зовнішнім тиском $q = \text{const}$.

Розв'язок рівняння Софі Жермен при дії по контуру пластинки згинних моментів $m_1 = q h_2^2 M_2$ і рівномірного тиску σ має вигляд

[4]

$$W_1 = \frac{q R^4}{64 \rho_1 (1+\nu_1)} \cdot \left[5 + \nu_1 + \frac{32 h_2^2}{R^2} M_2 - (1+\nu_1) \frac{z^2}{R^2} \right] \left(1 - \frac{z^2}{R^2} \right), \quad /3/$$

де M_2 – безрозмірна величина момента; ρ_1 – циліндрична жорсткість.

Розв'язок рівняння осесиметричного згину циліндричних оболонок записується у вигляді [4]

$$W_2 = e^{-kx} (C_1 \cos kx + C_2 \sin kx) + e^{kx} (C_3 \cos kx + \quad /4/$$

$$+ C_4 \sin kx) + \frac{q R^2 (2-\nu_2)}{2 E_2 h_2},$$

$$\text{де } f = \sqrt[4]{3(1-\nu_2^2)}, \quad k = \frac{f}{\sqrt{R h_2}}.$$

Постійні інтегрування визначаються з умов спряження пластинки з оболонкою та умов шарнірного опирания конструкції, які в нашому випадку зводяться до системи шести лінійних алгебраїчних рівнянь. Розв'язавши ці рівняння, одержуємо:

$$M_2 = -\frac{\Delta'}{\Delta}; \quad Q_2 = \frac{\Delta''}{\Delta};$$

$$C_1 = B_{14} - \frac{A'_1}{2} + B_{11} M_2 + (B_{12} - B_{13}) Q_2;$$

$$C_2 = -B_{14} + (B_{21} - B_{11}) M_2 - B_{13} Q_2;$$

$$C_3 = -(B_{14} + \frac{A'_1}{2}) - B_{11} M_2 + (B_{12} + B_{13}) Q_2;$$

$$C_4 = -B_{14} - (B_{11} + B_{21}) M_2 - B_{13} Q_2.$$

/5/

Тут введено такі позначення:

$$B_{11} = \frac{q(1-\nu_1) R R^4}{E_1 \delta \rho_1^5}; \quad B_{12} = \frac{q(1-\nu_1) R}{2 E_1} \cdot \frac{\rho_1^2}{f_2^2}, \quad B_{13} = \frac{q R (1-\nu_2^2) \rho_2}{2 E_2 \delta^3};$$

$$B_{14} = \frac{3}{8} \frac{q R (1-\nu_1)}{f^4 E_1} \cdot \frac{\rho_1^6}{f_2^2}, \quad B_{21} = \frac{q R f^2}{E_2}; \quad A'_1 = \frac{q R (2-\nu_1)}{2 E_2} \rho_2^2;$$

$$\Delta = \begin{vmatrix} -B_{11}(A+1) + B_{21} & B_{12}B + B_{13}(A-1) \\ -B_{11}(A-1) - B_{21}B & -B_{13}(A+1) + B_{12} \end{vmatrix}$$

$$\Delta_1 = \begin{vmatrix} B_{14}(A+1) - \frac{A_1}{2} \left(\frac{e^{kl}}{\sin kl} - B \right) & B_{12}B + B_{13}(A-1) \\ B_{14}(A-1) - \frac{A_1}{2} \left(\frac{e^{kl}}{\cos kl} - 1 \right) & -B_{13}(A+1) + B_{12} \end{vmatrix};$$

$$\Delta_2 = \begin{vmatrix} -B_{11}(A+1) + B_{21} & B_{14}(A+1) - \frac{A_1}{2} \left(\frac{e^{kl}}{\sin kl} - B \right) \\ -B_{11}(A-1) - B_{21}B & B_{14}(A-1) - \frac{A_1}{2} \left(\frac{e^{kl}}{\cos kl} - 1 \right) \end{vmatrix};$$

$$A = \frac{e^{2kl}}{\sin 2kl} - \operatorname{ctg} 2kl; \quad B = \frac{e^{2kl}}{\sin 2kl} + \operatorname{ctg} 2kl;$$

$$\rho_1 = \sqrt{\frac{R}{k_1}}; \quad \rho_2 = \sqrt{\frac{R}{k_2}}.$$

Аналіз напруженого стану даної конструкції показувє, що максимальні розтягуючі напруження виникають у точці спряження пластинки з оболонкою.

2. Ставиться задача знаходження мінімуму об'єму /ваги/ конструкції

$$U = \pi R^3 \left[\rho_1^{-2} + \frac{2l}{R} \rho_2^{-2} \right],$$

17/

при таких обмеженнях

$$\hat{\sigma}_x^{\max} = -q \left[\frac{A^4}{\rho_2^2} M_2 + \frac{A^2}{\rho_2^2} Q_2 \right] \leq [6],$$

18/

$$\hat{\sigma}_x^{\max} = -q \left[6M_2 - \frac{\rho_1^4}{2} \right] \leq [6].$$

Аproxимуючи функції, що входять в обмеження /8/, одночленними поліномами, одержуємо таку пряму програму геометричного програмування:

знати мінімум $g_0(\rho_1, \rho_2) = C_1 \rho_1^{-2} + C_2 \rho_2^{-2}$,

при обмеженнях $C_3 \rho_1^{a_{11}} \rho_2^{a_{12}} \leq 1; C_4 \rho_1^{a_{21}} \rho_2^{a_{22}} \leq 1$.

Ступінь трудності задачі дорівнює одиниці. Відповідна двоїста програ-

ма полягає в знаходженні максимуму функції

$$V(\delta) = \left[\prod_{i=1}^4 C_i \delta_i \right] \delta_1^{\alpha \delta_1} \delta_2^{\alpha \delta_2}$$

при умовах нормалізації, ортогоналізації та невід'ємності двоїстих змінних δ_i ($i = 1, 2, 3, 4$).

Розв'язок двоїстих обмежень для нашого випадку такий

$$\tilde{\delta} = \hat{\delta}^{(0)} + \tau \hat{\delta}^{(1)}, \quad /9/$$

де $\hat{\delta}^{(0)}$ – вектор нормалізації; $\hat{\delta}^{(1)}$ – вектор нев'язки; τ – багатисна змінна.

Вектори $\hat{\delta}^{(0)}$, $\hat{\delta}^{(1)}$ визначаються з матриці експонент прямої задачі. Величину τ визначаємо з рівняння

$$\prod_{i=1}^4 C_i \delta_i^{\alpha \delta_i} = \left[\prod_{i=1}^4 (\hat{\delta}_i^{(0)} + \tau \hat{\delta}_i^{(1)}) \delta_i^{\alpha \delta_i} \right] (\hat{\delta}_3^{(0)} + \tau \hat{\delta}_3^{(1)})^{-\hat{\delta}_3^{(0)}} (\hat{\delta}_4^{(0)} + \tau \hat{\delta}_4^{(1)})^{-\hat{\delta}_4^{(0)}}. \quad /10/$$

Задача доведена до числа на ЕОМ М-222 при таких значеннях нерегульованих параметрів:

$$R = 19,45 \text{ мм}; \ell = 25 \text{ мм}; k_1 = k_2 = 0,2; q = 0,01 \frac{\text{кг}}{\text{мм}^2}, [\sigma] = 0,9 \frac{\text{кг}}{\text{мм}^2}.$$

Розв'язок трансцендентного рівняння /10/ дає $\tau = 0,1127$. На основі першої теореми двоїстості знаходимо $h_1 = 1,6201$, $h_2 = 1,6316$.

Оскільки функції δ_1, δ_2 апроксимуються позіномами /2/ наближено, то для уточнення розв'язку використовувався ітераційний метод [2].

ЛІТЕРАТУРА

1. Даффин Р., Питерсон З., Зенер К. Геометрическое программирование. М., "Мир", 1972.
2. Зенер К. Геометрическое программирование и техническое проектирование. М., "Мир", 1973.
3. Сергеев Н.Д., Богатырев А.И. Проблемы оптимального проектирования конструкций. Л., Госстройиздат, 1971.
4. Тимошенко С.П., Войновский - Кригер С. Пластинки и оболочки. М., Физматгиз, 1963.

МЕХАНІКА

УДК 539.3

І.О.НІЩЕНКО, Т.Л.МАРТИНОВИЧ, В.Є.ФРІНЕЦЬ ПРУЖНА РІВНОВАГА НЕСИМЕТРИЧНО З'ЄДНАНИХ ПЛАСТИНОК

1. Питання несиметричного підкріplення пластинок тонкими пружними стержнями присвячена вже значна кількість робіт. Але в практиці досить часто виникає необхідність спаювати /склеювати/ пластинки різної висоти так, що їх серединні площини паралельно зміщені одна відносно одної. У цьому випадку, як і при несиметричному підкріпленні пластинки, в ній буде одночасно виникати, як узагальнений плоский напруженний стан, так і явище згину. Ми пропонуємо один наближений підхід до дослідження напруженого та деформованого станів таких пластинок.

Розглянемо пластинку, що складається з n кусково-однорідних, ізопропних пластинок несиметрично спаяних /склеєних/ між собою до деформації вздовж замкнутих, гладеньких контурів L_1, L_2, \dots, L_{n-1} ,

L_{n+1} , що не перетинаються між собою. Причому, контур L_k є лінією розділу k -ї пластинки, яка залишається зліва при обході контура проти годинникової стрілки, та j - пластинки. Сумісність інших контурів, що не являються лініями розділу середовища, позначимо через L_0 . На них можуть бути задані країві умови першої, другої або змішаної основних задач.

Будемо вважати, що на лінії спарювання L_k виконуються такі умови спряження: а/ статичні умови, що виражають рівність компонент головного вектора та головного моменту зусиль, які виникають на поверхні спарювання

$$2h_k(N_k + iT_k) = 2h_j(N_j + iT_j); \quad P_k^{(n)} = P_j^{(n)}; \quad /1.1/$$

$$M_n^{(k)} = M_n^{(j)} - 2h_j \zeta_k^* N_j; \quad H_{nC}^{(k)} = H_{nC}^{(j)} - 2h_j \zeta_k^* T_j;$$

б/ кінематичні умови, які зв'язують між собою переміщення точок серединних площин, прогини та кути повороту сусідніх пластин на лінії спар

$$U_k + iV_k = (U_j + iV_j) - 2\zeta_k^* \frac{\partial h_j}{\partial t}, \quad /1.2/$$

де $W_k = W_j; \quad \frac{\partial W_k}{\partial n} = \frac{\partial W_j}{\partial n},$

$2h$ - товщина пластинки; U, V, W - компоненти вектора переміщення; N, T - нормальні та дотичні напруження у загаль-
неного плоского напруженої стану; $P^{(n)}$ - поперечна сила; M_n, M_{nT} - згинальні та крутні моменти; ζ_k^* - зміщення k -ї пластин-
ки по відношенню до j -ї; воно додатнє, коли остання розміще-
на вище від першої. Індекси біля величин у формулах /1.1/, /1.2/ та
далі показують до якої пластинки дана величина чи функція відносить-
ся.

Якщо ввести комплексні потенціали $\Psi(x), \Psi(z), \Psi^*(x), \Psi^*(z)$ [1,2], в яких два перших характеризують узагальнений плоский напру-
жений стан, а два останніх згин, то умови /1.1/ запишуться у такому
вигляді:

$$h_k [\Psi_k(t) + t \overline{\Psi'_k(t)} + \overline{\Psi_k(t)}] = h_j [\Psi_j(t) + t \overline{\Psi'_j(t)} + \overline{\Psi_j(t)}],$$

$$2h_j \zeta_k^* [\Psi_j(t) + t \overline{\Psi'_j(t)} + \overline{\Psi_j(t)}] = D_j (1-\nu_j) [\eta_j \Psi_j^*(t) + t \overline{\Psi_j^*(t)} +$$

$$+ \overline{\Psi_j^*(t)}] - D_k (1-\nu_k) [\eta_k \Psi_k^*(t) + t \overline{\Psi_k^*(t)} + \overline{\Psi_k^*(t)}],$$

$$2\zeta_k^* [\Psi_j^*(t) + t \overline{\Psi'_j(t)} + \overline{\Psi_j^*(t)}] = \frac{1}{\mu_j} [\delta e_j \Psi_j(t) - t \overline{\Psi'_j(t)} -$$

$$- \overline{\Psi_j(t)}] - \frac{1}{\mu_k} [\delta e_k \Psi_k(t) - t \overline{\Psi'_k(t)} - \overline{\Psi_k(t)}].$$

$$\Psi_j^*(t) + t \overline{\Psi_j^{**}(t)} + \overline{\Psi_j^*(t)} = \Psi_k^*(t) + t \overline{\Psi_k^{**}(t)} + \overline{\Psi_k^*(t)},$$

- λ - коефіцієнт Пуасона; $\lambda = \frac{3-\nu}{1+\nu}$, $n = -\frac{3+\nu}{1-\nu}$, $D(1-\nu) = \frac{4\nu h^3}{3}$;
 M - модуль зсуву; $t \in L_K$.

Диференціючи попередні рівності, виразимо їх через великі функції

$$\alpha_j \beta_j^{-2} [\phi_j(t) + \overline{\phi_j(t)} - e^{2id} (\bar{t} \phi_j'(t) + \psi_j(t))] =$$

$$= \phi_c(t) + \overline{\phi_k(t)} - e^{2id} (\bar{t} \phi_k'(t) + \psi_k(t)),$$

$$3\gamma_j^2 \delta_k \alpha_j [\phi_j(t) + \overline{\phi_j(t)} - e^{2id} (\bar{t} \phi_j'(t) + \psi_j(t))] =$$

$$= \alpha_j \beta_j^{-3} [n_j \overline{\phi_j^*(t)} + \phi_j^*(t) - e^{2id} (\bar{t} \phi_j^{**}(t) + \psi_j^*(t))] -$$

$$- [n_k \overline{\phi_k^*(t)} + \phi_k^*(t) - e^{2id} (\bar{t} \phi_k^{**}(t) + \psi_k^*(t))],$$

$$\delta_k [\phi_j^*(t) + \overline{\phi_j^*(t)} - e^{2id} (\bar{t} \phi_j^{**}(t) + \psi_j^*(t))] =$$

$$= \beta_j [\partial \ell_j \overline{\phi_j(t)} - \phi_j(t) + e^{2id} (\bar{t} \phi_j'(t) + \psi_j(t))] -$$

$$- [\partial \ell_k \overline{\phi_k(t)} - \phi_k(t) + e^{2id} (\bar{t} \phi_k'(t) + \psi_k(t))],$$

$$\overline{\phi_j^*(t)} + \phi_j^*(t) - e^{2id} (\bar{t} \phi_j^{**}(t) + \psi_j^*(t)) =$$

$$= \Phi_k^*(t) + \overline{\Phi_k^*(t)} - e^{2id} (\bar{t} \Phi_k^{**}(t) + \Psi_k^*(t)),$$

де $\bar{t} = \frac{\chi_k}{h_k}$, $h_k = \frac{h_1}{\mu_k}$, $\mathcal{L}_j = \frac{\mu_j}{\mu_k}$, $\Psi_j' = 2\mu_j h_j \phi_j$,
 $\Psi_j' = 2\mu_j h_j \Psi_j$, $\Psi_j^{**} = \Phi_j^*$, $\Psi_j^{**} = \Psi^*$.

d - кут між нормальню до контура L_k і віссю O_x .

2. Як приклад, розглянемо рівновагу пластинки, що складається з концентричних кілець, спаяних між собою несиметрично. Якщо перше кільце є нескінченною пластинкою, то контур L_0 віддалений у нескінченність, а коли n - кільце - шайба, то контур L_n стягується в точку.

Дослідження напруженодеформованого стану складеного кільця при симетричному в'єданні кілець однакової висоти наведено в роботі [2].

Комплексні потенціали в j -му кільці можна розкласти в ряди Дорана

$$\begin{aligned} \Phi_j(z) &= \sum_{n=-\infty}^{\infty} A_n^{(j)} \frac{z^n}{R_j^n}; \quad \Psi_j(z) = \sum_{n=-\infty}^{\infty} B_n^{(j)} \frac{z^n}{R_j^n}; \\ \Phi_j^*(z) &= \sum_{n=-\infty}^{\infty} C_n^{(j)} \frac{z^n}{R_j^n}; \quad \Psi_j^*(z) = \sum_{n=-\infty}^{\infty} D_n^{(j)} \frac{z^n}{R_j^n}. \end{aligned} \quad /2.1/$$

Підставивши ці розклади функцій у рівності /1.4/ та прирівнявши коефіцієнти при одинакових степенях $\delta^*(z=R_j; \delta = R_j; e^{i\theta})$, одержимо такі системи лінійних алгебраїчних рівнянь:

$$(1-n) C_n^{(j)} \rho_j^n + \bar{C}_{-n}^{(j)} \rho_j^{-n} - \bar{D}_{n-2}^{(j)} \rho_j^{n-2} = (1-n) C_n^{(j+1)} \rho_j^n + \bar{C}_{-n}^{(j+1)} \rho_j^{-n} - \bar{D}_{n-2}^{(j+1)} \rho_j^{n-2},$$

$$\begin{aligned} \delta^* [(1-n) C_n^{(j)} \rho_j^n + \bar{C}_{-n}^{(j)} \rho_j^{-n} - \bar{D}_{n-2}^{(j)} \rho_j^{n-2}] &= \delta_j [\mathcal{L}_j \bar{A}_{-n}^{(j)} \rho_j^{-n} - (1-n) A_n^{(j)} \rho_j^n + \\ &+ B_{n-2}^{(j)} \rho_j^{n-2}] - [\mathcal{L}_{j+1} \bar{A}_{-n}^{(j+1)} \rho_j^{-n} - (1-n) A_n^{(j+1)} \rho_j^n + B_{n-2}^{(j+1)} \rho_j^{n-2}], \end{aligned}$$

/2.2/

$$d_j f_j^2 [(1-n) A_n^{(j)} \rho_j^n + \bar{A}_{-n}^{(j)} \rho_j^{-n} - B_{n-2}^{(j)} \rho_j^{n-2}] =$$

$$= (1-n) A_n^{(j+1)} \rho_j^n + \bar{A}_{-n}^{(j+1)} \rho_j^{-n} - B_{n-2}^{(j+1)} \rho_j^{n-2},$$

$$3 d_j d_j f_j [(1-n) A_n^{(j)} \rho_j^n + \bar{A}_{-n}^{(j)} \rho_j^{-n} - B_{n-2}^{(j)} \rho_j^{n-2}] =$$

$$= d_j f_j^3 [n_j C_{-n}^{(j)} \rho_j^{-n} + (1-n) C_n^{(j)} \rho_j^n - D_{n-2}^{(j)} \rho_j^{n-2}] -$$

$$- [n_{j+1} \bar{C}_{-n}^{(j+1)} \rho_j^{-n} + (1-n) C_n^{(j+1)} \rho_j^n - D_{n-2}^{(j+1)} \rho_j^{n-2}],$$

$$(n=0, \pm 1, \pm 2, \dots), \quad (j=1, 2, \dots, n-i), \quad \rho_j = \frac{R_j}{R_i}.$$

Система /2.2/ розв'язувалась для трикомпонентного кільця, коли перші i нескінчені пластинки, а останнє $-i$ шайба, при таких значеннях параметрів:

$$d_1 = 3077, \quad d_2 = 0,624, \quad f_1 = 0,5, \quad f_2 = 0,667,$$

$$\nu_1 = 0,25, \quad \nu_2 = 0,2, \quad \nu_3 = 0,33, \quad \rho_2 = 0,667.$$

і різних значеннях величин σ_1, σ_2 .

Якщо пластинка на нескінченності згинакеться або розтягуватиметься в напрямку осі Ox , то

$$A_o^{(1)} = \frac{\rho}{8h_1 \mu_1}; \quad B_o^{(1)} = \frac{\rho}{4h_1 \mu_1}, \quad /2.4/$$

$$C_o^{(1)} = -\frac{M}{4D_1(1+\nu_1)}; \quad D_o^{(1)} = -\frac{M}{2D_1(1-\nu_1)}.$$

Інші коефіцієнти визначаються в системі /2.3/. Розподіл величин

$\frac{\sigma_2}{\rho}$; $\frac{\sigma_1}{\rho}$; $\frac{\sigma_1 h_1^2}{M}$ поблизу зовнішнього контура L_1 зображені

відповідно на рис. 1, 2, 3. Причому в квадрантах 1, 1У рис. 2, 3 та - 1-ІІ рис. 1 показано зміну цих величин на нижньому краї пластинки, а в протилежних квадрантах на ІІ верхньому краї. Лінія 1 відповідає значенням $\delta_1 = 0,5$, $\delta_2 = 0,33$; лінія 2 - $\delta_1 = 0$, $\delta_2 = 0$ /тобто симетричному спаду/; лінія 3 - $\delta_1 = 0,2$, $\delta_2 = 0$; лінія 4 - $\delta_1 = 0,4$, $\delta_2 = 0$.

На рис. 4 показана залежність від δ_1 величин $\frac{\sigma_h}{\sigma}$ /лінії 1.1'/ та $\frac{\sigma_h \delta_1}{\sigma}$ /лінії 2.2'/ відповідно на нижньому та верхньому краях пластиинки при $\delta_2 = 0$, $\theta = 0$.

Напруження поблизу контура L_2 значно менші за величиною, а тому їх значення тут не наведені.

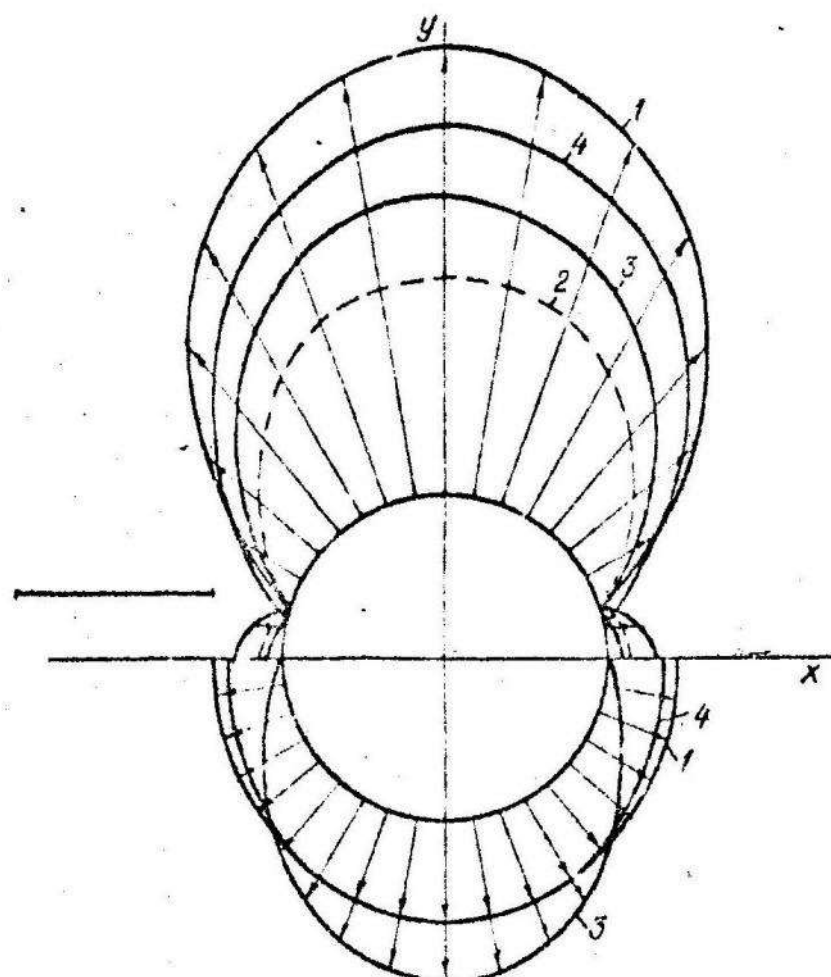


Рис. 1.

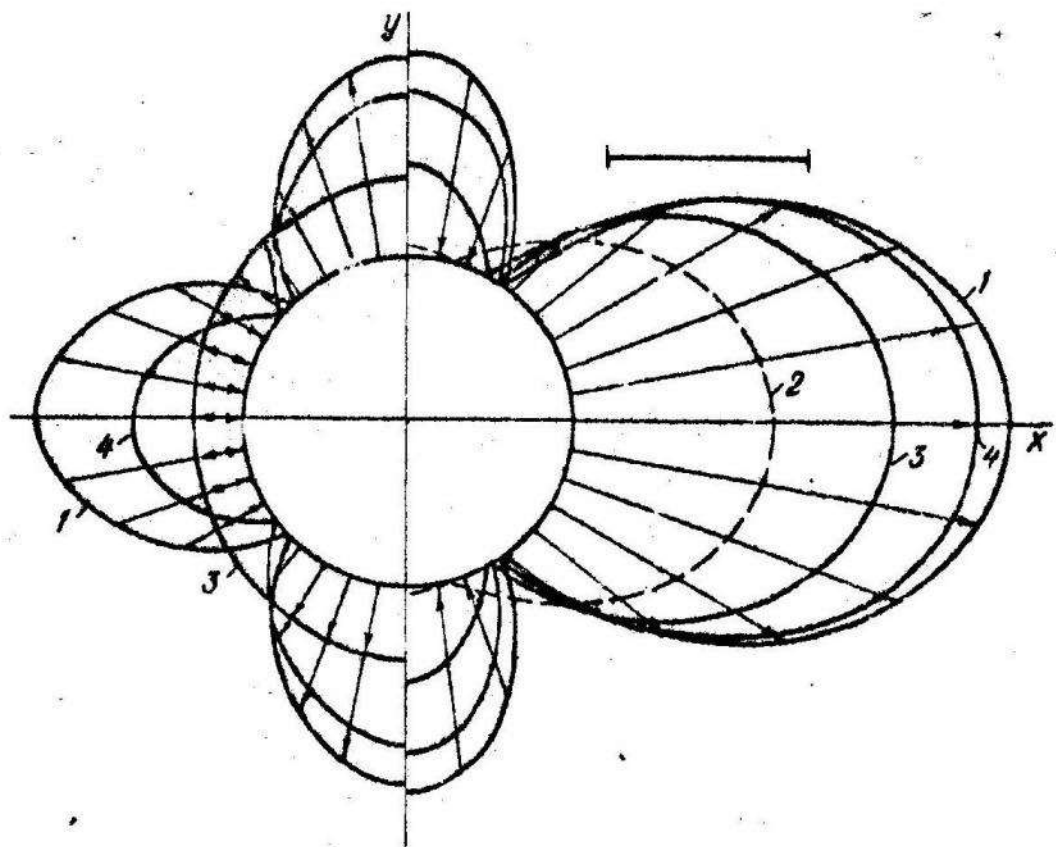


Рис. 2.

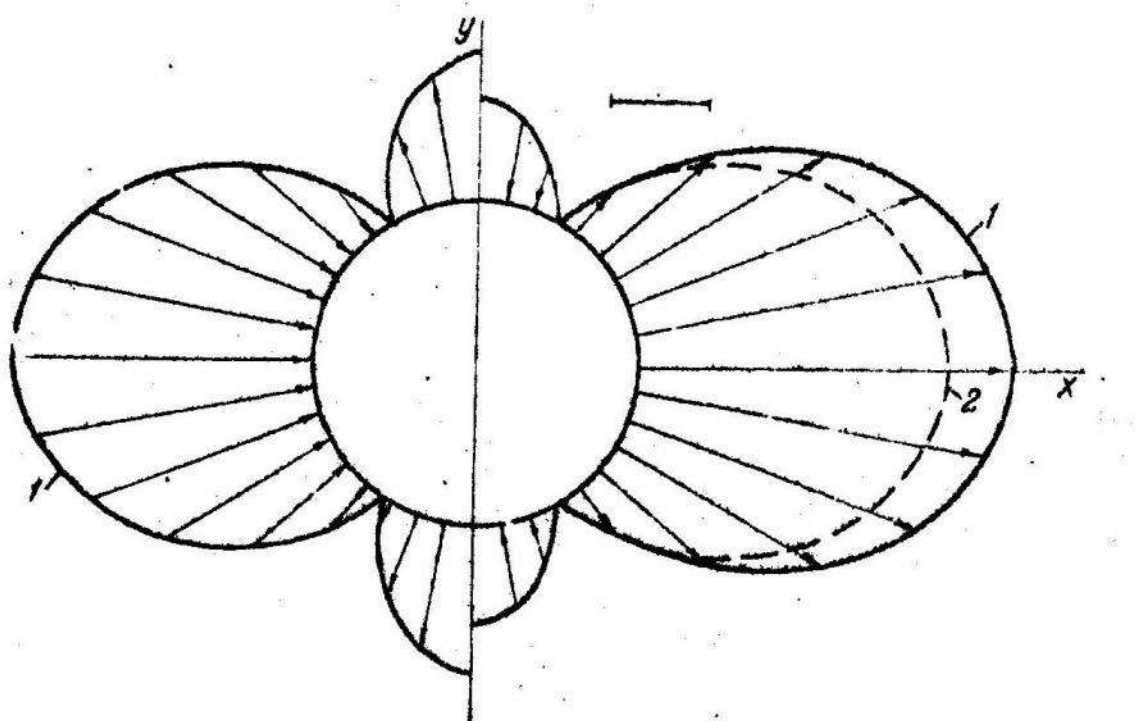


Рис. 3.

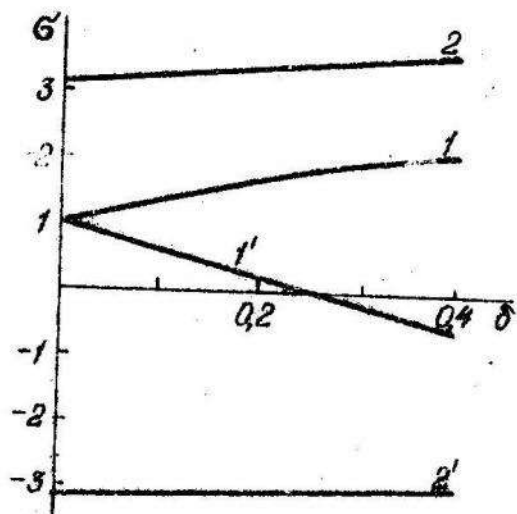


Рис. 4.

ЛІТЕРАТУРА

- Мусхелишвили Н.И. Некоторые основные задачи математической теории упругости. М., Изд-во АН СССР, 1954.
- Савин Г.Н. Концентрация напряжений около отверстий. М., Гостехиздат, 1961.

УДК 539.385

В.В.ПОРОХОВСЬКИЙ, О.П.ПІДДУБНИК

КРУЧЕННЯ ДВОШАРОВОГО ПРУЖНОГО ПАКЕТА ЖОРСТКИМ ВКЛЮЧЕННЯМ *

Задача про кручення круглим штампом пружного шару скінченної товщини розв'язана в роботі [4], а двошарового пружного середовища у [2].

1. У цій статті розглядається осесиметрична задача теорії пружності про кручення двошарового пакету, що займає область $-h_2 \leq z \leq h_1$, дископодібним жорстким включеннем /шайбою/, впяяним у площині спрямованої вгору.

*Робота виконана під науковим керівництвом проф.Д.В.Гриліцького

женні шарів $Z=0$, $0 \leq r \leq a$. Вважається, що включення перебуває під дією моменту кручення величини M .

Досліджуються випадки, коли поверхні пакета вільні від зусиль, нерухомо закріплені, або одна з його поверхонь закріплена, а інша вільна від навантаження /рис. 1, а, б, в/.

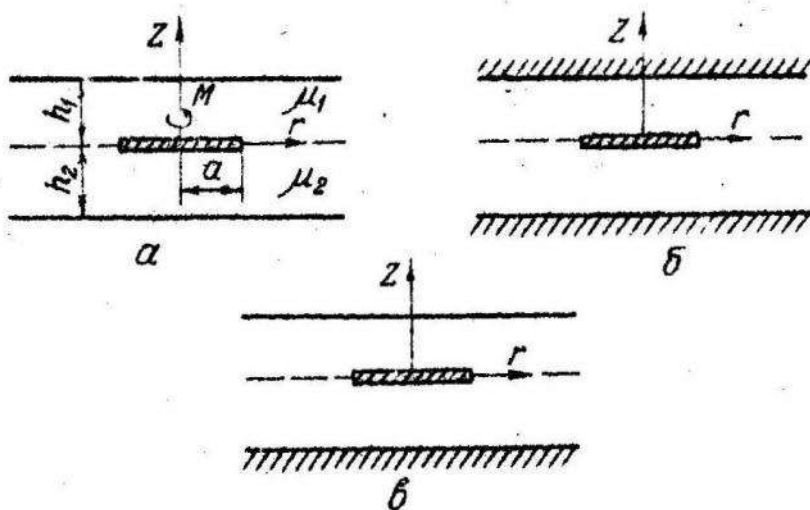


Рис. 1.

Розв'язання задачі зводиться до знаходження тангенціального зміщення U_θ з диференціального рівняння рівноваги [1]

$$\frac{\partial^2 U_\theta}{\partial z^2} + \frac{1}{r} \frac{\partial U_\theta}{\partial z} - \frac{U_\theta}{r^2} + \frac{\partial^2 U_\theta}{\partial r^2} = 0, \quad /1.1/$$

$$U_\theta = U = \begin{cases} U_1, & 0 \leq z \leq h_1, \\ U_2, & -h_2 \leq z \leq 0 \end{cases}$$

при таких граничних умовах

$$\lim_{z \rightarrow \infty} U_j(z, r) = 0 \quad (j=1,2), \quad /1.2/$$

$$\left. \begin{array}{l} U_1 = U_2 = 0, \quad 0 \leq r \leq a, \\ U_1 = U_2, \quad T_{\theta z}^{(1)} = T_{\theta z}^{(2)}, \quad r > a \end{array} \right\} \quad Z=0, \quad /1.3/$$

$$T_{\theta z}^{(1)}(r, h_1) = 0, \quad T_{\theta z}^{(2)}(r, -h_2) = 0, \quad r \geq 0, \quad /\text{задача 1, рис. 1, а}/, /1.4/$$

$$U_1(r, h_1) = 0, \quad U_2(r, -h_2) = 0, \quad r \geq 0, \quad /\text{задача 2, рис. 1, б}/, /1.5/$$

$$\tilde{U}_{\theta x}^{(0)}(z, h_1) = 0, U_2(z, -h_2) = 0, z \geq 0 \quad / \text{задача 3, рис. 1, в/ 1.6/}$$

α - кут повороту жорсткого відснення.

Компоненти тензора напружень визначаються за формулами

$$T_{\theta x} = \mu \frac{\partial u}{\partial x}, T_{x\theta} = \mu z \frac{\partial u}{\partial z} \quad / \mu - \text{модуль зусуву}. \quad / 1.7/$$

2. Використовуючи метод інтегрального перетворення Ханкеля, зведемо задачу до парних інтегральних рівнянь, які в свою чергу зведемо до інтегрального рівняння Фредгольма другого роду [4]

$$Y(x) + \frac{1}{\pi} \int_0^a K(x, t) Y(t) dt = \frac{4a}{\pi} (\mu_1 + \mu_2) x, \quad 0 \leq x \leq a \quad / 2.1/$$

в ядром

$$K(x, t) = 2 \int_0^a \left[\frac{\mu_1 + \mu_2}{\Phi(\xi)} - 1 \right] \sin x \xi \sin t \xi d\xi, \quad / 2.2/$$

де

$$\Phi(\xi) = \begin{cases} \mu_1 \operatorname{th} \xi h_1 + \mu_2 \operatorname{th} \xi h_2 & / \text{задача 1/}, \\ \mu_1 \operatorname{cth} \xi h_1 + \mu_2 \operatorname{cth} \xi h_2 & / \text{задача 2/}, \\ \mu_1 \operatorname{th} \xi h_1 + \mu_2 \operatorname{cth} \xi h_2 & / \text{задача 3/}. \end{cases} \quad / 2.3/$$

Інтегральне рівняння /2.1/ розв'яжемо методом послідовних наближень, рівномірна збіжність якого буде забезпеченна /для всіх трьох випадків/ [3] при $\lambda^* > 0,74$, де $\lambda^* = \min\{\lambda_1, \lambda_2\}$, $\lambda_j = \frac{h_j}{a}$ ($j = 1, 2$).

Таким чином,

$$Y(x) = \frac{4}{\pi} \delta a (\mu_1 + \mu_2) \sum_{n=1,3,5} a_n \left(\frac{x}{a} \right)^n, \quad 0 \leq x \leq a \quad / 2.4/$$

$$a_1 = 1 - \frac{L_2}{3} \delta^3 + \frac{L_4}{30} \delta^5 + \frac{L_2^2}{9} \delta^6 - \frac{L_6}{840} \delta^7,$$

$$a_3 = \frac{L_4}{18} \delta^5 - \frac{L_6}{180} \delta^7, \quad / 2.5/$$

$$a_5 = -\frac{L_6}{360} \delta^7,$$

тут $\delta = \frac{1}{\lambda_1 + \lambda_2}$

$$L_n = \frac{\delta}{\pi} \int_0^{\infty} \left[\frac{M_1 + M_2}{\Phi(2/a)} - 1 \right] \eta^n d\eta, \quad (n=2,4,6). \quad /2.6/$$

Переміщення в пакеті визначається за формулами

$$U_{ij}(z, z) = U_{ij}(r, z) = \int_0^a \int_0^\infty \Psi(t) \Psi_{ij}(\xi, z) \sin \xi t J_i(\xi y) dy dt, \quad /2.7/$$

де $\Psi_{ij}(\xi, z) =$

$$= \frac{sh \xi z + (-1)^i [\delta_{ij} th \xi h_1 + \delta_{2j} cth \xi h_1] + \delta_{3j} (\delta_{2i} cth \xi h_1 - \delta_{1i} th \xi h_1) ch \xi h_2}{\mu_1 [(1 - \delta_{2j}) th \xi h_1 + \delta_{2j} cth \xi h_1] + \mu_2 [\delta_{ij} th \xi h_2 + (1 - \delta_{ij}) cth \xi h_2]} \quad /2.8/$$

$i = 1, 2$; індекс $j = 1, 2, 3$ відповідає задачам 1, 2, 3,

δ_{ij} – символ Кронекера. Напруження легко одержати за формулами /1.7/. Момент кручення M зв'язаний з величиною кута повороту шайби з співвідношенням

$$M = -16a^3 d (\mu_1 + \mu_2) \sum_{n=0,2} \frac{a_{2n+1}}{2n+5}. \quad /2.9/$$

Характер напруженого стану пакета поблизу жорсткого віложения описується за допомогою коефіцієнта інтенсивності контактних напружень $C_{\theta z}$ [5].

$$C_{\theta z} = \lim_{z \rightarrow a} \left\{ \sqrt{2\pi(a-z)} \left[C_{\theta z}^{(1)}(z, 0) - C_{\theta z}^{(2)}(z, 0) \right] \right\} = -\sqrt{\frac{\pi}{a}} \Psi(a). \quad /2.10/$$

3. Для ілюстрації одержаних результатів наведено деякі числові підрахунки. У табл. 1,2 наведені значення моменту кручення

$m = M/M^\infty$ та коефіцієнта інтенсивності контактних напружень

$k = K_{\theta z}^{(1)} / K_{\theta z}^{(2)}$ залежно від параметрів λ_1 , λ_2 та $f = \mu_1 / \mu_2$.

Тут $M^\infty = -\frac{16}{3} d (\mu_1 + \mu_2)$, $K_{\theta z}^{(1)} = -4d \sqrt{\frac{\pi}{a}} (\mu_1 + \mu_2)$ – момент кручення та коефіцієнт інтенсивності контактних напружень, що відповідають задачі про кручення внутрішньою абсолютно жорсткою шайбою безмежного двошарового простору / $h_1 = h_2 = \infty$ /. На рис. 2, 3, 4 відповідно для задач 1, 2, 3 показано графіки залежностей m і k від товщини однорідного пакету / $f = 1$, $\mu_1 = \mu_2$ /.

Таблиця 1

Значення моменту кручення m при різних геометричних і пружних параметрах

| | | Задача 1 | | | | Задача 2 | | | | Задача 3 | | | |
|-----|-----|-------------|------------------|---------------|-----------------|-------------|------------------|---------------|-----------------|-------------|------------------|---------------|-----------------|
| | | λ_2 | $\lambda_1=0,75$ | $\lambda_1=2$ | $\lambda_1=100$ | λ_2 | $\lambda_1=0,75$ | $\lambda_1=2$ | $\lambda_1=100$ | λ_2 | $\lambda_1=0,75$ | $\lambda_1=2$ | $\lambda_1=100$ |
| 0,1 | 2 | 0,75 | 0,61 | 0,65 | 0,66 | 0,75 | 1,24 | 1,22 | 1,22 | 0,75 | 1,21 | 1,22 | 1,22 |
| | 100 | 0,96 | 0,99 | 0,99 | 0,99 | 1,04 | 1,01 | 1,01 | 1,01 | 0,98 | 1,01 | 1,01 | 1,01 |
| 0,5 | 2 | 0,75 | 0,61 | 0,76 | 0,77 | 0,75 | 1,24 | 1,18 | 1,18 | 0,75 | 1,11 | 1,17 | 1,18 |
| | 100 | 0,90 | 0,99 | 1,00 | 1,00 | 1,03 | 1,00 | 1,00 | 1,00 | 0,97 | 1,00 | 1,00 | 1,00 |
| 1 | 2 | 0,75 | 0,61 | 0,82 | 0,84 | 0,75 | 1,10 | 1,01 | 1,01 | 0,91 | 1,00 | 1,01 | 1,01 |
| | 100 | 0,90 | 0,99 | 1,00 | 1,00 | 1,00 | 1,10 | 1,00 | 1,00 | 0,90 | 0,99 | 1,00 | 1,00 |
| 100 | 2 | 0,75 | 0,61 | 0,82 | 0,84 | 0,75 | 1,24 | 1,14 | 1,14 | 0,75 | 1,02 | 1,14 | 1,14 |
| | 100 | 0,84 | 0,99 | 1,00 | 1,00 | 0,84 | 1,10 | 1,01 | 1,01 | 0,85 | 1,00 | 1,01 | 1,01 |

Таблиця 2

Значення коефіцієнту інтенсивності контактних напружень k при різних геометричних і пружних параметрах

| | | Задача 1 | | | | Задача 2 | | | | Задача 3 | | | |
|-----|-----|-------------|------------------|---------------|-----------------|-------------|------------------|---------------|-----------------|-------------|------------------|---------------|-----------------|
| | | λ_2 | $\lambda_1=0,75$ | $\lambda_1=2$ | $\lambda_1=100$ | λ_2 | $\lambda_1=0,75$ | $\lambda_1=2$ | $\lambda_1=100$ | λ_2 | $\lambda_1=0,75$ | $\lambda_1=2$ | $\lambda_1=100$ |
| 0,1 | 2 | 0,75 | 0,47 | 0,53 | 0,54 | 0,75 | 1,35 | 1,32 | 1,32 | 0,75 | 1,30 | 1,32 | 1,32 |
| | 100 | 0,95 | 0,99 | 0,99 | 0,99 | 1,05 | 1,01 | 1,01 | 1,01 | 0,97 | 1,01 | 1,01 | 1,01 |
| 0,5 | 2 | 0,75 | 0,47 | 0,67 | 0,69 | 0,75 | 1,35 | 1,25 | 1,25 | 0,75 | 1,14 | 1,24 | 1,25 |
| | 100 | 0,81 | 0,99 | 0,99 | 0,99 | 1,14 | 1,01 | 1,01 | 1,01 | 0,87 | 1,00 | 1,01 | 1,01 |
| 1 | 2 | 0,75 | 0,47 | 0,76 | 0,78 | 0,75 | 1,14 | 1,00 | 1,00 | 0,86 | 1,00 | 1,00 | 1,00 |
| | 100 | 0,76 | 0,99 | 0,99 | 0,99 | 1,20 | 1,01 | 1,01 | 1,01 | 0,79 | 1,00 | 1,01 | 1,01 |
| 100 | 2 | 0,75 | 0,47 | 0,76 | 0,78 | 0,75 | 1,19 | 1,01 | 1,01 | 0,78 | 1,00 | 1,00 | 1,00 |
| | 100 | 0,78 | 0,99 | 1,00 | 1,00 | 0,78 | 1,19 | 1,01 | 1,01 | 0,78 | 1,00 | 1,00 | 1,00 |

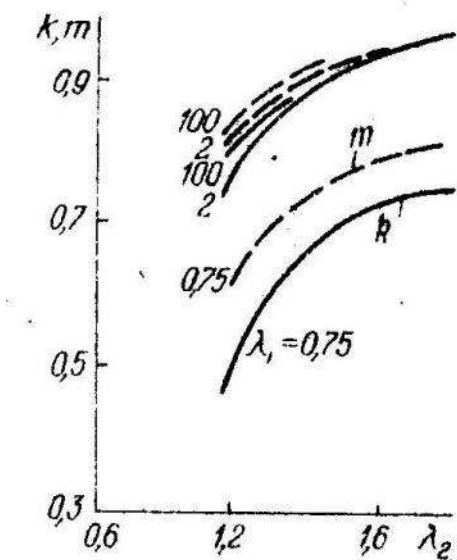


Рис. 2.

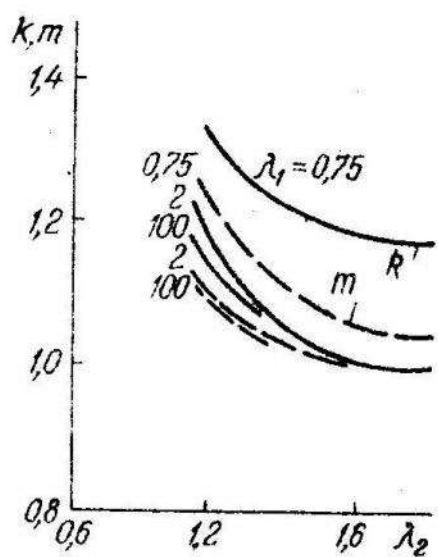


Рис. 3.

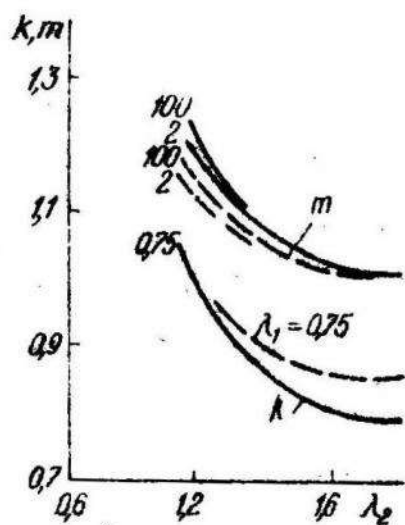


Рис. 4.

ЛІТЕРАТУРА

1. Арутюнян Н.Х., Абрамян Б.Л. Кручение упругих тел. М. Физматгиз, 1963.
2. Гриліцький Л.В. Кручение двошарового пружного середовища. - "Прикладна механіка", 1961, т. 7, вип. 1.
3. Забрєйко П.П. [и др.] Интегральные уравнения. М., "Наука", 1968.
4. Уфлянд Я.С. Интегральные преобразования в задачах теории упругости. Л., "Наука", 1967.
5. Черепанов Г.П. Механика хрупкого разрушения. М., "Наука", 1974.

УДК 539.3

В.Є.ЮРІНЦЬ

НАПРУЖЕНИЙ СТАН ПРУЖНОЇ ПЛАСТИНКИ З НЕСИМЕТРИЧНО ПІДКРІПЛЕНИМ КРАЄМ

Розглянемо пружну напіввісмежну пластинку $y < 0$ товщини $2h$, прямолінійний край якої по всій довжині несиметрично підкріплений пружним стержнем сталого перерізу. Підкріплюючий стержень спаяний з

пластинкою до деформації таким чином, що вісь стержня паралельно зміщена від серединної площини пластинки на деяку величину ξ_0 /екцентриситет підкріплення/. Спряження пластинки зі стержнем грунтуються на гіпотезі нормального плоского перерізу. До стержня прикладені зовнішні згинальні моменти $m(x)$, перерізувальні сили $P(x)$, нормальні і тангенціальні зусилля $N(x)$, $T(x)$. Із боку стержня на пластинку передаються контактні згинальні моменти $m^{(i)}(x)$, перерізувальні сили $P^{(i)}(x)$ і зусилля $N^{(i)}(x)$, $T^{(i)}(x)$. Отже, на контурі сплошної пластинки зі стержнем маємо умови спряження /рис. 1/.

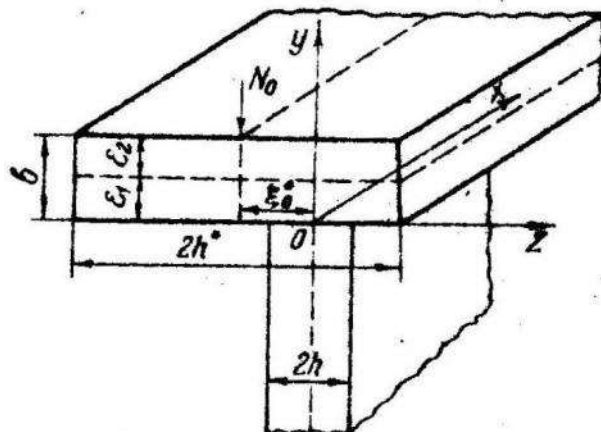


Рис. 1.

$$(u_{y=0} = u_i, \quad v_{y=0} = v_i, \quad w_{y=0} = w_i, \quad \left(\frac{dw}{dy}\right)_{y=0} = \frac{dw_i}{dy}, \quad (6_y)_{y=0} = N^{(i)}(x), \quad (\hat{\epsilon}_{xy})_{y=0} = T^{(i)}(x), \quad (M_y)_{y=0} = m^{(i)}(x), \quad (N_y + \frac{\partial H_{xy}}{\partial x})_{y=0} = P^{(i)}(x))$$

/1/

Незалежно від виду навантаження при ексцентриситеті підкріплення нерівному нулю в пластинці виникають узагальнено плоский і згинальний напружені стани. При $\xi_0^* = 0$ задача розділяється на плоску і згин.

Надалі будемо користуватися інтегральним перетворенням Фур"є за зміною x

$$\tilde{F}(\lambda) = \frac{1}{\sqrt{2\pi}} \int_{-\infty}^{\infty} F(x) e^{i\lambda x} dx, \quad F(x) = \frac{1}{\sqrt{2\pi}} \int_{-\infty}^{\infty} \tilde{F}(\lambda) e^{-i\lambda x} d\lambda. \quad /2/$$

Виходячи з теорії криволінійного стержня і прийнявши, що радіус кривизни дорівнює бессмежності, одержимо диференціальні рівняння для компонент вектора зміщення елементів волокна стержня, що перебуває в контакті з пластинкою, які в області інтегрального перетворення Фур"є мають вигляд

$$\begin{aligned} i\lambda^3 \ddot{u}_1 &= i\lambda \frac{\epsilon_1}{g_1} \tilde{T} - 2i\lambda h \left(\frac{1}{g_1} + \frac{\epsilon_1^2}{h^2} \right) \tilde{T}^{(i)} - \frac{2h\epsilon_1}{g_2} \tilde{N}^{(i)} + \frac{2h\epsilon_1}{g_2} \tilde{P}^{(i)} - \frac{\epsilon_1^2}{h} \tilde{P}, \\ \lambda^4 \ddot{v}_1 &= \frac{2h^2}{g_2} \tilde{N} - \frac{2h}{g_2} \tilde{N}^{(i)} - i\lambda \frac{2h\epsilon_1}{g_2} \tilde{T} - i\lambda \frac{2h\epsilon_1}{g_2} \tilde{T}^{(i)}, \\ \ddot{w}_1 &= \frac{1}{\lambda^2} \tilde{P} - \frac{1}{\lambda^2} \tilde{P}^{(i)} + i \frac{2h\epsilon_1^2}{\lambda^2} \tilde{T}^{(i)} - \frac{\epsilon_1}{\lambda^2 C} \tilde{m}^{(i)} + \frac{\epsilon_1}{\lambda^2 C} \tilde{m} - \frac{2h\epsilon_1^2 \epsilon_2}{\lambda^2 C} \tilde{N}^{(i)} - \frac{\epsilon_1 \epsilon_2}{\lambda^2 C} \tilde{P} - \frac{\epsilon_1^2}{\lambda^2 C} \tilde{P}^{(i)}, \\ \frac{dw_1}{dy} &= \frac{1}{\lambda^2 C} \tilde{m}^{(i)} - \frac{1}{\lambda^2 C} \tilde{m} + \frac{2h\epsilon_1^2}{\lambda^2 C} \tilde{N}^{(i)} + \frac{\epsilon_1}{\lambda^2 C} \tilde{P} + \frac{\epsilon_1}{\lambda^2 C} \tilde{P}^{(i)}, \end{aligned} \quad /3/$$

де $\frac{1}{g_1} = \frac{f}{g_1} + \frac{\epsilon_1^2}{h^2}$; $\frac{1}{g_2} = \frac{f}{g_1} - \frac{\epsilon_1 \epsilon_2}{g_2}$; ϵ_1 і ϵ_2 - відстані волокон стержня від нейтрального шару /осі/ відповідно внутрішнього та зовнішнього краю; $f = \epsilon_1 + \epsilon_2$ - висота стержня; $2h$ - товщина пластинки; $2h^2$ - товщина того краю стержня, який не дотикається до пластинки; $g_1 = E^* F_0$ - корсткість стержня на розтяг; $g_2 = E^* J_x$, $A = E^* J_y$ - корсткості стержня на згин; C - корсткість стержня на крученні; F_0 - площа поперечного перерізу стержня; E^* - модуль пружності матеріалу стержня; J_x і J_y - моменти інерції перерізу.

У трансформантах Фур"є /2/ формули, що зв'язують компоненти переміщень елементів границі пружної півплощини з прикладеними до границі півплощини зусиллями /1/ мають вигляд [1]

$$(i\lambda^3 \bar{U})_{y=0} = \lambda^2 (\alpha_1 \bar{N}^{(i)} + \beta_1 \bar{T}^{(i)}), \quad (\lambda^3 \bar{U})_{y=0} = i\lambda^3 (\alpha_2 \bar{N}^{(i)} + \beta_2 \bar{T}^{(i)}),$$

$$(\bar{W})_{y=0} = \frac{\delta_1}{\lambda^2} \bar{m}^{(i)} - \frac{i\delta_1}{\lambda^3} \bar{P}^{(i)}, \quad \left(\frac{d\bar{w}}{dy}\right)_{y=0} = -\frac{i\delta_1}{\lambda} \bar{m}^{(i)} - \frac{\delta_1}{\lambda^2} \bar{P}^{(i)} \quad /4/$$

Тут введено позначення

$$\begin{aligned} \alpha_1 &= \mu_1 \mu_2 \alpha_{11} - \alpha_{12}, \quad \alpha_2 = \mu_1 \mu_2 (\mu_1 + \mu_2) \alpha_{11} - 2\mu_1 \mu_2 \alpha_{16} + \alpha_{20}, \quad \beta_1 = (\mu_1 + \mu_2) \alpha_{11} - \alpha_{16}, \\ \beta_2 &= (\mu_1^2 + \mu_1 \mu_2 + \mu_2^2) \alpha_{11} - 2(\mu_1 + \mu_2) \alpha_{16} + \alpha_{12} + \alpha_{10}, \quad \delta_1 = \frac{1}{D_0} [(\mu_1^2 + \mu_2^2) D_{22} + 2D_{66}], \\ \delta_1' &= \frac{1}{D_0} [(\mu_1^{**2} + \mu_1^* \mu_2^* + \mu_2^{**2}) D_{22} + 4(\mu_1^* + \mu_2^*) D_{26} + D_{12} + 4D_{66}], \quad \delta_2 = \frac{1}{D_0} [(\mu_1^* \mu_2^*) D_{22} - D_{12}], \\ \delta_2' &= \frac{1}{D_0} [(\mu_1^* \mu_2^*) (\mu_1^* + \mu_2^*) D_{22} + 4\mu_1^* \mu_2^* D_{26} - 2D_{12}], \quad D_0 = \mu_1^* \mu_2^* D_{22}^2 + 2\mu_1^* \mu_2^* (\mu_1^* + \mu_2^*) D_{26} D_{12} + 1/5/ \\ &+ 8\mu_1^* \mu_2^* D_{26}^2 + (\mu_1^{**2} + \mu_1^* \mu_2^* + \mu_2^{**2}) D_{16} D_{22} + 4(\mu_1^* + \mu_2^*) D_{16} D_{26} + D_{16} (D_{12} + 4D_{66}) - \\ &- \mu_1^* \mu_2^* D_{22} (D_{12} + 4D_{66}) - 2(\mu_1^* + \mu_2^*) D_{12} D_{16} - 4D_{26} D_{16}, \end{aligned}$$

де α_{ij} і D_{ij} – пружні і корсткосні сталі анізотропної пластинки; μ_1 і μ_2 , μ_1^* і μ_2^* – корені наступних характеристичних рівнянь

$$\begin{aligned} \alpha_{11} \mu^4 - 2\alpha_{16} \mu^3 + (2\alpha_{12} + \alpha_{20}) \mu^2 - 2\alpha_{16} \mu + \alpha_{22} &= 0, \\ D_{22} \mu^{**4} + 4D_{26} \mu^{**3} + 2(D_{12} + 2D_{66}) \mu^{**2} + 4D_{16} \mu^* + D_{11} &= 0. \end{aligned} \quad /6/$$

У випадку, коли матеріал пластинки ізотропний, то вирази /5/ спрощаються і записуються таким чином:

$$\alpha_1 = \alpha_2 = -\frac{1-\nu}{E}, \quad \beta_1 = -\alpha_2 = \frac{2\nu}{E}, \quad \delta_1 = \delta_2 = -\frac{1+\nu}{D(1-\nu)(3+\nu)}. \quad /7/$$

де E – модуль пружності матеріалу пластинки; ν – коефіцієнт Пуассона; $D = \frac{2Eh^3}{3(1-\nu^2)}$ – циліндрична корсткість пластинки.

Спряжені відповідно рівняння /3/ і /4/ згідно з граничними умовами /1/, одержуємо систему чотирьох алгебраїчних рівнянь відносно трансформант $\bar{N}^{(i)}$, $\bar{T}^{(i)}$, $\bar{P}^{(i)}$ і $\bar{m}^{(i)}$. Розв'язуючи цю систему рівнянь і використовуючи інтегральне перетворення Фур'є /2/, знайдемо розподіл контактних зусиль на контурі сплошої пластинки зі стержнем,

Наприклад, у випадку навантаження підкріпленого стержня моментом $m(x)$ одержимо

$$N^{(i)}(x) = \int_{-\infty}^{\infty} R_i(\lambda) d\lambda \int m(t) e^{-i\lambda(t-x)} dt,$$

$$T^{(i)}(x) = \int_{-\infty}^{\infty} R_i(\lambda) d\lambda \int m(t) e^{-i\lambda(t-x)} dt, \quad 181$$

$$P^{(i)}(x) = \int_{-\infty}^{\infty} R_i(\lambda) d\lambda \int m(t) e^{-i\lambda(t-x)} dt,$$

$$m^{(i)}(x) = \int_{-\infty}^{\infty} R_i(\lambda) d\lambda \int m(t) e^{-i\lambda(t-x)} dt,$$

$$R(\lambda) = -\lambda \frac{\epsilon_1 \beta_2}{C} (\alpha_1 \beta_2 - \alpha_2 \beta_1) [\lambda^3 - i \frac{f_1}{\epsilon_1 f_2} (\delta_1 \delta_2 - \delta_2 \delta_1 - \frac{\epsilon_1 \delta_2}{C} - \frac{\epsilon_2 \delta_1}{C}) \lambda^2 + \frac{C}{\epsilon_1 f_2} (\frac{f_1}{A} - \frac{f_2}{A}) \lambda^2 - i \frac{1}{\epsilon_1^2 A f_2}] \left\{ \lambda^4 - i \frac{2h d_2}{\alpha_1 \beta_2 - \alpha_2 \beta_1} \left(\frac{f_1}{g_1} + \frac{\zeta_0''^2}{A} \right) \lambda^3 + \frac{2h \epsilon_1 (\alpha_1 + \beta_2)}{g_2 (\alpha_1 \beta_2 - \alpha_2 \beta_1)} \lambda^2 + i \frac{2h \beta_1}{g_2 (\alpha_1 \beta_2 - \alpha_2 \beta_1)} \lambda - \frac{4h^2}{g_2 (\alpha_1 \beta_2 - \alpha_2 \beta_1)} \left(\frac{f_1}{g_1} + \frac{\zeta_0''^2}{A} \right) + \frac{2h \zeta_0''^2 \beta_2}{\epsilon_1 A (\alpha_1 \beta_2 - \alpha_2 \beta_1)} \right\}, \quad 191$$

$$\times \left\{ \frac{\lambda^5 + i \left(\frac{d_1}{\epsilon_1 f_2} + \frac{d_2}{\epsilon_2 f_1} \right) \lambda^4 + \left(\frac{2h \epsilon_1}{g_2 \beta_2} + \frac{d_2}{\epsilon_2 f_1} \right) \lambda^3 + i \frac{2h \delta_1}{g_2 \beta_2 f_1} \lambda^2 + \frac{2h C}{\epsilon_1 f_2 g_2 \beta_2} \lambda - i \frac{2h}{\epsilon_1 g_2 A f_2 \beta_2} }{\lambda^3 - i \frac{C}{\epsilon_1 f_2} (\delta_1 \delta_2 - \delta_2 \delta_1 - \frac{\epsilon_1 \delta_2}{C} - \frac{\epsilon_2 \delta_1}{C}) \lambda^2 + \frac{C}{\epsilon_1 f_2} (\frac{f_1}{A} - \frac{f_2}{A}) \lambda - i \frac{1}{\epsilon_1^2 A f_2}} \right\}, \quad 101$$

$$R_1(N) = \lambda^3 \frac{\epsilon_1 \zeta_0'' \beta_2 f_1}{AC} \left(\lambda^3 + i \frac{\delta_1}{\epsilon_1 f_2} \lambda^2 + \frac{2h \epsilon_1}{g_2 \beta_2} \lambda + i \frac{2h \delta_1}{g_2 \beta_2 f_1} \right),$$

$$R_2(N) = \lambda^2 \frac{\epsilon_1 \zeta_0'' \alpha_2 \delta_2}{AC} \left(\lambda^4 + i \frac{f_1}{\epsilon_1 f_2} \lambda^3 - i \frac{2h}{g_2 \delta_2} \lambda + \frac{2h}{\epsilon_1 g_2 \alpha_2 f_1} \right), \quad 111$$

$$R_3(N) = -\lambda^3 \frac{\epsilon_1 \delta_2}{C} (\alpha_1 \beta_2 - \alpha_2 \beta_1) \left(\lambda + i \frac{f_1}{\epsilon_1 f_2} \right) \left[\lambda^4 - i \frac{2h d_2}{\alpha_1 \beta_2 - \alpha_2 \beta_1} \left(\frac{f_1}{g_1} + \frac{\zeta_0''^2}{A} \right) + \frac{2h \epsilon_1 (\alpha_1 + \beta_2)}{g_2 (\alpha_1 \beta_2 - \alpha_2 \beta_1)} \lambda^2 + i \frac{2h \beta_1}{g_2 (\alpha_1 \beta_2 - \alpha_2 \beta_1)} \lambda - \frac{4h}{g_2 (\alpha_1 \beta_2 - \alpha_2 \beta_1)} \left(\frac{f_1}{g_1} + \frac{\zeta_0''^2}{A} \right) \right], \quad 121$$

$$\begin{aligned}
R_4(\lambda) = & -i\lambda \frac{\epsilon_1 \delta_2}{C} (\alpha_1 \beta_1 - \alpha_2 \beta_2) (\lambda^2 + i \frac{\delta_1}{E_1 \delta_2} \lambda - \frac{1}{E_1 \delta_2}) \left[\lambda^4 - i \frac{2h \alpha_2}{\alpha_1 \beta_1 - \alpha_2 \beta_2} \left(\frac{1}{g_1} + \frac{\zeta_0''}{A} \right) \lambda^3 + \right. \\
& + \frac{2h \epsilon_1 (\alpha_1 + \beta_1)}{g_2 (\alpha_1 \beta_2 - \alpha_2 \beta_1)} \lambda^2 + i \frac{2h \beta_1}{g_2 (\alpha_1 \beta_2 - \alpha_2 \beta_1)} \lambda - \frac{4h^2}{g_2 (\alpha_1 \beta_2 - \alpha_2 \beta_1)} \left(\frac{1}{g_1} + \frac{\zeta_0''}{A} \right) - \\
& \left. - i \frac{2h \zeta_0''^2 \alpha_2}{E_1 \delta_2 (\alpha_1 \beta_2 - \alpha_2 \beta_1)} \left(\frac{\lambda^3 - i \frac{2h}{g_2 \alpha_2}}{\lambda^2 + i \frac{\delta_1}{E_1 \delta_2} \lambda - \frac{1}{E_1 \delta_2}} \right) \right]. \quad /13/
\end{aligned}$$

У випадку симетричного підкріплення ($\zeta_0'' = 0$) формулі /8/, що дають закон розподілу контактних зусиль на контурі сплошної півплощини з стержнем, збігається з відповідними формулами роботи [2].

Якщо на стержень діє зосереджений момент m_0 , прикладений на початку координат, то в формулі /8/ необхідно прийняти

$$m(t) = -m_0 \delta(t), \quad /14/$$

і врахувати, що

$$\int_{-\infty}^{\infty} \delta(t) e^{-i\lambda(t-x)} dt = e^{i\lambda x}, \quad /15/$$

де $\delta(t)$ – функція Дірака.

На рис. 2, 3 показана залежність нормальної складової контактних зусиль $N^{(i)}$ і моменту $m^{(i)}$ від ексцентриситету підкріплення ζ_0'' при наступних пружних, жорсткосніх і геометричних даних:

для ізотропної пластинки і стержня

$$\begin{aligned}
\frac{\rho h}{L} = & 2.5; \quad B = 2h; \quad \frac{E''}{E} = 2; \quad \nu'' = \nu = 0.3; \quad C = \frac{E'' \alpha_2 B^3 h^4}{(1+\nu'')^2}; \quad J = 9249; \quad /16/ \\
\epsilon_1 = & \epsilon_2 = h; \quad g_1 = 2E'' B h''; \quad g_2 = \frac{1}{6} h'' B^3 E''; \quad \lambda = \frac{1}{3} E'' h^{-3} B;
\end{aligned}$$

для ортотропної пластинки

$$\frac{E_L}{E_1} = 5.97; \quad \frac{E''}{E_1} = 3.655; \quad \frac{E''}{E_2} = 5294; \quad J = 912. \quad /17/$$

На рис. 2, 3 криві 1-для ізотропної пластинки, а криві 2-для ортотропної пластинки. Обчислення проводили на ЕОМ "Мінск-22".

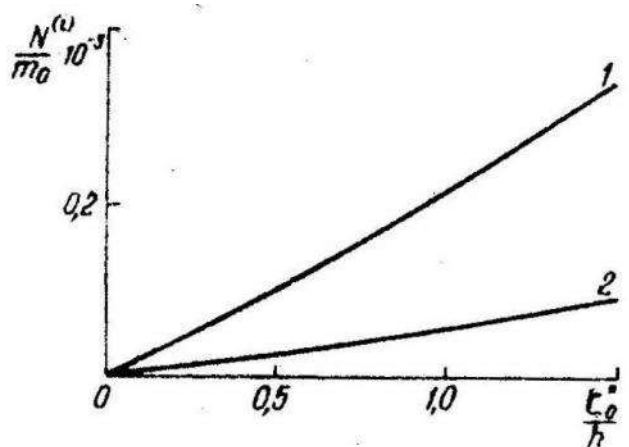


Рис. 2.

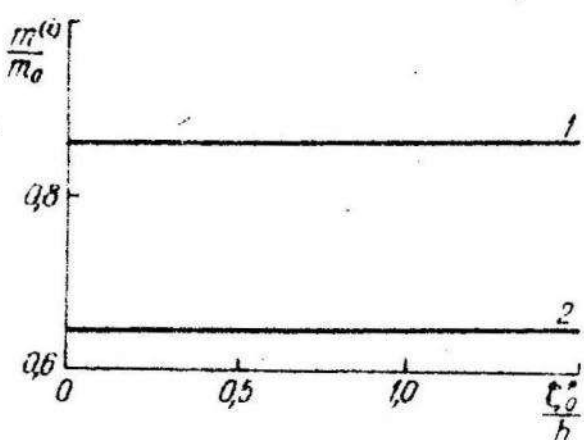


Рис. 3.

Л И Т Е Р А Т У Р А

1. Л е х н и ц к и й С.Г. Анизотропные пластинки. М., Гостехиздат, 1957.
2. М а р т и н о в и ч Т.Л. Анизотропная полуплоскость с подкрепленным краем. - "Инженерный журнал", 1965, т. V, вып. 2.

Р.І.МОКРИК, В.О.ПИР"ЕВ
 КОНТАКТНА ЗАДАЧА ТЕРМОПРУЖНОСТІ ДЛЯ СМУГИ МАЛОЇ
 ТОВЩИНИ

Нехай у пружну смугу товщиною h , що лежить на жосткій півплощині, під дією сили і моменту втискується гладкий штамп, нагрітий до температури $T(x)$. Зовні штампа смуга вільна від навантаження і температура її границі дорівнює нулеві. Якщо смуга лежить без тертя на півплощині, то відповідну задачу назовемо задачею 1, якщо смуга зчеплена нерухомо з основою - задачею 2. Тепловий контакт між смugoю і основою вважається ідеальним. Необхідно визначити контактні напруження під штампом $q(x)$.

Методами операційного числення описані задачі зводяться до знаходження функції $q^*(x)$ з наступного інтегрального рівняння першого роду:

$$\int_{-1}^1 q^*(\xi) K_m \left(\frac{x-\xi}{\lambda} \right) d\xi = Tf(x) - \int_{-1}^1 t(\xi) \theta_m \left(\frac{x-\xi}{\lambda} \right) d\xi; \quad /1/ \\ -1 \leq x \leq 1$$

де $\lambda = ha^{-1}$, $f(x) = E[2\alpha(1-\nu^2)]^{-1} \delta(xa)$, $q^*(x) = q(xa)$, $t(\xi) =$

$$= E \lambda \tau [2(1-\nu)]^{-1} T(\xi a), \quad 2a - \text{величина площини контакту}; \\ \delta(xa) - \text{осадка поверхні смуги в області контакту}.$$

Підра інтегральних рівнянь $K_m(t)$ і функції $\theta_m(t)$ мауть вигляд:

$$K_m(t) = \int_0^\infty \frac{L_m(u)}{u} \cos tu du; \quad \theta_m(t) = \int_0^\infty \frac{N_m(u)}{u} \cos tu du;$$

$$L_1(u) = \frac{\cosh 2u - 1}{5 \sinh 2u + 2u}; \quad L_2(u) = \frac{(3-4\nu) \sinh ch u - u}{u^2 + 4(1-\nu)^2 + (3-4\nu) \sinh^2 u};$$

$$N_1(u) = \frac{\lambda^* + L_1(u)}{1 + \lambda^* \operatorname{cthu}}; \quad \lambda^* = \frac{\lambda c}{\lambda n};$$

$m = 1, 2$ відповідають номерам задач; λ_c , λ_n – відповідно коефіцієнт теплопровідності матеріалу смуги і півплощини

$$N_2(u) = 2(1-\nu) \frac{u(\lambda^* - \lambda^*(1-2\nu))thu - 2(1-\nu)}{[u^2 + 4(1-\nu)^2 + (3-4\nu)sh^2 u](\lambda^* + thu)} + \frac{\lambda^* thu + 1}{\lambda^* + thu}.$$

Якщо прийняти температуру штампа $T(x) = 0$, з інтегральних рівнянь /1/ випливають рівняння чисто силових контактних задач, досліджених в роботах [1-4].

Зауважимо, що випадок $\lambda^* = 0$ відповідає підтримуванню нижньої границі смуги при нульовій температурі, а $(\lambda^*)^{-1} = 0$ теплоізоляції нижньої границі смуги. Для цих випадків введемо позначення

$$N_m(u) = N_{mj}(u)$$

$j = 1$, коли $\lambda^* = 0$ і $j = 2$, якщо $(\lambda^*)^{-1} = 0$.

Неважко показати, що функції $N_{mj}(u)U^{-1}$ поряд з функціями $L_m(u)U^{-1}$, які описані в роботі [4], зберігають ті ж самі властивості.

Асимптотичні при малих λ розв'язки інтегральних рівнянь /1/ можна одержати шляхом послідовних наближень.

Якщо $t(\xi)$ зобразити у вигляді

$$t(\xi) = \Psi_+(\frac{1+\xi}{\lambda}) + \Psi_-(\frac{1-\xi}{\lambda}) - \Psi_t(\xi),$$

то розв'язок інтегрального рівняння /1/ у загальному випадку можна записати у формі

$$q(\xi) = q_0(\xi) + \sum_{n=1}^{\infty} [\bar{\omega}_+''(\frac{1+\xi}{\lambda}) + \bar{\omega}_-''(\frac{1-\xi}{\lambda})]; \quad |\xi| \leq 1 \quad /2/$$

$$q_0(\xi) = \omega_+''(\frac{1+\xi}{\lambda}) + \omega_-''(\frac{1-\xi}{\lambda}) - \omega_t(\xi).$$

Функції $\bar{\omega}_+''(t)$ визначаються послідовно зі співвідношень

$$\int_0^{\infty} \bar{\omega}_+''(\tau) K_m(\tau-t) d\tau = \int_{\frac{2}{\lambda}}^{\infty} \bar{\omega}_+''(\tau) K_m(\frac{2}{\lambda} - \tau - t) d\tau - \\ - \delta_m^n \int_{\frac{2}{\lambda}}^{\infty} \left\{ \Psi_+(\tau) - \Psi_t(\lambda\tau - 1) \right\} \theta_{mj}(\frac{2}{\lambda} - \tau - t) d\tau; \quad /3/$$

$$\bar{\omega}_i^o(t) = \omega_i^o(\epsilon) - \omega_i[\tau(\lambda t - 1)]; \quad \delta_i^n = \begin{cases} 1 & n=1 \\ 0 & n>1 \end{cases}$$

Застосовуючи перетворення Фур'є, функцію $\omega_i(t)$ можна записати у вигляді

$$\omega_i(t) = \int_{-\infty}^{\infty} \frac{\bar{\Phi}(\eta)}{K_m(\eta)} e^{-i\eta \epsilon \lambda^{-1}} d\eta + \int_{-\infty}^{\infty} \frac{\bar{\Psi}(\eta) \bar{\Theta}_{mj}(\eta)}{\bar{K}_m(\eta)} e^{-i\eta \epsilon \lambda^{-1}} d\eta,$$

де $\bar{K}_m(z) 2^{-z}$, $\bar{\Theta}_{mj}(z) 2^{-z}$, $\bar{\Psi}(z)$ - трансформанти Фур'є відповідно функцій $K_m(t)$, $\Theta_{mj}(t)$, $\Psi_i(\lambda t)$, а

$$\bar{\Phi}(z) = \frac{1}{2\pi i \lambda^2} \int_{-\infty}^{\infty} [f(t) + f_+(t) + f_-(t)] e^{izt \lambda^{-1}} dt.$$

Функції $f_-(t)$, $f_+(t)$ є продовженням функції $f(t)$ довільним чином відповідно в області $-\infty < t < -1$ і $1 < t < \infty$

Використовуючи метод Вінера - Хопфа функції $\omega_i^o(\xi)$ визначаємо за формулами

$$\omega_i^o(\xi) = S(\xi) \mathcal{H}_i + S(\xi) \chi_i \quad (4)$$

Тут введені позначення:

$$\mathcal{H}_i(t) = \int_{-\infty+i\epsilon}^{\infty+i\epsilon} \bar{\Phi}_i(\eta) \chi(t, \eta) d\eta, \quad \chi(t, \eta) = \frac{e^{i\eta \epsilon \lambda^{-1}}}{\bar{K}_m(\eta)(\eta - t)},$$

$$\chi_i(t) = \int_{-\infty+i\epsilon}^{\infty+i\epsilon} \bar{\Psi}_i(\eta) \chi(t, \eta) d\eta, \quad \chi(t, \eta) = \frac{\bar{\Theta}_{mj}(\eta)}{\bar{K}_m(\eta)(\eta - t)},$$

$$\bar{\Psi}_i(\eta) = \frac{1}{2\pi i \lambda^2} \int_0^{\infty} \Psi_i(\xi) e^{i\eta \xi \lambda^{-1}} d\xi, \quad S(x) f = \int_{-\infty+i\epsilon}^{\infty+i\epsilon} \frac{f(t) e^{-itx}}{2\pi i \bar{K}_m^+(t)} dt.$$

$\epsilon > 0$; ϵ - як завгодно мале фіксоване число

$$\bar{\Phi}_i(\eta) = \frac{1}{2\pi \lambda^2} \int_{-\infty}^{\infty} [f(\pm \xi) + f_+(\pm \xi)] e^{i\eta \xi \lambda^{-1}} d\xi$$

$\bar{K}_m(z) = \bar{K}_m^+(z) \bar{K}_m^-(z)$, причому $\bar{K}_m^+(z)$ - регулярна функція в області $SU(Im z > 0)$; $\bar{K}_m^-(z)$ - регулярна функція в області $SU(Im z < 0)$; S - область регулярності функції $\bar{K}_m(z)$ і в якій відсутні нулі.

$$\text{Розглянемо важливий частинний випадок } f(x) = E\delta [2\alpha(1-\nu^2)]^{-1} = f_0 = \text{const}, t(x) = Ed_T T_0 [2(1-\nu)]^{-1} = t_0 = \text{const}$$

/плоский штамп нагрітий до постійної температури/. Тоді $\omega_t(x)$ матиме вигляд

$$\omega_t(x) = f_0 (\mathcal{D}_m \lambda)^{-1} + t_0 A_{mj} \mathcal{D}_m^{-1}.$$

Використовуючи тільки наближеної факторизації [6], апроксимуємо функції $L_m(u) u^{-1}$ і $N_{mj}(u) u^{-1}$ виразами

$$\frac{L_m(u)}{u} \sim \frac{\sqrt{u^2 + \beta_m^2}}{u^2 + c_m}; \quad \frac{N_{mj}(u)}{u} \sim \frac{\sqrt{u^2 + \beta_{mj}^2} (u^2 + d_{mj})}{(u^2 + c_m)(u^2 + \beta_{mj}^2)}, /5/$$

задача 1: $\beta_1 = 1$, $c_1 = 2$; задача 2: $\beta_2 = 1037$, $c_2 = 2,54$ при $\nu = 0,3$;
 задача 1-1: $d_{11} = 0$, $\beta_{11} = 0$; задача 1-2: $d_{12} = 3$, $\beta_{12} = 1,5$;
 задача 2-1: $d_{21} = 1,852$, $\beta_{21} = 1,059$ при $\nu = 0,3$; задача 2-2:
 $d_{22} = 3,749$, $\beta_{22} = 1,071$ при $\nu = 0,3$.

З /4/, враховуючи /5/, одержуємо формулу для контактного напруження в нульовому наближенні:

$$q_0(\xi) = \left[\frac{E\delta_0 \omega(\xi)}{2(1-\nu^2)\mathcal{D}_m B_m \alpha} + \Psi(\xi) \frac{E T_0 d_T \lambda S_1}{2(1-\nu) B_m} \right] \frac{1}{\sqrt{1-\xi^2}}; |\xi| \leq 1$$

$$\omega(\xi) = \sqrt{\frac{\mathcal{D}_m B_m}{\beta}} (\lambda_- e^{-\frac{\lambda_-^2}{\beta}} + \lambda_+ e^{-\frac{\lambda_+^2}{\beta}}) + [\operatorname{erf}(\lambda_+) + \operatorname{erf}(-\lambda_-) - 1] \lambda_+ \lambda_-;$$

$$\Psi(\xi) = S_2 \sqrt{\frac{B_m}{\beta}} (\lambda_- e^{-\frac{\lambda_-^2}{\beta}} + \lambda_+ e^{-\frac{\lambda_+^2}{\beta}}) - [2 \operatorname{ch}(\beta_+^2) + 2 \operatorname{ch}(\beta_-^2) +$$

$$+ \frac{d_{mj}}{\beta_{mj} \xi} - e^{\frac{\beta_+^2}{\beta}} \operatorname{erf}(\gamma_+) - e^{\frac{\beta_-^2}{\beta}} \operatorname{erf}(\gamma_-)] \lambda_+ \lambda_-.$$

Аналогічно дістаємо вираз для прогину поза штампом

$$\delta(a - a_0 t) = \delta_0 [1 - \operatorname{erf} \sqrt{B_m t} + \sqrt{1 - k_m} \operatorname{erf} \sqrt{B_m(1 - k_m)t} e^{\sqrt{C_m t}}] + \\ + h(1 + \nu) d_T T_0 S_1 S_3 [\sqrt{B_m(1 - k_m)} e^{\sqrt{C_m t}} \operatorname{erf} \sqrt{B_m(1 - k_m)t} - \\ - \sqrt{B_m(1 - k_{mj})} e^{\sqrt{\beta_{mj} t}} \operatorname{erf} \sqrt{B_m(1 - k_{mj})t}]; \quad -\infty < t < 0,$$

де $D_m = B_m C_m^{-1}$; $k_m = \sqrt{C_m} B_m^{-1}$; $k_{mj} = \sqrt{\beta_{mj}} B_m^{-1}$; $A_{mj} = B_m d_{mj} (C_m \beta_{mj})^{-1}$;

$$d_T = [(1 \pm \varepsilon) B_m \lambda^{-1}]^{0.5}; \quad \beta_T = [(1 \pm \varepsilon) \sqrt{\beta_{mj}} \lambda^{-1}]^{0.5}; \quad f_T = (d_T^2 + \beta_T^2)^{0.5};$$

$$S_1 = \frac{d_{mj} - \beta_{mj}}{2\beta_{mj}}; \quad S_2 = \frac{(\sqrt{\beta_{mj}} + B_m)^{0.5}}{\sqrt{C_m} + \sqrt{\beta_{mj}}}; \quad S_3 = \frac{(\sqrt{\beta_{mj}} + B_m)^{0.5}}{C_m - \beta_{mj}}.$$

При $T_0 = 0$ одержуємо результати чисто силової контактної задачі. Використовуючи знайдене нульове наближення $q_0(\tau)$, з /3/ знаходимо $\bar{\omega}'(\tau)$ і так далі. Вираз для $\bar{\omega}'(\tau)$ з точністю до членів порядку $\lambda^m (\mu > 1)$ має вигляд

$$\bar{\omega}'(\tau) = \frac{f_0}{D_m \lambda} \sqrt{\frac{\lambda}{2\pi}} e^{-B_m \frac{\lambda^2}{4}} \left\{ \sqrt{\frac{2}{C_m}} \frac{1 - k_m}{1 + k_m} \frac{e^{-B_m \tau}}{\sqrt{\pi \tau}} + (1 - k_m) \times \right. \\ \times \sqrt{D_m} e^{B_m \tau} [\operatorname{erf} \sqrt{2B_m \tau} - 1] \Big\} + t_0 S_1 \left\{ \sqrt{\frac{\lambda}{2\pi}} e^{-B_m \frac{\lambda^2}{4}} \times \right. \\ \times \left[\sqrt{\frac{2}{B_m}} \frac{1}{1 + k_m} \frac{e^{-B_m \tau}}{\sqrt{\pi \tau}} + e^{B_m \tau} (\operatorname{erf} \sqrt{2B_m \tau} - 1) \right] \left(S_2 - \frac{1}{(B_m + \sqrt{C_m})^{0.5}} \right) - \\ \left. \left. - e^{-\sqrt{\beta_{mj}} \frac{\lambda^2}{4}} \left[S_2 \frac{e^{-B_m \tau}}{\sqrt{\pi \tau}} + e^{\sqrt{\beta_{mj}} \tau} (\operatorname{erf} \sqrt{B_m(1 + k_{mj}) \tau} - 1) \right] \right\}; \quad 0 < \tau < \infty.$$

Обчисління показали, що на відміну від чисто силових контактних задач [1, 3, 5], у контактних задачах термопружності нульове наближення є недостатнім, необхідним є знаходження принаймні первого наближення. У розглянутому частинному випадку врахування другого наближення при $\lambda < 1$ змінює розв'язок менше ніж на 0,2%.

ЛІТЕРАТУРА

1. Александров В.М. О приближенном решении одного типа интегральных уравнений. - ПММ, 1962, т. 26, вып. 5.
2. Александров В.М. К решению некоторых контактных задач теории упругости. - ПММ, 1963, т. 27, вып. 5.
3. Бабенко В.А. Асимптотические свойства решений одного класса интегральных уравнений, возникающих в теории упругости и математической физике. - ДАН СССР, 1969, т. 186, № 6.
4. Александров В.М. Асимптотические методы в контактных задачах теории упругости. - ПММ, 1968, т. 32, вып. 5.
5. Александров В.М. Асимптотическое решение контактной задачи для тонкого упругого слоя. - ПММ, 1969, т. 33, вып. 1.
6. Koiter W. Approximate solution of Wiener-Hopf type integral equations with applications, part 1-3. "Proc. Koninkl. Ned. Akad. Wet.", 1954, Bd. 57, №. 5.

УДК 539.3

В.П.ВУШКО

ІЗОТРОПНА ПЛАСТИНКА З НЕСИМЕТРИЧНО ПІДКІРІЛЕННЯМ

ЕЛІПТИЧНИМ ОТВОРОМ

Розглянемо пружну рівновагу ізотропної пластинки товщиною $2h$ з еліптичним отвором \mathcal{X} , край якого несиметрично підсилений пружним кільцем сталого перерізу. Площа на осі кільца змішена від серединної площини пластинки на величину ξ^* /експансіситет підсилення/. Напружене обертання становить підсилючого кільця описується рівняннями теорії тонких криволінійних стержнів. Незалежно від навантаження пластинка зазнає згинального і узагальнено плоского напружених станів.

Бважатимемо, що підсилючий стержень вільний від навантаження, а напруження та згинальні моменти у віддалених /від отвору/ частинах пластинки дорівнюють: $b_x^\infty = p$; $b_y^\infty = q$; $\tilde{C}_{xy}^\infty = 2$; $M_x^\infty = M_1$; $M_y^\infty = M_2$; $H_{xy}^\infty = M_{12}$.

Область \mathcal{D} , яка міститься між двома конфокальними еліпсами \mathcal{L}_1 і \mathcal{L}_2 , причому контур \mathcal{L}_2 віддалений в нескінченність, відобразимо на концентричне кільце, обмежене колами γ_1 і γ_2 радіусів $r_1 = 1$ і $r_2 = \infty$, площини ζ за допомогою функції

$$\zeta = \omega(\sigma) = R(\sigma + \frac{m}{\sigma}); m = \frac{a - b}{a + b}, R = \frac{a + b}{2}, \quad /1/$$

де a і b - півосі еліпса \mathcal{L}_1 .

У перетвореній області /1/ країові умови нашої задачі при відсутності навантаження на кільце, згідно з формулами /5/-/12/ роботи [1] набувають вигляду ($z_1 > z_0$)

$$\begin{aligned} & \int_{\gamma_1} \Phi_i(\sigma) \bar{F}_i(\sigma) \omega'(\sigma) d\sigma - \int_{\gamma_1 \cup \gamma_2} \bar{\Phi}_i(\sigma) \bar{F}_i(\sigma) \omega(\sigma) d\bar{\sigma} = -\frac{g}{2h} \int_{\gamma_1} e_0 \bar{F}_i(\sigma) \frac{\sigma \omega'(\sigma)}{|\omega'(\sigma)|} d\sigma + \\ & + \frac{g}{2h} \int_{\gamma_1} [(z_1 - z_0) e_0 - i \frac{\theta_0 z_1 \sigma}{|\omega'(\sigma)|} \frac{d\theta_0}{d\sigma}] d\left[\frac{\bar{F}_i(\sigma)}{\omega(\sigma)} \right] + \int_{\gamma_2} (N_2 + iT_2) \bar{F}_i(\sigma) \omega'(\sigma) d\sigma; \\ & \int_{\gamma_1} \Phi_i(\sigma) \bar{F}_i(\sigma) \omega'(\sigma) d\sigma - \chi \int_{\gamma_1} \Phi_i(\sigma) \bar{F}_i(\sigma) \omega'(\sigma) d\sigma - \int_{\gamma_1 \cup \gamma_2} \bar{\Phi}_i(\sigma) \bar{F}_i(\sigma) \omega(\sigma) d\bar{\sigma} = \\ & = -2\mu \int_{\gamma_1} \left[\frac{z_0}{z_1} e_0 + i \frac{(z_1 - z_0)\sigma}{|\omega'(\sigma)|} \frac{d\theta_0}{d\sigma} + i\theta_0 - \zeta_0^* \left(\frac{i\sigma}{|\omega'(\sigma)|} \frac{d\theta_0}{d\sigma} - \frac{1}{z_1} \theta_0 \right) \right] \bar{F}_i(\sigma) \omega'(\sigma) d\sigma + \\ & + \int_{\gamma_2} (N_2 + iT_2) \bar{F}_i(\sigma) \omega'(\sigma) d\sigma; \\ & (1 + \chi) \int_{\gamma_1} \Phi_i(\sigma) \bar{F}_i(\sigma) \omega'(\sigma) d\sigma - 2\mu \int_{\gamma_1} \left[\frac{z_0}{z_1} e_0 + i \frac{(z_1 - z_0)\sigma}{|\omega'(\sigma)|} \frac{d\theta_0}{d\sigma} + i\theta_0 - \right. \\ & \left. - \zeta_0^* \left(\frac{i\sigma}{|\omega'(\sigma)|} \frac{d\theta_0}{d\sigma} - \frac{1}{z_1} \theta_0 \right) \right] \bar{F}_i(\sigma) \omega'(\sigma) d\sigma - \frac{g}{2h} \int_{\gamma_1} e_0 \bar{F}_i(\sigma) \frac{\sigma \omega'(\sigma)}{|\omega'(\sigma)|} d\sigma + \\ & + \frac{g}{2h} \int_{\gamma_1} [(z_0 - z_1) e_0 + i \frac{\theta_0 z_1 \sigma}{|\omega'(\sigma)|} \frac{d\theta_0}{d\sigma}] d\left[\frac{\bar{F}_i(\sigma) \sigma^2}{\omega'(\sigma)} \right]; \\ & \int_{\gamma_1 \cup \gamma_2} \bar{\Psi}_i(\sigma) F_i(\sigma) \bar{\omega}'(\sigma) d\bar{\sigma} = (1 + \chi) \int_{\gamma_1} \Phi_i(\sigma) F_i(\sigma) \omega'(\sigma) d\sigma + \int_{\gamma_1 \cup \gamma_2} \bar{\Phi}_i(\sigma) \bar{F}_i(\sigma) \omega(\sigma) d\bar{\sigma} - \end{aligned}$$

$$-2\mu \int_{\tilde{\gamma}} \left[\frac{z_0}{2} e_0 + i \frac{(z_1 - z_0)\sigma}{|\omega'(\sigma)|} \frac{d\theta_\sigma}{d\sigma} + i\theta_\sigma - \zeta_0^* \sqrt{\frac{i\sigma}{|\omega'(\sigma)|}} \frac{d\theta_\sigma}{d\sigma} - \frac{1}{2} \theta_2 \right] F_1(\sigma) \omega'(\sigma) d\sigma +$$

$$+ \int_{\tilde{\gamma}_2} (N_2 + i T_2) F_1(\sigma) \omega'(\sigma) d\sigma;$$

$$\mathcal{H}^* \int_{\tilde{\gamma}_1} \Phi_1^*(\sigma) \overline{F_1(\sigma)} \omega'(\sigma) d\sigma - \int_{\tilde{\gamma}_1 + \tilde{\gamma}_2} \overline{\Phi_1^*(\sigma) F_1(\sigma)} \omega(\sigma) d\sigma = \mathcal{D}^* \int_{\tilde{\gamma}_2} \overline{J_2(\sigma) F_1(\sigma)} \omega'(\sigma) d\sigma +$$

$$+ \mathcal{D}^* \int_{\tilde{\gamma}_2} \left[\frac{C}{\omega(\sigma)} \frac{d\theta_\sigma}{d\sigma} - i \frac{A}{\omega(\sigma)} \frac{d\theta_\sigma}{d\sigma} + \frac{i\sigma \omega'(\sigma)}{2, |\omega'(\sigma)|} (C\theta_n + i A\theta_C) \right] \overline{F_1(\sigma)} d\sigma +$$

$$+ \zeta_0^* g \mathcal{D}^* \left\{ \int_{\tilde{\gamma}_1} [(z_0 - z_1)e_0 + i \frac{h_0 z_1 \sigma}{|\omega'(\sigma)|} \frac{d\theta_\sigma}{d\sigma}] d \left[\frac{\overline{F_1(\sigma)}}{\omega'(\sigma)} \right] + \int_{\tilde{\gamma}_1} e_0 \overline{F_1(\sigma)} \frac{\sigma \omega'(\sigma)}{|\omega'(\sigma)|} d\sigma \right\};$$

$$\mathcal{H}^* \int_{\tilde{\gamma}_1} \Phi_1^*(\sigma) \overline{F_1(\sigma)} \omega'(\sigma) d\sigma + \int_{\tilde{\gamma}_1} \Phi_1^*(\sigma) \overline{F_1(\sigma)} \omega(\sigma) d\sigma - \int_{\tilde{\gamma}_1 + \tilde{\gamma}_2} \overline{\Phi_1^*(\sigma) F_1(\sigma)} \omega(\sigma) d\sigma =$$

$$= \mathcal{D}^* \int_{\tilde{\gamma}_2} J_2(\sigma) \overline{F_1(\sigma)} \omega'(\sigma) d\sigma + \int_{\tilde{\gamma}_2} \frac{\sigma \omega'(\sigma)}{|\omega'(\sigma)|} [\theta_C - i(\frac{z_0}{2} \theta_n - i \frac{(z_1 - z_0)\sigma}{|\omega'(\sigma)|} \frac{d\theta_C}{d\sigma})] \overline{F_1(\sigma)} d\sigma;$$

$$(\mathcal{H}^* - 1) \int_{\tilde{\gamma}_1} \Phi_1^*(\sigma) \overline{F_1(\sigma)} \omega'(\sigma) d\sigma = - \int_{\tilde{\gamma}_1} \frac{\sigma \omega'(\sigma)}{|\omega'(\sigma)|} [\theta_C - i(\frac{z_0}{2} \theta_n - i \frac{(z_1 - z_0)\sigma}{|\omega'(\sigma)|} \frac{d\theta_C}{d\sigma})] \overline{F_1(\sigma)} d\sigma +$$

$$+ \mathcal{D}^* \int_{\tilde{\gamma}_2} \left[\frac{C}{\omega(\sigma)} \frac{d\theta_\sigma}{d\sigma} - i \frac{A}{\omega(\sigma)} \frac{d\theta_\sigma}{d\sigma} + \frac{i\sigma \omega'(\sigma)}{2, |\omega'(\sigma)|} (C\theta_n + i A\theta_C) \right] \overline{F_1(\sigma)} d\sigma -$$

$$- \zeta_0^* g \mathcal{D} \left\{ \int_{\tilde{\gamma}_1} [(z_0 - z_1)e_0 + i \frac{h_0 z_1 \sigma}{|\omega'(\sigma)|} \frac{d\theta_\sigma}{d\sigma}] d \left[\frac{\overline{F_1(\sigma)}}{\omega'(\sigma)} \right] - \int_{\tilde{\gamma}_1} e_0 \overline{F_1(\sigma)} \frac{\sigma \omega'(\sigma)}{|\omega'(\sigma)|} d\sigma \right\}$$

$$\int_{\tilde{\gamma}_1 + \tilde{\gamma}_2} \overline{\psi_1^*(\sigma) F_1(\sigma)} \overline{\omega'(\sigma)} d\sigma = (1 - \mathcal{H}^*) \int_{\tilde{\gamma}_1} \overline{\Phi_1^*(\sigma) F_1(\sigma)} \omega'(\sigma) d\sigma + \int_{\tilde{\gamma}_1 + \tilde{\gamma}_2} \overline{\Phi_1^*(\sigma) F_1(\sigma)} \omega(\sigma) d\sigma +$$

$$+ \mathcal{D}^* \int_{\tilde{\gamma}_2} J_2(\sigma) \overline{F_1(\sigma)} \omega'(\sigma) d\sigma + \int_{\tilde{\gamma}_2} \frac{\sigma \omega'(\sigma)}{|\omega'(\sigma)|} [\theta_C - i(\frac{z_0}{2} \theta_n - i \frac{(z_1 - z_0)\sigma}{|\omega'(\sigma)|} \frac{d\theta_C}{d\sigma})] \overline{F_1(\sigma)} d\sigma,$$

де $\tilde{\sigma}$ - афікс точки контура $\tilde{\gamma} = \gamma_1 + j\tilde{z}$; $F_1(\zeta)$ - довільна функція, голоморфна в перетвореній області

$$N_2 + i T_2 = \frac{G_x^{*\infty} + G_y^{*\infty}}{2} - \frac{G_y^{*\infty} - G_x^{*\infty} - 2i C_{xy}^{*\infty}}{2} \frac{P^2 \overline{\omega'(\sigma)}}{\tilde{\sigma}^2 \omega'(\sigma)};$$

$$J_2(\sigma) = \frac{M_x^{\infty} + M_y^{\infty}}{2} - \frac{M_y^{\infty} - M_x^{\infty} - 2iH_{xy}}{2} \cdot \frac{\rho_2^2 \bar{\omega}'(\sigma)}{\sigma^2 \bar{\omega}'(\sigma)}.$$

Комплексні потенціали $\Phi_i(\zeta) = \Phi[\omega(\zeta)]$, $\Phi_i^*(\zeta) = \Phi^*[\omega(\zeta)]$,
 $\Psi_i(\zeta) = \Psi[\omega(\zeta)]$, $\Psi_i^*(\zeta) = \Psi^*[\omega(\zeta)]$ і довільна функція
 $F_i(\zeta) = F[\omega(\zeta)]$ зовні кола γ_1 допускають розклади:

$$\begin{aligned}\Phi_i(\zeta) &= \sum_{k=0}^{\infty} B_k \zeta^{-k}; \quad \Phi_i^*(\zeta) = \sum_{k=0}^{\infty} B_k^* \zeta^{-k}; \quad \Psi_i(\zeta) = \sum_{k=0}^{\infty} A_k \zeta^{-k}; \\ \Psi_i^*(\zeta) &= \sum_{k=0}^{\infty} A_k^* \zeta^{-k}; \quad F_i(\zeta) = \sum_{n=0}^{\infty} E_n \zeta^{-n}, \quad \text{причому } B_0 = \frac{G_x^{\infty} + G_y^{\infty}}{4}; \\ A_0 &= \frac{G_y^{\infty} - G_x^{\infty} + 2iG_{xy}}{2}; \quad B_0^* = -\frac{M_x^{\infty} + M_y^{\infty}}{4D(1+\nu)}; \quad A_0^* = \frac{M_y^{\infty} - M_x^{\infty} + 2iH_{xy}}{2D(1-\nu)}; \\ B_1 &= B_1^* = A_1 = A_1^* = 0.\end{aligned}$$

Величини $\theta_0, \theta_B, \theta_h$ і θ_C , що описують деформацію стержня, подамо на γ_1 у формі комплексних рядів Фур'є

$$\begin{aligned}\theta_0 &= \delta_0 + 2Re \sum_{k=1}^{\infty} d_k b^k; \quad \theta_B = \beta_0 + 2Re \sum_{k=1}^{\infty} \beta_k b^k; \quad \theta_h = f_0 + 2Re \sum_{k=1}^{\infty} f_k b^k; \\ \theta_C &= \delta_C + 2Re \sum_{k=1}^{\infty} \delta_k b^k.\end{aligned}$$

При наявності повної симетрії задачі відносно координатних осей XU , напрямлених вздовж півосій еліптичного отвору, розклади набувають вигляду

$$\theta_0 = \sum_{k=0}^{\infty} d_k (b^k + b^{-k}); \quad \theta_B = \sum_{k=0}^{\infty} \beta_k (b^k - b^{-k}); \quad \theta_h = \sum_{k=0}^{\infty} f_k (b^k - b^{-k});$$

$$\theta_C = \sum_{k=0}^{\infty} \delta_k (b^k + b^{-k}),$$

де $d_k, i\beta_k, if_k, \delta_k$ – дійсні величини.

Внесемо розклади /11/-/12/ у граничні умови /3/-/10/ і виконаємо інтегрування. Прийнявши при цьому всі E_j , крім E_n , рівними нулю, одержимо /при $f_2 = \infty$ / нескінченну систему лінійних алгебраїчних рівнянь відносно коефіцієнтів розкладу шуканих функцій

$$\begin{aligned}\sum_{k=0}^{\infty} (a_{kn}^i d_k + d_{kn}^i \delta_k) + \sum_{k=2}^{\infty} (\beta_{kn}^i \beta_k^* + C_{kn}^i f_k^*) + \sum_{k=2}^{\infty} (P_{kn}^i A_k + f_{kn}^i A_k + g_{kn}^i B_k + \\ + h_{kn}^i A_k^*) &= D_n^i; \quad (i = 1, 2, 4, 6, 7, 8) \quad (n = 1, 3, 5, \dots) \\ \beta_k^* &= i\beta_k, \quad f_k^* = if_k; \quad A_k, \quad B_k, \quad A_k^*, \quad \theta_k^* \text{ – дійсні числа.}\end{aligned}$$

Коефіцієнти системи /13/ можуть виглядати:

$$\begin{aligned}
 a'_{kn} &= C_0 n \left[4K_1 + \pi \delta K m \frac{\kappa-n-1}{2} \right] ; \\
 b'_{kn} &= -\frac{1}{3} C_0 \delta^2 \pi K L_1 ; \\
 e'_{kn} &= S_1 ; \quad c'_{kn} = d'_{kn} = f'_{kn} = g'_{kn} = h'_{kn} = 0 ; \\
 \mathcal{D}'_n &= (1 + 2m B_0) \delta n_{1,1} ; \\
 a''_{kn} &= 2\mu \left\{ S_1 - m b_{k,0} \cdot \delta n_{1,1} - \frac{\delta(1-m^2)}{\pi} M_1 \right\} ; \\
 b''_{kn} &= 2\mu \left[\frac{\delta K}{\pi} K_1 - S_1 \right] ; \quad C''_{kn} = -\frac{4\pi \delta K}{3} K_1 ; \\
 d''_{kn} &= \frac{4\pi \delta K}{\pi} (1-m^2) M_1 ; \quad e''_{kn} = -\mathcal{H} S_1 ; \\
 f''_{kn} = g''_{kn} = h''_{kn} &= 0 ; \quad \mathcal{D}''_n = [(1-\mathcal{H})m B_0 + A_0] \delta n_{1,1} ; \\
 a'''_{kn} &= -2\mu \left[S_3 + b_{k,0} \cdot \delta n_{1,1} - \frac{\delta}{\pi} (1-m^2/M_3) - 2\pi C_0 n \left[\frac{2}{\pi} K_3 + \frac{\delta K}{2} L_3 \right] \right] ; \\
 b'''_{kn} &= 2\mu \left[\frac{\delta K}{\pi} K_3 + S_3 \right] + \frac{C_0}{3} \delta^2 \pi K L_3 ; \\
 C'''_{kn} &= \frac{4\pi \delta K}{\pi} K_3 ; \quad d'''_{kn} = -\frac{4\pi \delta K}{\pi} (1-m^2/M_3) ; \\
 e'''_{kn} = f'''_{kn} = g'''_{kn} = h'''_{kn} &= 0 ; \quad \mathcal{D}'''_n = -(1+\mathcal{H})B_0 \delta n_{1,1} ; \\
 a''''_{kn} &= -a'''_{kn} \text{ при } E^* = 0 ; \quad b''''_{kn} = -b'''_{kn} \text{ при } E^* = 0 , \quad C''''_{kn} = -C'''_{kn} ; \\
 d''''_{kn} &= -d'''_{kn} ; \quad e''''_{kn} = n S_2 ; \quad f''''_{kn} = -S_1 ; \quad g''''_{kn} = h''''_{kn} = 0 ; \\
 \mathcal{D}''''_n &= -[(1-\mathcal{H})B_0 + m A_0] \delta n_{1,1} ; \\
 a''''''_{kn} &= -3C_0 f_1 f_2 n \left[\frac{\delta K}{2} m \frac{\kappa-n-1}{2} + \frac{2}{\pi} K_1 \right] ; \quad b''''''_{kn} = C_0 f_1 f_2 \frac{\delta^2 \pi K}{2\pi} L_1 ; \\
 d''''''_{kn} &= -C_0 n \pi \delta \left[m \frac{\kappa-n-1}{2} - \frac{\delta}{\pi(1-m^2)} N_2 \right] + C_0 \delta f^2 \frac{n}{1-m^2} P_1 ; \\
 C''''''_{kn} &= -C_0 f^2 \pi K \delta \left[m \frac{\kappa-n-1}{2} + \frac{\delta}{\pi(1-m^2)} N_1 \right] - C_0 \frac{n \beta}{1-m^2} P_2 ; \\
 e''''''_{kn} = f''''''_{kn} = g''''''_{kn} &= 0 ; \quad h''''''_{kn} = \mathcal{H} S_1 ; \quad \mathcal{D}''''''_n = [A_0 + (1+\mathcal{H})m B_0^*] \delta n_{1,1} ; \\
 a''''''''_{kn} = b''''''''_{kn} = e''''''''_{kn} = f''''''''_{kn} = h''''''''_{kn} &= 0 ; \quad C''''''''_{kn} = \frac{2\pi}{\pi} K_2 - \frac{n \delta}{2(1-m^2)} P_2 ; \\
 d''''''''_{kn} &= -\frac{2\pi}{\pi} K_1 - \frac{n \delta K}{2} m \frac{\kappa-n-1}{2} ; \quad g''''''''_{kn} = S_1 ; \quad \mathcal{D}''''''''_n = (2m B_0^* + H_0^*) \delta n_{1,1} ; \\
 C''''''''_{kn} &= 3C_0 f_1 f_2 n \left[\frac{\delta K}{2} R_1 + \frac{2}{\pi} K_3 \right] ; \quad b''''''''_{kn} = -C_0 f_1 f_2 n K \frac{\delta^2}{2\pi} L_3 ;
 \end{aligned}$$

$$C_{kn}^2 = \frac{2n}{\beta} K_k - \frac{n\delta}{2(1-m)} P_4 + C_1 \delta \beta^2 n k [R_2 + \frac{\delta}{\beta(1-m)} N_2] + C_2 \beta \frac{n}{1-m} P_4;$$

$$d_{kn}^2 = -\frac{2n}{\beta} K_k - \frac{n\delta}{2} R_1 + C_2 \beta n k [R_1 - \frac{\delta}{\beta(1-m)} N_4] - C_1 \delta^2 \frac{n}{2(1-m)} P_3;$$

$$e_{kn}^2 = f_{kn}^2 = g_{kn}^2 = h_{kn}^2 = 0; D_n^2 = (1-\lambda^2) B_0^2 \delta_{n,1};$$

$$a_{kn}^2 = b_{kn}^2 = e_{kn}^2 = f_{kn}^2 = 0; C_{kn}^2 = -C_{kn}^2 \text{ при } V=-1; d_{kn}^2 = -d_{kn}^2 \text{ при } V=1;$$

$$g_{kn}^2 = n S_2; h_{kn}^2 = -S_1; D_n^2 = \left\{ \left[\frac{2(1+\nu)}{1-\nu} + \lambda^2 - 1 \right] B_0^2 - m A_0^2 \right\} \delta_{n,1}.$$

Тут введені такі позначення:

$$K_1 = J_{k+n+1} + J_{-k+n+1} - m(J_{k+n-1} + J_{-k+n-1});$$

$$K_2 = J_{k+n+1} - J_{-k+n+1} - m(J_{k+n-1} - J_{-k+n-1});$$

$$K_3 = J_{k-n+1} + J_{-k-n+1} - m(J_{k-n-1} + J_{-k-n-1});$$

$$K_4 = J_{k-n+1} - J_{-k-n+1} - m(J_{k-n-1} - J_{-k-n-1});$$

$$L_1 = \sum_{j=0}^{\infty} m^j (2j+n+1) (J_{n+k+2j+1} + J_{-n-k+2j+1});$$

$$L_2 = \sum_{j=0}^{\infty} m^j (2j-n+1) (J_{n-k+2j+1} + J_{-n+k+2j+1});$$

$$M_1 = \sum_{j=0}^{\infty} m^j (J_{n+k+2j+1} + J_{-n+k+2j+1});$$

$$M_2 = \sum_{j=0}^{\infty} m^j (J_{k-n+2j+1} + J_{-k-n+2j+1});$$

$$N_1 = \sum_{j=0}^{\infty} m^j [j((1-m^2)+1)] (J_{n+k+2j+1} + J_{-n-k+2j+1}) + \sum_{j=1}^{\infty} m^j (J_{n+k-2j+1} + J_{-n-k-2j+1});$$

$$N_2 = \sum_{j=0}^{\infty} m^j [j((1-m^2)+1)] (J_{n+k+2j+1} - J_{-n-k+2j+1}) + \sum_{j=1}^{\infty} m^j (J_{n+k-2j+1} - J_{-n-k-2j+1});$$

$$N_3 = \sum_{j=0}^{\infty} m^j [(j(1-m^2)+1)] (J_{n+k+2j+1} + J_{-n-k+2j+1}) + \sum_{j=1}^{\infty} m^j (J_{n+k-2j+1} + J_{-n-k-2j+1});$$

$$N_4 = \sum_{j=0}^{\infty} m^j [j((1-m^2)+1)] (J_{n+k+2j+1} - J_{-n-k+2j+1}) + \sum_{j=1}^{\infty} m^j (J_{n+k-2j+1} - J_{-n-k-2j+1});$$

$$P_1 = m \frac{n+k+1}{2} + m_{(n+k+2)} \frac{n-k+1}{2} + \frac{(k-n-1)(1-m^2)+2}{2} m_{(n-n-1)} \frac{k-n-1}{2}.$$

$$P_2 = m \frac{\alpha_{k+1}}{2} - m \frac{n-k+1}{(n-k+1)2} - \frac{(k-n-1)(1-m^2)+2}{2} m \frac{\alpha_{k-1}}{(k-n-1)2};$$

$$P_3 = m \frac{-\frac{n+k+1}{2}}{(n+k+1)2} + \frac{(n-k-1)(1-m^2)+2}{2} m \frac{\alpha_{k-1}}{(n-k-1)2} + \frac{(n+k-1)(1-m^2)+2}{2} m \frac{\alpha_{k+1}}{2};$$

$$P_4 = m \frac{-\frac{n+k+1}{2}}{(n+k+1)2} + \frac{(n-k-1)(1-m^2)+2}{2} m \frac{\alpha_{k-1}}{(n-k-1)2} - \frac{(n+k-1)(1-m^2)+2}{2} m \frac{\alpha_{k+1}}{2}$$

$$R_1 = m \frac{\alpha_{k+1}}{2} - m \frac{\alpha_{k-1}}{(n-k-1)2}; J_{120}(m) = m^{1/2} \int_0^1 \frac{x^{1/2}}{\sqrt{(1-x^2)(1-m^2x^2)}} dx;$$

$$R_2 = m \frac{\alpha_{k+1}}{2} + m \frac{\alpha_{k-1}}{(n-k-1)2};$$

$$S_1 = \delta_{k,n+1} - m \delta_{k,n-1}; S_2 = \delta_{k,n-1} + m \delta_{k,n+1}; S_3 = \delta_{k,n-1} - m \delta_{k,n+1}.$$

$$C_0 = \frac{E^* \sigma}{2f}, C_1 = \frac{E^*}{E} (1/W) f; C_2 = \frac{3/W}{E} (f_1^2 - f^2)$$

Нормальні напруження в поперечній стержні знаходимо за формулами

$$\sigma = E^* \left\{ 2 \sum_{k=0}^{\infty} \alpha_k \cos k\theta - \frac{(1-m^2) \sum_{k=0}^{\infty} (\delta_{k,k} - 2\delta_{k,k}) \cos k\theta}{(1+m^2 - 2m \cos 2\theta)^{1/2}} + \right. \\ \left. + \frac{\sum_{k=2}^{\infty} k(\delta_{k,k} - 2\delta_{k,k}) \cos k\theta}{(1+m^2 - 2m \cos 2\theta)^{1/2}} \right\}.$$

Зроблені розрахунки при таких даних /пластинка мідна, кільцеватальне/.

$$E^* = 2.1 \cdot 10^6 \text{ кг/см}^2; \nu^* = 0.1 \cdot 10^5 \text{ кг/см}^2; E = 1.15 \cdot 10^6 \text{ кг/см}^2; fK = 4.42 \cdot 10^{-6} \text{ кг/см}^2; \\ y = 0.3; \beta = 0.163; \delta = \frac{f}{K} = 0.1; f^* = \frac{f^*}{K} = 3; j_1 = \frac{f}{K} = 2; f_2 = \frac{f^*}{K} = 3; \sigma_3 = -\frac{f^*}{K}.$$

Розглядається два види нагрушки пластиники

$$1) \tilde{\sigma}_x = p; \tilde{\sigma}_y = \tilde{\tau}_{xy} = \tilde{M}_x = \tilde{M}_y = \tilde{H}_{xy} = 0; 2) \tilde{\sigma}_y = p; \tilde{\sigma}_x = \tilde{\tau}_{xy} = \tilde{M}_x = \tilde{M}_y = \tilde{H}_{xy} = 0.$$

Розрахунки велися на ЕОМ "Мінськ-22". Результати обчислень показані на рис. 1, 2.

На рис. 1 зображене залежність кільцевих напружень σ/p в пластинці від ексцентриситету підкріплення $\frac{f}{2K}$ при $\theta = \frac{\pi}{2}$ /у першому випадку навантаження/ і при $\theta = 0$ /у другому випадку навантаження/. Криві 1, 2, 3 відносяться відповідно до точок верхньої, серединної і нижньої площин пластинки. Крива 4 зображає відповідні

напруження $\frac{\sigma}{P}$ в кільці на лінії спаю з пластинкою.

З результатів наведеного числового аналізу видно, що зміщення площини осі підсилюючого кільця від серединної площини пластинки на величину ξ_0^* суттєво змінює величину напружень порівняно з симетричним підкріплленням ($\xi_0 = 0$) .

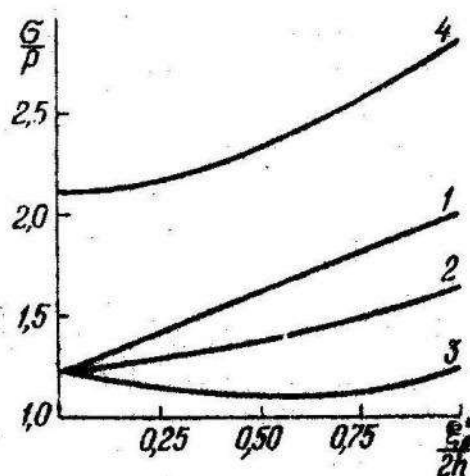


Рис. 1.

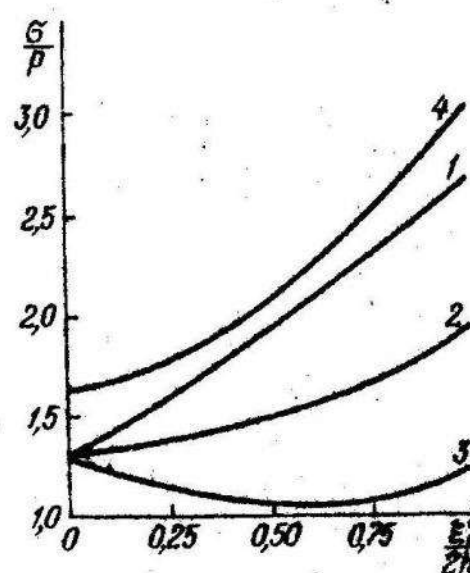


Рис. 2.

Л И Т Е Р А Т У Р А

1. В у ш к о В.П., М а р т и н о в и ч Т.Л. Об одном эффективном методе расчета пластинок с несимметрично подкрепленным краем. -Теория оболочек и пластин. Труды VIII Всесоюзной конференции по теории оболочек и пластин. М., "Наука", 1973.
2. М а р т и н о в и ч Т.Л. К решению задач о напряженном состоянии пластинок с подкрепленным краем. - "Прикладная механика", 1970, т.4, вып. 9.
3. М а р т и н о в и ч Т.Л., В у ш к о В.П. Об одном подходе к решению задач плоской теории упругости. - "Концентрация напряжений". 1971, вып. 3.

З МІСТ
МАТЕМАТИКА

| | |
|--|----|
| В.О. Гукевич . Про одне узагальнення теореми Пелі.... | 3 |
| І.М. Колодій . Теорема про усувну особливість для узагальнених розв"язків еліптичних рівнянь..... | 6 |
| І.М. Колодій . Про єдиність множин..... | 11 |
| Г.П. Бойко . Узагальнена основна крайова задача для рівняння $\Delta^3 U=0$ | 16 |
| Г.-В.С. Гупало . Задача Діріхле для рівняння Пуассона.. | 21 |
| І.С. Крук . Точність обчислення за номограмами та способи II забезпечення..... | 25 |
| С.В. Дениско . Механізми для утворення парабол..... | 33 |
| Л.С. Парасюк , Є.М. Парасюк . Одна крайова задача для змішаного рівняння з параметром..... | 37 |
| Б.В. Ковальчук , Л.І. Лісевич . Теореми єдності та апроксимації для S^ρ - майже періодичних матриць..... | 40 |
| К.С. Костенко . Асимптотична поведінка розв"язків лінійних звичайних диференціальних рівнянь четвертого порядку.... | 45 |
| Г.П. Губанов , Б.В. Ковальчук . Оцінка залишку при наближенні періодичних функцій двох змінних з різними середніми від поліномів, що найліпші у заданий системі точок..... | 47 |
| ПРИКЛАДНА МАТЕМАТИКА | |
| Г.Г. Цегелик . Виділення бісмуг, які не містять нулів подвійних рядів Діріхле..... | 49 |
| І.Д. Квіт . Прискорена зміна відбиття..... | 52 |

| | |
|---|----|
| М.Я. Б а р т і ш . Деякі методи розв'язання нелінійних операціоних рівнянь..... | 58 |
| Г.Т. Д у д и к е в и ч . Розрахунок осесиметричного поля системи електродів блочним методом верхньої релаксації..... | 62 |
| Ю.М. Щ е р б и н а . Збурений аналог методу дотичних гіпербол..... | 66 |
| Г.А. Ш и н к а р е н х о . Інтерполяція на трикутниках у методі скінчених елементів..... | 70 |
| З.О. Ж е л ю ч и к , В.Г. К о с т е н к о . Підвищення порядку апроксимації різницевих схем..... | 76 |
| В.В. Ка р п о в . Розрахунок плоского екрана кінескопа... | 77 |
| Л.Й. О щ и п и н о , К.С. І в а н к і в . Застосування геометричного програмування до оптимізації по вазі тонкостінних конструкцій..... | 81 |

М Е Х А Н І К А

| | |
|--|-----|
| I.О. Н і ц е н к о , Т.Л. М а р т и н о в и ч , В.Є. О р и н е ц ь . Пружна рівновага несиметрично з"єднаних пластинок.... | 85 |
| В.В. П о р о х о в с ь к и й , О.П. П і д д у б н я к . Кручення двомарового пружного пакета жорстким включенням..... | 92 |
| В.Є. О р и н е ц ь . Напруженний стан пружної пластинки з несиметрично підкріпленим краєм..... | 98 |
| Р.І. М о к р и к , Є.О. П и р " е в . Контактна задача термопружності для смуги малої товщини | 106 |
| В.Л. В у ш к о , І зотропна пластинка з несиметрично підкріпленим еліптичним отвором..... | 110 |

УДК 517.512

Об одном обобщении теоремы Пэли. Гукевич В.О. Про одне узагальнення теореми Пелі. - "Вісник Львівського ун-ту, серія механіко-математична", вип. 11. Теоретична та прикладна математика. Львів, "Вища школа", Вид-во при Львів. ун-ті, 1976, с. 3-5 /укр./.

Доказывается теорема, которая является обобщением одного неравенства Пэли для ортогональных систем функций на системы почти ортогональные по Беллману. Библиогр.2.

УДК 517.946

Теорема об устранимой особенности обобщенных решений эллиптических уравнений. Колодій І.М. Теорема про усуви осібливість для узагальнених розв'язків еліптичних рівнянь. - "Вісник Львівського ун-ту, серія механіко-математична". Теоретична та прикладна математика. Львів, "Вища школа", Вид-во при Львів. ун-ті, 1976, с.5-11 /укр./.

Доказана теорема об устранимой особенности обобщенных решений вырождающихся эллиптических уравнений вида $\operatorname{div} A(x, U, U_x) = B(x, U, U_x)$.
Библиогр. 3.

УДК 517.946

О ємкости множеств. Колодій І.М. Про ємність множин. - "Вісник Львівського ун-ту, серія механіко-математична", вип. 11. Теоретична та прикладна математика. Львів, "Вища школа", Вид-во при Львів. ун-ті, 1976, с. 11-15 /укр./.

Введено понятие ємкости множества, обобщающее определение α -ємкости сформулированное в работе Серрина Д. Доказано, что множество нулевой ємкости имеет меру нуль. Новое определение можно использовать для доказательства теоремы об устранимой особенности решений вырождающихся квазилинейных уравнений вида $\operatorname{div} A(x, U, U_x) = B(x, U, U_x)$.
Библиогр. 4.

УДК 517. 946

Обобщенная основная краевая задача для уравнения $\Delta^3 U = 0$.
Бойко Г.П. Узагальнена основна краєва задача для рівняння
 $\Delta^3 U = 0$. - "Вісник Львівського ун-ту, серія механіко-математич-
на", вип. 11. Теоретична та прикладна математика. Львів, "Вища
школа", Вид-во при Львів. ун-ті, 1976, с. 16-21 /укр./.

Получена теорема о представлении решения основной краевой
задачи для уравнения $\Delta^3 U = 0$ в ограниченной области из
 R^3 , когда на границе заданы обобщенные функции. Библиогр. З.

УДК 517.946.

Задача Дирихле для уравнения Пуассона. Гупало Г.-В.С.
Задача Діріхле для рівняння Пуассона. - "Вісник Львівського ун-ту,
серія механіко-математична", вип. 11. Теоретична та прикладна
математика. Львів, "Вища школа", Вид-во при Львів. ун-ті, 1976,
с. 21-25 /укр./.

Рассмотрена задача Дирихле для уравнения Пуассона, когда
граничные значения и правая часть уравнения являются обобщенными
функциями. Определяется, что понимать под решением такой задачи.
Доказана единственность решения и лемма о его представлении.
Библиогр. З.

УДК 513.011.3

Точность вычислений по номограммам и методы ее обеспечения.
Крук I.С. Точність обчислень за номограмами та способи її
забезпечення. - "Вісник Львівського ун-ту, серія механіко-матема-
тична", вип. 11. Теоретична та прикладна математика. Львів, "Ви-
ща школа", Вид-во при Львів. ун-ті, 1976, с. 23-33 /укр./.

На номограмме квадратного уравнения рассматриваются источники
возникновения ошибок и даются способы оценки точности вычислений
по этой номограмме, рассматривая ее в графической плоскости.
Ил.5. Библиогр. 2.

УДК 513

ТЕОРЕТИЧНА ТА ПРИКЛАДНА МАТЕМАТИКА

Механизмы для образования парабол. Денисюк С.В. Механизми для утворення парабол. - "Вісник Львівського ун-ту, серія механіко-математична", вип.11. Теоретична та прикладна математика, Львів, "Вища школа", Вид-во при Львів. ун-ті, 1976, с.33-37 /укр./.

Рассматривается механизм, состоящий из шести ползунов, двух кривошипов и сложного зубчатого механизма. Четыре ползуна перемещаются сложным зубчатым механизмом вдоль неподвижных направляющих. Два из них образуют вращательные пары с ползунами, которые перемещаются вдоль кривошипов, присоединенных к двум другим ползунам. Исследуются условия, необходимые и достаточные для того, чтобы точка пересечения кривошипов описывала дугу параболы. Ил. 1.

Библиогр. 1.

УДК 517.946

Одна граничная задача для смешанного уравнения с параметром, Парасюк Л.С., Парасюк Є.М. Одна краєова задача для змішаного рівняння з параметром. - "Вісник Львівського ун-ту, серія механіко-математична", вип. 11. Теоретична та прикладна математика. Львів, "Вища школа", Вид-во при Львів. ун-ті, 1976, с. 37-40 /укр./.

Рассматривается граничная задача для эллиптического дифференциального уравнения второго порядка с параметром, вырождающегося на плоскости $Z=0$. Путем применения преобразования Ханкеля по цилиндрической координате Z и с помощью функции Магдональда задача сводится к парным интегральным уравнениям, решение которых приводится. Библиогр. 5.

УДК 517. 917

Теореми єдинственности и аппроксимации для S' - почти периодических матриц. Ковалъчук Б.В., Лісевич Л.М. Теореми єдиності та апроксимації для S' - майже періодичних матриць. - "Вісник Львівського ун-ту, серія механіко-математична", вип. 11. Теоретична та прикладна математика. Львів, "Вища школа", Вид-во при Львів. ун-ті, 1976, с. 40-44 /укр./.

Дается понятие свертки и выводится равенство Парсеваля для S' - почти периодических матриц. Доказываются теоремы единственности и аппроксимации для S' - почти периодических матриц. Рассматриваются также вопросы равномерной сходимости по S' - норме и суммирования по обобщенному методу Бехнера-Фейера рядов Фурье S' - почти периодических матриц. Библиогр. 3.

УДК 517.913

Асимптотическое поведение решений линейных обыкновенных дифференциальных уравнений четвертого порядка. Костенко К.С. Асимптотична поведінка розв'язків лінійних звичайних диференціальних рівнянь четвертого порядку. - "Вісник Львівського ун-ту, серія механіко-математична", вип. 11. Теоретична та прикладна математика. Львів, "Вища школа", Вид-во при Львів. ун-ті, 1976, с. 45-46 /укр./.

При определенных условиях найдены асимптотические представления фундаментальной системы решений линейного обыкновенного дифференциального уравнения четвертого порядка при $x \rightarrow \infty$. Библиогр. 2.

УДК 517.512

Оцінка остатка при приближенні періодических функцій двох змінних срезаними середніми от поліномов, наилучших в заданній системе точек. Губанов Г.П., Ковал'чук Б.В. Оцінка залишку при наближенні періодичних функцій двох змінних зрізаними середніми від поліномів, що найліпші у заданій системі точок. - "Вісник Львівського ун-ту, серія механіко-математична", вип. 11. Теоретична та прикладна математика. Львів, "Вища школа", Вид-во при Львів. ун-ті, 1976, с. 47-49 /укр./.

Получена асимптотическая оценка верхней грани уклонений функции $f(x,y)$ класса $H_{\omega_1 \omega_2}$, имеющих заданное выполнение модули непрерывности ω_1, ω_2 от срезанных средних арифметических, построенных на базе полиномов, наилучших в заданной системе точек. Библиогр. 3.

УДК 517.55

Выделение биполосов, не содержащих нулей двойных рядов Дирихле. Цегелик Г.Г. Выделение бисмуг, які не містять нулів подвійних рядів Діріхле. - "Вісник Львівського ун-ту, серія механіко-математична", вип. 11. Теоретична та прикладна математика. Львів, "Вища школа", Вид-во при Львів. ун-ті, 1976, с. 49-52 /укр./.

Рассматриваются двойные ряды Дирихле. С помощью параметров устанавливаются достаточные условия существования "максимальных" областей, не содержащих нулей этих рядов. Библиогр. 5.

УДК 519.21

Ускоренное изменение отображения. Квіт І.Д. Прискорена зміна відбиття. - "Вісник Львівського ун-ту, серія механіко-математична", вип. 11. Теоретична та прикладна математика. Львів, "Вища школа" Вид-во При Львів. ун-ті, 1976, с. 52-57 /укр./.

Доказывается теорема об эквивалентности класса отображений положительнозначимых случайных величин классу ускоренно изменяющихся в окрестности единицы функций. Библиогр. 1.

УДК 518:517.948

Некоторні методи розв'язування нелінійних операторних уравнень.
Б а р т і ш М.Л. Деякі методи розв'язування нелінійних оператор-
них рівнянь. - "Вісник Львівського ун-ту, серія механіко-матема-
тична", вип. 11. Теоретична та прикладна математика. Львів, "Вища школа",
Вид-во при Львів. ун-ті, 1976, с. 58-62 /укр./.

Для розв'язання нелінійних операторних уравнень рассмотрено одно-
шаговий метод розв'язання достаточно обичної форми. Исследовано сходимость,
устойчивость, дано рекомендации для практического использования в
случае "плохого" начального приближения. Библиогр. 4.

УДК 517.9

Расчет осесимметричного поля системы электродов блочным мето-
дом верхней релаксации. Д у д и к е в и ч Г.Г. Розрахунок осеси-
метричного поля системи електродів блочним методом верхньої релакса-
ції. - "Вісник Львівського ун-ту, серія механіко-математична", вип. 11.
Теоретична та прикладна математика. Львів, "Вища школа", Вид-во при
Львівському ун-ті, 1976, с. 62-66 /укр./.

Рассматривается задача расчета осесимметричного поля системы
электродов. Проведено сравнение различных итерационных методов /ме-
тод верхней релаксации по точкам и линиям, метод перемещенных направ-
лений/. Показано, что наиболее эффективным является метод верхней
релаксации по линиям. Приведены численные примеры. Ил. 1. Табл. 1.
Библиогр. 2.

УДК 518:517.943

Возмущений аналог метода касательных гипербол. Ш е р б и н а І.М.
Збурений аналог методу дотичних гіпербол. - "Вісник Львівського ун-ту,
серія механіко-математична", вип. 11. Теоретична та прикладна мате-
матика. Львів, "Вища школа", Вид-во при Львів. ун-ті, 1976, с. 66-70
/укр./.

Для приближенного решения нелинейного операторного уравнения
 $P(x)=0$ рассматривается вариант метода касательных гипербол с воз-
мущениями. Сформулирована теорема с условиями типа Л.В.Канторовича
о сходимости предложенного алгоритма. Как следствие получены оценки
погрешности обычного метода касательных гипербол с учетом погрешнос-
тей округлений и его устойчивость. Библиогр. 8.

УДК 519.34:681.3.057

Интерполирование на треугольниках в методе конечных элементов.
Шинкаренко Г.А. Інтерполовання на трикутниках у методі
скінчених елементів. - "Вісник Львівського ун-ту, серія механіко-
математична", вип.11. Теоретична та прикладна математика. Львів,
"Вища школа", Вид-во при Львів.ун-ті, 1976, с. 70-75 /укр./.

Для метода конечных элементов предложен удобный способ построения
интерполяционных полиномов Эрмита на треугольниках. Для некоторых
из них получены явные выражения. Библиогр.4.

УДК 517.94

Повышение порядка аппроксимации разностных схем. Жель-
чик З.О., Костенко В.Г. Підвищення порядку апроксимації
різницевих схем. - "Вісник Львівського університету, серія механіко-
математична", вип.11. Теоретична та прикладна математика. Львів,
"Вища школа", Вид-во при Львів.ун-ті, 1976, с. 76-77 /укр./.

Для линейных краевых задач, которые могут быть аппроксимированы
системами разностных уравнений с точностью $O(h^4)$, найден кор-
ректор /линейная комбинация решений n разностных систем уравне-
ний/, который дает приближенное решение таких краевых задач с точ-
ностью $O(h^{2n})$. Библиогр. 1.

УДК 539.9

Расчет плоского экрана кинескопа. Карпов В.В. Розрахунок
плоского екрана кінескопу. - "Вісник Львівського ун-ту, серія меха-
ніко-математична", вип. 11. Теоретична та прикладна математика.
Львів, "Вища школа", Вид-во при Львів.ун-ті, 1976, с. 77-80 /укр./.

Решена задача изгиба прямоугольной пластинки со скругленными
углами под действием равномерной нагрузки. Исследовано влияние скруг-
ления углов на напряженно-деформированное состояние пластиинки. Табл.1.
Библиогр.3.

УДК 624.04

Применение геометрического программирования к оптимизации по весу тонкостенных конструкций. Ощипко Л.И., Иванчик К.С. Застосування геометричного програмування до оптимізації по вазі тонкостінних конструкцій. - "Вісник Львівського ун-ту", вип. 11. Теоретична та прикладна математика. Львів, "Вища школа", Вид-во при Львів.ун-ті, 1976, с.81-84 /укр./.

Решона задача упругого равновесия та задача несовой оптимизации на прочность конструкции, состоящей из цилиндрической оболочки, сопряженной с круговой пластинкой, испытывающей равномерное внешнее давление. Оптимальные параметры определяются методами геометрического программирования. Библиогр. 4.

УДК 539.3

Упругое равновесие несимметрично соединенных пластинок. Нікіленко І.О., Мартинович Т.Л., Юринець В.С. Пружна рівновага несиметрично з'єднаних пластинок. - "Вісник Львівського ун-ту", серія механіко-математична", вип. 11. Теоретична та прикладна математика. Львів, "Зида школа", Вид-во при Львів.ун-ті, 1976, с. 85-92 /укр./.

Предложен приближенный метод исследования напряженно-деформированного состояния пластинок, которые спаяны до деформации так, что срединные их плоскости параллельно смешены относительно друг друга. Записаны условия сопряжения на линии контакта пластинок. Рассмотрено влияние смешения на величину напряжений в пластинке, состоящей из концентрических колец. Ил. 4. Библиогр. 2.

УДК 532.365

Получене квазістійного упругого пакета жестким включением.
Пороховський В.В., Зідубчик О.П. Крученні двошарового упругого пакета жестким включением. - "Вісник Львівського ун-ту, серія механіко-математична", вип.11. Теоретична та прикладна математика. Львів, "Зіда школа", Вид-во при Львів.ун-ті, 1976, с. 92-98 /укр./.

Рассматривается осесимметричая задача о кручении внутренним плоским жестким включением бесконечного двухслойного пакета, поверхности которого свободны от усилий, либо замкнуты, либо одна поверхность замкнута, а вторая свободна от нагрузок. Получена формула для коэффициента интенсивности контактных напряжений и выражение, связывающее момент кручения с величиной угла поворота включения. Рассмотрены числовые примеры. Ил. 4. Табл. 2. Библиогр. 5.

УДК 539.3.

Напряженное состояние упругой пластинки с несимметрично подкрепленным краем. Оринець В.Є. Напруженій стан пружної пластинки з несиметрично підкріпленим краєм. - "Вісник Львівського ун-ту, серія механіко-математична", вип. 11. Теоретична та прикладна математика. Львів, "Зіда школа", Вид-во при Львів.ун-ті, 1976, с. 98-104 /укр./.

Решена задача о напряженном состоянии полубесконечной пластинки, прямолинейный край которой несимметрично подкреплен упругим стержнем постоянного сечения. Сопряжение пластинки со стержнем осуществляется на фактической поверхности их спая. Методом интегральных преобразований Фурье получены формулы для контактных усилий, возникающих вдоль контура спая. Приводятся графики, характеризующие влияние величины эксцентризитета подкрепления на величину контактных усилий при нагружении стержня сосредоточенным моментом. Ил. 3. Библиогр. 2.

УДК 539.38

Контактная задача термоупругости для полосы малой толщины.
Мокрик Р.І., Пир"єв І.О. Контактна задача термопружності для смуги малої товщини. - "Вісник Львівського ун-ту, серія механіко-математична", вип.11. Теоретична та прикладна математика. Львів, "Вища школа", Вид-во при Львів. ун-ті, 1976, с.105-110 /укр./.

Рассматривается задача о вдавливании нагретого штампа в упругую полосу, которая лежит без трения /задача 1/ или неподвижно скреплена /задача 2/ с недеформируемой полуплоскостью. Для полосы относительно малой толщины построено асимптотическое решение. Рассмотрен пример плоского штампа нагретого до постоянной температуры. Библиогр.6.

УДК 539.3

Изотропная пластинка с несимметрично подкрепленным эллиптическим отверстием. В у ш к о В.П. Ізотропна пластинка з несиметрично підкріпленим еліптичним отвором - "Вісник Львівського ун-ту, серія механіко-математична", вип.11. Теоретична та прикладна математика. Львів, "Вища школа", Вид-во при Львів. ун-ті, 1976, с.110-118 /укр./.

Решена задача об упругом равновесии изотропной пластинки с эллиптическим отверстием, край которого несимметрично подкреплен упругим кольцом постоянного сечения. Напряженно-деформированное состояние подкрепляющего кольца описывается управлениями тонких криволинейных стержней. Подкрепляющее кольцо свободно от воздействия внешних усилий, а напряжение и изгибающие моменты в удаленных /от отверстия/ частях пластинки ограничены. Ил. 2, Библиогр. 3.

Міністерство вищого і середнього спеціального
образування УССР

В е с т н и к

Львівського державного університета
ім. І. Франка

Серія механіко-математична

Випуск 11

ТЕОРЕТИЧНА И ПРИКЛАДНАЯ
МАТЕМАТИКА

/на українському языку/

Іздательське об'єднання "Вища школа"
издательство при Львовском государственном
университете

Редактор В. В. В о й т о в и ч

Технічний редактор Т. М. В е с с е л о в с ь к и й

Коректор О. В. К а р п е н к о

Підписано до друку 2.03.1976 р. формат паперу 60x90¹/16.
Папір друкарський Р 3. Фіз. друк. арк. 8.25.
Обл.-вид. арк. 6,4. Тираж 600. БГ 12804. Ціна 59 коп.
Зам. знев.

Видавництво видавничого об'єднання "Вища школа"
при Львівському державному університеті. Львів,
Університетська, 1.

Обласна книжкова друкарня Львівського обласного
управління в справах видавництв, поліграфії та
книжкової торгівлі. Львів, Стефаника, 11.

59 коп.

